

Rodrigo Ferreira Sobreiro

Non-perturbative aspects of Yang-Mills theories

Programa de Pós-Graduação em Física
Instituto de Física
Universidade do Estado do Rio de Janeiro

Physics PhD Thesis

February 2007

Advisor: Prof. Dr. Silvio Paolo Sorella

arXiv:0705.4107v1 [hep-th] 28 May 2007

"Wise is the one who knows the limits of own ignorance."
Socrates

"Keep walking."
John Walker

*Dedicated to my daughter
and to the memories of my
father and grandmother.*

Acknowledgements

Gostaria de expressar meus mais sinceros agradecimentos para todos aqueles que, de uma forma ou de outra, contribuíram para a realização deste trabalho. Não necessariamente na ordem de importância, são os que cito.

Agradeço, portanto, a minha mãe, Maria de Fátima Ferreira, e a meu avô, Enéas Ferreira, pelo apoio incondicional, moral e financeiro, ao longo de toda minha jornada pela Física e pela vida, não existem palavras ou atos que possam retribuir-lhes o que fizeram por mim. À minha filha, Tainara Sobreiro, que foi o motivo de eu amadurecer e seguir com seriedade uma carreira, que eu lhe sirva de bom exemplo para seu futuro. À Thais Rodrigues, mulher da minha vida, que eu tanto admiro e amo, que tem me ajudado e apoiado a conseguir meus objetivos. Sem ela, muito eu não teria conseguido neste fim de projeto.

Não obstante agradeço ao meu orientador, Silvio Sorella, pela orientação e paciência, ele que me mostrou os verdadeiros valores da pesquisa científica e me ensinou a ver a Física de um jeito belo, simples e eficiente. Sou muito grato ao Vitor Lemes pela colaboração, basicamente uma coorientação e pelo bom humor inabalável. Também ao Marcelo Sarandy pela colaboração na primeira parte de meu doutorado. Agradeço também ao Ronaldo Thibes e Marcio Capri pela colaboração na segunda parte de meu doutorado. Sentirei falta dos cafés de discussão.

Ainda com relação aos colaboradores venho a agradecer ao *Departamento de Física Matemática e Astronomia* da *Universidade de Ghent*, Bélgica, pela hospitalidade e apoio financeiro em 2004 e em 2005, pelos períodos que lá fiquei trabalhando em conjunto com David Dudal e Henri Verschelde, aos quais serei sempre grato pela colaboração. Em especial ao David também pela amizade. Igualmente a John Gracey, pela colaboração na parte numérica e computacional do trabalho, confirmando muitos dos resultados aqui presentes.

À CAPES, SBF, FAPERJ e CNPq pelo apoio financeiro direto ou indireto.

Não devo deixar de citar os professores que foram importantes para minha formação, José Sá Borges, Jim Skea, Jaime Rocha, Cesar Linhares, Sergio Makler, Mirian Bracco, Silvio Sorella, Mauro Tonasse e Vitor Lemes.

Agradeço ainda ao *Programa de Pós-Graduação em Física* da *Universidade do Estado do Rio de Janeiro - UERJ*. Em particular aos coordenadores do PPGF, Henrique Oliveira e Marcelo Chiapparini, bem como às secretárias, Fernanda, Flávia, Katia, Keyla e Laurimar e ao secretário Rogério.

Aos meus grandes amigos (não vou citar nenhum pois sei que esquecerei alguém) e colegas. Ao Beto, agradeço também por me auxiliar bastante com as figuras desta tese.

Ao Johnnie Walker, um dos responsáveis por eu continuar caminhando, mesmo nos momentos mais difíceis.

À Ambev, pela amizade e companheirismo nos momentos de alegria e tristeza, a única que nunca me abandonou ou magoou, a única que sempre estava lá quando eu precisava, era só atravessar a rua (qualquer uma). Sou eternamente grato e fiel a ela.

Também à Coca-Cola pela companhia nas manhãs, tardes e madrugadas de trabalho em casa juntamente com Beethoven, Mozart, Shumann, Sonic Youth, Stravinsky, Wagner, Verdi, Villa-Lobos, Vivaldi, entre outros.

E, finalmente, a todos aqueles que por um motivo ou outro não estão nesta injusta carta de agradecimento.

Preface

O tema escolhido para esta tese, os *aspectos não perturbativos das teorias de Yang-Mills*, não é um tema qualquer, constitui um dos maiores desafios da Física atual. De fato, este problema foi classificado pelo Instituto de Matemática CLAY como um dos sete maiores problemas do milênio. Quem resolver o setor infravermelho das teorias de Yang-Mills será agraciado com o prêmio de um milhão de Dólares americanos.

Esta tese consiste numa compilação de toda a pesquisa feita nestes cinco anos de doutorado no Instituto de Física da UERJ. Os resultados desta pesquisa podem ser encontrados nos artigos e demais trabalhos publicados [1, 2, 3, 4, 5, 6, 7, 8, 9, 10, 11, 12, 13, 14, 15, 16, 17, 18, 19, 20, 21, 22, 23, 24, 25, 26, 27, 28, 29].

Durante este período, foram feitas pesquisas em diversos calibres importantes para o estudo do problema infravermelho, *i.e.*, o calibre de Landau, os calibres lineares covariantes, o calibre de Curci-Ferrari e o calibre máximo Abeliano. Contudo, nesta tese, nos fixamos no caso específico do calibre de Landau. Esta escolha foi motivada pelo fato de este ser o calibre covariante mais simples para quantizar as teorias de Yang-Mills. Ademais, fomos capazes de identificar efeitos notáveis neste calibre. Não obstante, eventualmente, ao longo do texto, pequenos comentários são feitos sobre os demais calibres.

A estrutura de texto escolhida foi a seguinte: Em primeiro lugar, não nos preocupamos em fornecer explicações sobre os tópicos da Teoria Quântica de Campos. Para tal nos referimos a literatura existente [30, 31, 32, 33]. Desta forma, esta tese foi escrita para o leitor já experiente em TQC e, em particular, em teorias de calibre. Por outro lado, o corpo do texto foi desenvolvido de forma a deixar a leitura fluir, com o mínimo de detalhes técnicos possíveis. Uma vez que todo aparato técnico pode ser encontrado nos artigos acima citados, nos prendemos apenas à Física envolvida. Neste sentido, muitas discussões físicas estarão disponíveis.

As técnicas utilizadas para extrair nossos resultados foram alocadas em apêndices. Desta forma, todo aparato sofisticado, alguns de difícil acesso na literatura, foram compilados nestes apêndices. Isso facilitará a vida do leitor mais interessado.

Desnecessário dizer, esta tese está longe de ser o fim desta pesquisa e muito ainda deve ser investigado para uma compreensão completa sobre a região infravermelha das teorias de Yang-Mills.

Esperamos que o leitor se divirta com esta tese tanto quanto nós nos divertimos para desenvolvê-la.

Rio de Janeiro, 03 de Janeiro de 2007.
Rodrigo Ferreira Sobreiro

Abstract

Some nonperturbative aspects of Euclidean Yang-Mills theories in four dimensions, quantized in the Landau gauge, are analytically studied. In particular, we investigate the dynamical mass generation for the gluons due to the presence of dimension two condensates. This study is performed in the framework of the local composite operator technique in the case of the Yang-Mills action as well as in the case of the Gribov-Zwanziger action. Further, an investigation of the Gribov ambiguities in the linear covariant gauges is presented.

In the case of the Yang-Mills action, we perform a detailed analysis of the local composite operator formalism when the operators $A_\mu^a A_\mu^a$ and $f^{abc} \bar{c}^b c^c$ are simultaneously introduced. Using the algebraic renormalization theory, we prove the renormalizability of the model through all orders in perturbation theory. With the help of the renormalization group equations, a quantum effective action for the condensates $\langle A_\mu^a A_\mu^a \rangle$ and $\langle f^{abc} \bar{c}^b c^c \rangle$ is constructed. This construction is performed by means of the dimensional regularization in the $\overline{\text{MS}}$ renormalization scheme. We show that nonvanishing condensate values are dynamically favored, independently of the chosen scale. Explicit one loop computations are then presented, providing estimates for the condensates as well as for the vacuum energy. With the help of suitable Ward identities, we are able to formally show that the presence of the condensate $\langle f^{abc} \bar{c}^b c^c \rangle$, is responsible for the breaking of the transversality of the vacuum polarization. However, the gluon propagator remains transverse, through all orders in perturbation theory. Finally, we end this analysis with the explicit computation of the one loop correction to the effective gluon mass. The result is that, due to the condensate $\langle f^{abc} \bar{c}^b c^c \rangle$, the Abelian and the non Abelian sectors acquire different masses. Since the non Abelian mass is larger than the Abelian one, this feature can be interpreted as an evidence for the Abelian dominance principle in the Landau gauge.

With respect to the Gribov-Zwanziger action, we start our analysis without taking into account the condensate. We show that, at one loop order, the vacuum energy is always positive, independently of the renormalization scheme and scale. We also present attempts to solve the one and two loops horizon condition in the $\overline{\text{MS}}$ scheme, and the respective failure of it.

Later, using the algebraic renormalization theory, we show, to all orders in perturbation theory, the renormalizability of the Gribov-Zwanziger action when the composite operator $A_\mu^a A_\mu^a$ is included in the framework of the local composite operator technique. Attempts to solve the one loop gap equations in the $\overline{\text{MS}}$ scheme are then presented. We show that there are no solutions for $\langle A_\mu^a A_\mu^a \rangle < 0$ while for $\langle A_\mu^a A_\mu^a \rangle > 0$ there is only one possible solution for the horizon condition. However, in the $\overline{\text{MS}}$ scheme, we were not able to find explicitly that solution. As an improvement, an optimization of the renormalization scheme is performed in the sense of minimizing the renormalization scheme dependence. In that approach the $\overline{\text{MS}}$ limit solution was found as well as the solution with minimal dependence on the renormalization scheme. In both cases, the vacuum energy shows itself to be positive while the condensate $\langle A_\mu^a A_\mu^a \rangle > 0$. A discussion of the consequences of a nonvanishing Gribov parameter is then provided.

Finally, we present a study of the Gribov ambiguities in the linear covariant gauges for the case $\alpha \ll 1$, where α is the gauge parameter. After the identification of a region in field space where there are no close Gribov copies, we perform the respective restriction in the path integral. As a tree level effect, the transverse gluon propagator turns out to be infrared suppressed, due to the presence of the Gribov horizon. The longitudinal component shows itself to be infrared suppressed due to the dynamical mass, associated with the condensate $\langle A_\mu^a A_\mu^a \rangle$. Further, differently of the Landau gauge, the ghost propagator is not related to the appearance of long range forces. Instead, an infrared singular Green function related to the Gribov horizon is identified. This Green function can be associated with long range forces. At the end, all Landau gauge results can be recovered taking the limit $\alpha \rightarrow 0$.

Contents

I	INTRODUCTION	11
1	Introduction	13
1.1	Yang-Mills theories	13
1.1.1	Origin	13
1.1.2	Quantization	14
1.1.3	Renormalization	16
1.1.4	Asymptotic freedom and the infrared problem	16
1.1.5	Non-perturbative methods	17
1.2	Some non-perturbative effects of QCD	18
1.2.1	Quark and gluon confinement	18
1.2.2	Dynamical mass generation	20
1.2.3	Abelian dominance	20
2	This thesis	23
2.1	Motivations	23
2.2	Proposals and results	24
II	DYNAMICAL MASS	29
3	Condensation of dimension two operators	31
3.1	Gauge invariant operators	31
3.1.1	Abelian case	31
3.1.2	Non-Abelian case	33
3.1.3	Discussion	35
3.2	Local operators	36
3.2.1	Operator $A_\mu^a A_\mu^a$ and the Landau gauge	36
3.2.2	Operator $A_\mu^a A_\mu^a$ and the LCO technique	37
3.2.3	Ghost operators	41

4	Combined analysis of the condensates $\langle A_\mu^a A_\mu^a \rangle$ and $\langle f^{abc} \bar{c}^b c^c \rangle$	43
4.1	Renormalizability	43
4.2	One-loop quantum effective action in $\overline{\text{MS}}$ scheme	46
4.2.1	Initial remarks	46
4.2.2	Quantum action	47
4.2.3	Renormalization group invariance	48
4.2.4	Numerical results	49
4.3	Consequences of non-trivial condensates	49
4.3.1	Transversality analysis	51
4.4	Dynamical mass computation	53
4.4.1	Contributions	53
4.4.2	Results and interpretations	54
III	GRIBOV AMBIGUITIES	57
5	Preliminary notions	59
5.1	Gribov problem	61
5.1.1	Gribov copies	61
5.1.2	Gribov region and Gribov horizon	62
5.1.3	Properties of the Gribov region	62
5.1.4	Fundamental modular region and the functional A_{\min}^2	65
5.2	Restriction to the Gribov region	65
5.2.1	Gribov horizon and the QCD vacuum	66
5.2.2	Gribov approximation	66
5.2.3	Horizon function	68
5.3	Stability of Gribov-Zwanziger action	69
5.3.1	Localization of the horizon function	70
5.3.2	Symmetries and Ward identities	70
5.3.3	Stability	73
6	Gribov horizon and the operator $A_\mu^a A_\mu^a$	75
6.1	Computations with the Gribov-Zwanziger action	76
6.1.1	One-loop quantum action in $\overline{\text{MS}}$ scheme	76
6.1.2	Renormalization group invariance	77
6.1.3	Vacuum energy analysis	77
6.2	Gribov horizon in the presence of the operator $A_\mu^a A_\mu^a$	79
6.2.1	Renormalizability	79
6.2.2	One-loop quantum action in $\overline{\text{MS}}$ scheme	80
6.2.3	Renormalization group	84
6.2.4	Gap equations analysis	84

6.2.5	Optimization of the renormalization scheme	86
6.3	Discussion	87
6.3.1	Propagators	87
6.3.2	Coupling constant	88
6.3.3	Positivity violation	89
7	Linear covariant gauges	91
7.1	Motivation and introduction	91
7.2	Identification of a restriction region	92
7.3	Implementation of the restriction	93
7.4	Propagators	94
7.5	Inclusion of dynamical mass generation effects	95
7.6	Discussion	96
IV	FINAL	99
8	Conclusions	101
8.1	Mass condensates conclusions	101
8.2	Gribov ambiguities conclusions	102
8.2.1	Condensates and the Gribov horizon	102
8.2.2	Gribov ambiguities in other gauges	103
8.3	Final Remarks	103
V	APPENDICES	105
A	Conventions	107
B	Tools	109
B.1	Quantum action principle	109
B.2	BRST quantization	111
B.2.1	gauge fixing	111
B.2.2	Ward identities	112
B.3	Algebraic renormalization	113
B.3.1	Anomalies	113
B.3.2	Counterterm and quantum stability	114
B.3.3	Renormalization group	116
B.4	Local composite operator technique	117
B.4.1	Dimension two operators	117
B.4.2	Hubbard-Stratonovich fields	118
B.4.3	Renormalization group	119
B.4.4	Effective action and condensates	119

C Optimization of the renormalization scheme	121
C.1 Preliminaries	121
C.2 Optimization of the renormalization scheme	123
C.3 Numerical results	126

Part I

INTRODUCTION

Chapter 1

Introduction

O tema principal desta tese consiste no estudo de fenômenos ainda incompreendidos das chamadas teorias de Yang-Mills, [34]. Desta forma, neste capítulo introdutório, começemos por discutir suas principais propriedades. Faremos uma breve introdução sobre sua origem seguida da discussão sobre seus aspectos físicos conhecidos mais interessantes. Nesta discussão iremos começar a definir algumas quantidades e idéias importantes para esta tese. Todos os detalhes técnicos podem ser encontrados nos apêndices A e B. Após esta discussão apresentaremos um sumário sobre os efeitos não perturbativos das teorias de Yang-Mills, em particular abordaremos a questão da massa do glúon e o confinamento da cor, principais temas desta tese.

Uma recente e completa compilação sobre o entendimento das teorias de Yang-Mills nos últimos cinquenta anos pode ser encontrado em [35].

Para uso futuro apresentaremos algumas fórmulas ao longo deste capítulo. Abriremos mão de incluir matéria (férmions) nas discussões que se seguem, uma vez que os campos de calibre já introduzem complicações suficientes, como veremos ao longo desta tese. Desta forma trabalharemos exclusivamente com as chamadas teorias puras de Yang-Mills*. Não obstante, nos referiremos aos quarks sempre que for necessário e/ou um fenômeno se aplicar ao mesmo.

Ademais, não vamos adentrar nas questões de validade não perturbativa da rotação de Wick [30, 31]. Ao mesmo tempo, queremos fazer cálculos explícitos na QCD. Desta forma estaremos sempre imersos em um espaço-tempo quadridimensional Euclidiano.

1.1 Yang-Mills theories

1.1.1 Origin

Para entender a origem das teorias de Yang-Mills, podemos começar pela bem conhecida Eletrodinâmica Quântica (QED[†]), [36, 37]. A QED é tida hoje em dia como a teoria mais bem sucedida da Física, um título forte o suficiente para tê-la como inspiração para outras teorias. Na metade do século XX, suas predições já excediam expectativas e seu acordo com o experimento era, e ainda é, surpreendente. Fisicamente falando, a QED descreve a teoria quântica do eletromagnetismo, onde os elétrons interagem entre si através dos fótons que, por sua vez, não interagem entre si.

*Por simplicidade nos referiremos às *teorias de Yang-Mills puras* simplesmente por *teorias de Yang-Mills*. Da mesma forma, independentemente de estarmos no caso $SU(N)$, muitas vezes nos referiremos aos *campos de calibre* como *gluons*.

[†]Do inglês: *Quantum Electrodynamics*.

Além da beleza física, a QED possui uma bela estrutura matemática. De fato, a QED pode ser entendida geometricamente como uma teoria de calibre, *i.e.*, a ação que descreve a teoria é invariante por transformações de calibre associadas ao grupo de Lie $U(1)$. De maneira formal, a QED é a teoria que descreve a dinâmica de uma conexão imersa num fibrado principal com grupo de simetria Abeliano $U(1)$, veja [38]. É o fato de a QED ser uma teoria Abelianiana que implica na propriedade de o fóton não ser capaz de interagir consigo mesmo.

Analisando o sucesso da QED com relação aos resultados experimentais bem como sua beleza e simplicidade teóricas, sua generalização para o caso não Abelianiano $SU(N)$ surge naturalmente no intuito de explicar outras interações fundamentais da Natureza. É a generalização da QED para o caso não Abelianiano que define, nada mais nada menos que as teorias de Yang-Mills. Nas teorias de Yang-Mills, o análogo ao fóton, *i.e.*, os campos de calibre interagem entre si.

As teorias de Yang-Mills foram então utilizadas, com bastante sucesso, na tentativa de explicar as interações nuclear fraca e nuclear forte. A base para explicar as interações fracas foi baseada num esquema de quebra espontânea de simetria $SU(2)$, [39, 40]. Desta forma os campos de calibre adquirem massa através da interação com o chamado campo de Higgs. Apesar do sucesso teórico para a geração de massa para os bósons vetoriais, o Higgs ainda não foi encontrado experimentalmente.

O segundo caso, a interação nuclear forte é descrita pela Cromodinâmica Quântica (QCD[‡]), veja por exemplo [41, 42]. Neste modelo, o grupo de simetria é o grupo $SU(3)$. Neste caso temos oito campos de calibre que mediam a interação entre os quarks (constituintes dos nucleons). Tais mediadores, denominados gluons[§], devido a imensa força que eles geram entre os quarks, são responsáveis pelo fenômeno do confinamento de quarks e gluons. Sendo este o foco principal desta tese, vamos nos abster agora de mais detalhes uma vez que estes serão expostos exaustivamente ao longo da tese.

Resumidamente, as teorias de Yang-Mills surgiram no intuito de descrever algumas das interações fundamentais da Natureza, *i.e.*, as forças nucleares e o eletromagnetismo (caso Abelianiano limite). Não podemos deixar de comentar o fato da Gravitação não estar incluída nesta lista. De fato a união da Gravitação com a Mecânica Quântica consiste num dos maiores problemas da Física atual, se equiparando ao problema do confinamento de quarks e gluons. Contudo, nada mais falaremos sobre o assunto.

1.1.2 Quantization

Começemos por definir um pouco mais refinadamente as teorias de Yang-Mills. A ação que descreve a dinâmica dos campos de calibre é dada por

$$S_{YM} = \frac{1}{4} \int d^4x F_{\mu\nu}^a F_{\mu\nu}^a. \quad (1.1)$$

Classicamente esta ação já possui inúmeras propriedades interessantes. Por exemplo, a invariância de calibre já elimina a possibilidade de se encontrar soluções das equações de campos consistentemente. Desta forma, mesmo classicamente, a fixação de calibre se faz necessária. Ademais, devido aos termos de autointeração entre gluons, as equações de campo associadas são não lineares, permitindo soluções topológicas como, por exemplo, monopólos e vórtices [35]. Contudo, estamos mais interessados nos aspectos quânticos das teorias de Yang-Mills.

O método mais elegante e eficiente de se quantizar covariantemente uma teoria é através da integral de caminho de Feynman, [30, 31]. Fisicamente, ao se calcular um valor esperado com a integral de caminho, estamos sempre somando sobre todas as configurações possíveis. Contudo, a simetria de

[‡]Do inglês: *Quantum Chromodynamics*.

[§]Do inglês: *glue*.

calibre destrói a interpretação probabilística de uma teoria quântica. A simetria de calibre diz que um campo possui infinitas configurações equivalentes. Desta forma, a simetria de calibre faz com que o mesmo campo seja contado inúmeras vezes através de seus equivalentes. A solução é fixar o calibre introduzindo um vínculo para o campo de calibre. A fixação de calibre supostamente elimina a simetria de calibre da ação (1.1).

Ao contrário da QED, a introdução de um vínculo de calibre na integral de caminho não é simples. Um eficiente método de se introduzir um vínculo na integral de caminho é o chamado *ansatz* de Faddeev-Popov, [43]. Com a quantização de Faddeev-Popov, um vínculo pode ser introduzido na integral de caminho com o custo de se introduzir campos extras, os chamados campos fantasmas de Faddeev-Popov. Tais campos são escalares que obedecem a estatística de Fermi. De acordo com o teorema spin-estatística [44], estes campos violariam a causalidade. Contudo, os campos fantasmas aparecem apenas em laços fechados e não são, portanto, excitações observáveis da teoria. Notavelmente, estes campos são responsáveis pela unitariedade da teoria, seus diagramas cancelam graus de liberdade não físicos da série perturbativa [45].

De acordo com a quantização de Faddeev-Popov, [43], o termo de fixação de calibre covariante mais simples, a ser adicionado a ação de Yang-Mills (1.1), pode ser escrito como

$$S_{gf} = \int d^4x (b^a \partial_\mu A_\mu^a + \bar{c}^a \partial_\mu D_\mu^{ab} c^b) , \quad (1.2)$$

onde b^a é o chamado campo de Lautrup-Nakanishi, que funciona como um multiplicador de Lagrange para o vínculo. Os campos c^a e \bar{c}^a são os campos de Faddeev-Popov. Este vínculo define o chamado calibre de Landau[¶], cujo vínculo filtra o espaço de configurações contando apenas os campos transversos

$$\partial_\mu A_\mu^a = 0 . \quad (1.3)$$

A ação com calibre fixado é, portanto,

$$S = S_{YM} + S_{gf} . \quad (1.4)$$

Ao fixar o calibre como descrito anteriormente a simetria de calibre é quebrada. Contudo, surge uma nova simetria na ação (1.4), a chamada simetria BRST, [46, 47]. Definindo o operador BRST como s , a ação S se mostra invariante sob as seguintes transformações

$$\begin{aligned} sA_\mu^a &= -D_\mu^{ab} c^b , \\ sc^a &= \frac{g}{2} f^{abc} c^b c^c , \\ s\bar{c}^a &= b^a , \\ sb^a &= 0 . \end{aligned} \quad (1.5)$$

ou seja,

$$sS = 0 . \quad (1.6)$$

A simetria BRST é o tipo mais simples de supersimetria. Ainda, esta simetria é extremamente útil para se mostrar a renormalizabilidade de uma teoria. Outra importante propriedade de s é o fato de ser um operador nilpotente, $s^2 = 0$. Esta propriedade permite provar a unitariedade da matriz de espalhamento de uma teoria, dando o sentido físico final a teoria, [45]. Não é de se admirar que a simetria BRST terá um papel fundamental nesta tese.

[¶]A menos que o contrário seja dito, calibre de Landau será o calibre utilizado nesta tese para quantizar as teorias de Yang-Mills. Obviamente esta não é a única possibilidade, veja Apêndice B.

Uma extraordinária propriedade das teorias de Yang-Mills consiste em sua interpretação geométrica [38]. De fato, a ação de Yang-Mills descreve a dinâmica da conexão A_μ^a definida num fibrado principal, não trivial, de grupo de simetria $SU(N)$, e espaço de imersão \mathbb{R}^4 . Neste contexto, os campos fantasmas são as uma-formas de Maurer-Cartan enquanto que a variação BRST é isomorfa a derivada exterior. A fixação de calibre consiste na definição de uma seção no fibrado. Contudo, a Topologia diz que definir uma seção global em um fibrado não trivial não é algo possível. Veremos adiante que este é um dos problemas fundamentais das teorias de calibre.

1.1.3 Renormalization

Como foi observado anteriormente, a simetria BRST é muito útil para a renormalização de uma teoria. De acordo com a teoria de renormalização algébrica^{||}, [48], para trabalhar a renormalizabilidade das teorias de Yang-Mills introduzimos mais um termo à ação (1.4), com fontes externas acopladas às transformações BRST não lineares, de forma a podermos descrever a simetria BRST compativelmente ao princípio de ação quântica, [49, 50, 51, 52, 53]. Este termo é dado por

$$\begin{aligned} S_{ext} &= s \int d^4x (-\Omega_\mu^a A_\mu^a + L^a c^a) \\ &= \int d^4x \left(-\Omega_\mu^a D_\mu^{ab} c^b + \frac{g}{2} f^{abc} L^a c^b c^c \right), \end{aligned} \quad (1.7)$$

onde as fontes externas são s -invariantes,

$$s\Omega_\mu^a = sL^a = 0. \quad (1.8)$$

Desta forma, a ação apropriada para se estudar a renormalizabilidade das teorias de Yang-Mills é simplesmente

$$\Sigma = S + S_{ext}. \quad (1.9)$$

Esta ação, e suas generalizações, serão amplamente utilizadas nos capítulos que se seguem. De fato, a ação (1.9) é renormalizável, com apenas duas divergências a serem renormalizadas, uma associada a constante de acoplamento g e outra associada ao campo de calibre A_μ^a . A renormalizabilidade é feita de maneira recursiva e vale a todas as ordens em teoria de perturbações.

1.1.4 Asymptotic freedom and the infrared problem

Como resultado da renormalizabilidade, as teorias de Yang-Mills obedecem também ao grupo de renormalização [54]. Fisicamente, existe uma invariância de escala na teoria. Desta forma, após a renormalização de uma certa quantidade, teremos a dependência na escala de renormalização μ . Em particular, a constante de acoplamento renormalizada perturbativamente, a um laço, apresenta a forma

$$g^2(\mu) = \frac{1}{\frac{11N}{16\pi^2} \ln \frac{\mu^2}{\Lambda_{QCD}^2}}, \quad (1.10)$$

onde N é a dimensão do grupo e $\Lambda_{QCD} \approx 237\text{MeV}$ um corte de escala. Desta expressão se extrai o conceito de *liberdade assintótica* [41, 42]. Para tal, analisando a expressão (1.10) vemos que para escalas de energia grandes a constante de acoplamento tende a zero. Neste regime teríamos quarks e gluons quase livres.

^{||}Veja apêndice B.

Enquanto g for pequeno a teoria de perturbações utilizada na expansão em laços, que possui g como parâmetro de expansão, tem sentido. Vemos que isso ocorre para altas energias. Neste caso dizemos que estamos no *regime perturbativo* ou na *região ultravioleta*. Neste regime, a QCD se mostra muito bem sucedida uma vez que é capaz de fazer previsões com precisão experimental, dando credibilidade nas teorias de Yang-Mills como teoria fundamental para as interações fortes.

Por outro lado, conforme a energia diminui a constante de acoplamento começa a crescer. Até que a escala atinge o valor $\mu^2 = \Lambda_{QCD}^2 \exp\{16\pi^2/11N\}$ fazendo com que $g = 1$. A partir daí a expansão perturbativa deixa de fazer sentido e a teoria entra no chamado *regime não perturbativo* ou na *região infravermelha*. Contudo, podemos ser levemente teimosos, de forma que, diminuindo mais ainda a energia, chegamos ao chamado *polo de Landau*, $\mu = \Lambda_{QCD}$. Neste ponto a constante de acoplamento explode, indicando uma escala em que não podemos definir a teoria, nem mesmo levemente. Porém, se a energia diminuir mais ainda, a constante de acoplamento passa a ser imaginária e a teoria perde completamente o sentido.

Podemos interpretar este problema como um limite de validade da quantização das teorias de Yang-Mills. De fato, este limite está vinculado à validade da teoria de perturbações. A quantização como a conhecemos pode ser caracterizada como uma quantização perturbativa. Infelizmente um método não perturbativo capaz de suplantar a teoria de perturbações não está disponível. Desta forma, a região infravermelha ainda permanece insolúvel. A este problema se dá o nome de *problema infravermelho*.

Devemos ressaltar que se acredita que as teorias de Yang-Mills descrevam realmente a QCD a baixas energias. Essa crença vem do sucesso da teoria no setor de altas energias confirmando a existência de quarks, da liberdade assintótica e toda a previsão em Física hadrônica que a QCD é capaz de fazer. Mesmo que não na forma (1.1), é de lá que devemos partir para chegar a uma descrição consistente da QCD a baixas energias em termos de hadrons e bolas de gluons**.

1.1.5 Non-perturbative methods

Como discutido anteriormente, não conhecemos um algoritmo capaz de resolver uma teoria quântica no regime de acoplamento forte, o que se faz neste caso são aproximações, tentativas de aprimoração da teoria de perturbações etc... Neste estudo são encontradas muitas evidências de fenômenos não perturbativos que possuem influência na região infravermelha.

Em particular, o melhor método não perturbativo é a chamada *QCD na rede*, [54], onde o espaço-tempo Euclidiano é discretizado formando uma rede de pontos espaciais. Desta forma o espaçamento entre os pontos da rede é capaz de regularizar tanto as divergências ultravioletas como as infravermelhas. Contudo, este método exige um poderoso aparato computacional para efetuar suas simulações numéricas de forma a resolver diretamente a integral de caminho. Tratamentos analíticos na rede também existem, mas não possuem o poder das simulações numéricas. Obviamente existem problemas na rede a serem enfrentados, por exemplo, o limite ao contínuo.

Um outro método de análise não perturbativa muito utilizado é o estudo através das equações de Schwinger-Dyson, [55, 56, 57, 58, 59, 60, 61, 62, 63]. Neste método são feitos *ansätze* para os propagadores e suas propriedades, tais *ansätze* são substituídos nas equações de Schwinger-Dyson. Para resolver estas equações são utilizados métodos numéricos em união com considerações fenomenológicas.

Métodos puramente analíticos também são utilizados para o endendimento dos aspectos infravermelhos das teorias de Yang-Mills. Por exemplo, são feitos os chamados estudos semi-perturbativos, através das equações do grupo de renormalização. Neste tratamento a teorias de Yang-Mills são estudadas no âmbito dos fenômenos críticos, pontos fixos e transições de fase. Muitas vezes a temperatura se torna útil para estudar estas duas fases da QCD, ultravioleta e infravermelha.

**Do inglês: *glueballs*.

Outra aplicação analítica no setor infravermelho é o estudo de soluções clássicas estáveis, os bem conhecidos instantons [35]. Tais configurações de vácuo são utilizadas para tentar definir o vácuo da QCD e utilizá-lo na expansão perturbativa. Ainda se tratando do vácuo da QCD, existe o interesse recente em operadores com dimensão de massa, cuja condensação pode influenciar o vácuo da QCD [3]. Tais condensados são estudados através de diferentes técnicas, desde a expansão em produtos de operadores (OPE^{††}) até a técnica de operadores compostos locais (Técnica LCO^{‡‡}) [64]. Em particular, a técnica LCO é um dos métodos empregados nesta tese para o estudo de operadores locais de dimensão dois.

Devemos lembrar que operadores de dimensão dois não são os únicos de interesse na QCD, em particular condensados de vácuo com outras dimensões possuem um importante papel no comportamento infravermelho das teorias de Yang-Mills. Exemplos famosos são o condensado de gluons $\langle F_{\mu\nu}^2 \rangle$ e o condensado de quarks $\langle \bar{q}q \rangle$ associado a geração de massa dos quarks, veja [65] para mais detalhes.

Ainda, existem estudos baseados em uma dualidade entre as teorias de Yang-Mills e outras teorias que descreveriam a QCD a baixas energias [35]. Em particular, uma dualidade bastante promissora consiste no caso AdS/CFT, veja por exemplo [66], onde a QCD a baixas energias seria descrita por uma teoria efetiva em termos de monopólos e vórtices. Mesmo no supercondutor Abelian existe uma dualidade semelhante onde a teoria efetiva pode ser descrita em termos de vórtices e pares de Cooper, veja [1] para o caso de três dimensões.

Finalmente, um dos mais importantes tratamentos consiste no entendimento da própria quantização das teorias de Yang-Mills. De fato, como discutimos acima, a quantização parece falhar no limite de baixas energias, desta forma se faz necessária a aprimoração do método de quantização das teorias de Yang-Mills. Este problema está associado às chamadas *ambigüidades de Gribov* [67, 12]. Esta questão será discutida na próxima seção e em detalhes na parte III desta tese.

De qualquer forma existe um consenso entre todos os métodos empregados: O problema infravermelho, ou regime não perturbativo, está associado a dois fenômenos físicos tão complexos quanto interessantes, o *confinamento de quarks e gluons* e a *geração dinâmica de massa*. É fácil entender que estes dois efeitos não sejam totalmente independentes entre si. Estes dois efeitos compoem o tema desta tese, vamos entrar em mais detalhes na próxima seção. Ainda, veremos um terceiro fenômeno, que dará suporte aos dois previamente citados, o chamado *princípio de dominância Abelian*.

1.2 Some non-perturbative effects of QCD

1.2.1 Quark and gluon confinement

Através da análise feita da constante de acoplamento renormalizada (1.10), vimos que atravessar o polo de Landau sugere um tipo de transição de fase QCD. Uma fase onde quarks e gluons estariam confinados devido ao grande valor da constante de acoplamento. Na transição de fase ocorreria a formação de hadrons e bolas de gluons. Esta hipótese é confirmada sob o ponto de vista experimental uma vez que quarks e gluons não podem ser observados isoladamente. Não obstante, de acordo com a rede, o laço de Wilson possui a interpretação de um parâmetro de ordem das fases da QCD. Sob o ponto de vista da rede é indiscutível a confirmação da QCD confinante a baixas energias.

Uma forma ilustrativa simples de se entender o confinamento é imaginando um estado ligado de dois quarks a baixas energias. Se tentamos separá-los, a energia entre eles tende a aumentar devido a seu acoplamento forte. Quando mais energia damos para separá-los mais energia precisamos. Finalmente, chegamos a uma quantidade de energia capaz de criar um novo par quark-antiquark. Neste momento

^{††}Do inglês: *Operator Product Expansion*.

^{‡‡}Do inglês: *Local Composite Operator Technique*.

conseguimos separar os dois quarks iniciais, contudo, cada um deles se liga a um dos novos quarks criados com a energia fornecida. Terminamos com dois estados ligados novamente confinados.

Técnicamente, o confinamento caracteriza a impossibilidade de existirem observáveis carregando índices de cor, ou seja, quantidades que carreguem carga de cor. Todas as quantidades observáveis devem ser sem cor, ou seja, sem índices livres na álgebra do grupo $SU(N)$. Fisicamente, todos os observáveis a baixas energias seriam hádrons e bolas de glúons, lembrando que glúons carregam carga de cor, e portanto não são observáveis.

Existem duas propostas principais para se explicar o confinamento, o mecanismo de supercondutividade dual e o cenário de Gribov-Zwanziger. Nenhum destes tem a palavra final sobre o confinamento e é muito possível que sejam equivalentes ou ainda, necessários um ao outro para uma compreensão completa do fenômeno.

Dual superconductivity mechanism

Como o próprio nome sugere, o confinamento através da supercondutividade dual, [68, 69, 70], é uma idéia inspirada no supercondutor Abelian do tipo II. Suponhamos que além do supercondutor, temos a presença de monopólos magnéticos. Podemos pensar num tipo de fase supercondutora da QED quando existem monopólos de Dirac. Neste sistema, a condensação dos pares de Cooper produzem tubos de fluxo magnéticos cuja energia é proporcional a seu comprimento. Tais tubos possuem como fontes as cargas magnéticas de Dirac, que, por sua vez, ficam aprisionadas através dos tubos magnéticos. Temos assim, o confinamento de cargas magnéticas através de tubos de fluxo magnéticos.

Ainda, o sistema descrito acima possui uma segunda propriedade extraordinária, e-xiste uma simetria dual entre os setores elétrico e magnético. Desta forma, na teoria dual, teríamos cargas elétricas confinadas através de tubos de fluxo elétricos.

A generalização deste mecanismo para o caso não Abelian pode prover uma explicação para o confinamento de quarks e glúons. Assim, cargas cromoeletricas se confinariam através de tubos cromoeletricos. A vantagem é que no caso não Abelian, monopólos constituem configurações de vácuo estáveis, ou seja, não necessitamos incluí-los na mão, como no caso da QED.

Ainda, este mecanismo sugere o desacoplamento entre os setores *elétrico* (Abelian) e *magnético* (não Abelian) da teoria. Tal decomposição deu origem ao estudo dos chamados calibres Abelianos, onde a fixação de calibre é feita de forma diferente nos setores Abelian e não Abelian [71].

Gribov-Zwanziger scenario

Outro mecanismo que poderia explicar o confinamento está relacionado à própria quantização das teorias de Yang-Mills. Em [67], Gribov chamou a atenção para o fato de que fixar o calibre não é suficiente para eliminar a simetria de calibre. De fato, uma simetria de calibre residual sobrevive ao processo de quantização perturbativa e seus efeitos se tornam evidentes na região infravermelha. Este problema, chamado ambigüidades de Gribov, é na verdade uma patologia das teorias de Yang-Mills, e não de um calibre específico; As ambigüidades de Gribov existirão em qualquer calibre, [72].

Uma quantização mais eficiente no caso do calibre de Landau, dando conta das ambigüidades de Gribov, colocaria a teoria no verdadeiro vácuo da QCD. Neste vácuo glúons deixam de fazer parte do espectro físico da teoria e pelo menos uma grande parte das divergências infravermelhas são eliminadas. Mais recentemente foram encontradas evidências de que configurações topológicas de vácuo habitam o vácuo de Gribov-Zwanziger [73]. Ainda, neste vácuo, pode-se identificar o surgimento de forças de longo alcance, indicando confinamento.

Um ponto importante é o fato de que algumas divergências infravermelhas sobreviventes podem vir a possuir interpretações físicas fundamentais para o próprio mecanismo de confinamento, contudo,

mudando o calibre, tais interpretações se mostram um tanto obscuras [14, 15, 20, 23, 25]. Este problema indica que o mecanismo de Gribov-Zwanziger de confinamento pode variar de calibre para calibre.

Este mecanismo vincula o confinamento e as divergências infravermelhas ao problema mais fundamental de uma teoria, o problema de quantizá-la consistentemente. Sendo um dos principais temas desta tese, este problema será discutido em detalhes na terceira parte desta tese. Note ainda que, mesmo que este cenário não seja capaz de dar uma completa explicação ao confinamento e/ou dar conta das divergências infravermelhas, o tratamento das ambigüidades de Gribov se faz necessário para uma teoria quântica consistente e completa.

1.2.2 Dynamical mass generation

Como vimos na seção anterior, as teorias de Yang-Mills estão impregnadas de divergências infravermelhas. Este não é um problema específico do caso quadridimensional, por exemplo, em três dimensões a teoria é superrenormalizável, contudo as divergências infravermelhas são ainda mais patológicas. Surge então a pergunta: Se as teorias de Yang-Mills realmente descrevem o setor infravermelho, como a própria teoria se livra das divergências?

Vimos anteriormente que o tratamento das ambigüidades de Gribov resolvem grande parte do problema infravermelho, contudo, as divergências residuais possuem um caráter estranho devido a dependência no calibre escolhido. Uma hipótese bastante aceita que resolveria completamente o problema das divergências infravermelhas é que exista o chamado *gap de massa*, ou seja, de alguma forma, existe uma massa dentro da teoria que regularizaria as divergências infravermelhas de maneira invariante de calibre.

Note ainda, que, devido ao confinamento e ao fato de os gluons interagirem entre si, podem existir estados ligados compostos puramente por gluons, as bolas de gluons. É muito difícil aceitar que tais estados sejam formados por excitações não massivas, ou seja, deveríamos ter excitações viajando na velocidade da luz formando um estado ligado com uma massa considerável, da ordem de pelo menos $\approx 1.63\text{GeV}$ [66].

Assim, esta massa apareceria após o processo de renormalização da teoria, devido a efeitos quânticos internos. Portanto, a teoria seria renormalizável, unitária e, ainda, livre de divergências infravermelhas.

Muitos dos métodos não perturbativos discutidos na seção anterior mostram evidências da massa dinâmica. No caso da QCD na rede, parâmetros de massa são utilizados para ajustar os dados obtidos [74, 75, 76, 77, 78, 79, 80]. Contudo, na rede, é muito difícil determinar a origem destes parâmetros. No âmbito fenomenológico, temos as equações de Schwinger-Dyson, onde parâmetros de massa são utilizados nos propagadores como *ansatz* para resolver as equações. Em particular, o estudo de condensados de dimensão dois pode dar muitas evidências da existência dessa massa, [3]. Sendo este último um principal tema desta tese, vamos deixar a discussão para a próxima parte.

É importante ter em mente que simplesmente uma teoria de Yang-Mills massiva não é a resposta para esta questão. Tal modelo possui problemas de renormalizabilidade, de fato, este modelo só é renormalizável no calibre de Landau, [81], e mesmo assim, devido ao fato de as transformações BRST não serem nilpotentes, o modelo não é unitário.

1.2.3 Abelian dominance

Para terminar este capítulo introdutório, vamos entender o princípio de dominância Abeliana [82]. Tal princípio diz que, a baixas energias, a QCD seria descrita apenas por graus de liberdade Abelianos. Note que existem confirmações deste fenômeno também na rede [83, 84, 85].

Esta idéia não só é compatível com a idéia de confinamento via supercondutividade dual e da geração dinâmica de massa, como reforça tais idéias. Entender esta idéia é muito simples. No caso do confinamento via supercondutividade dual, vimos que este mecanismo requer um desacoplamento entre os setores Abelianos e não Abelianos. Da mesma forma, a dominância Abeliana requer tal desacoplamento. Com relação à geração dinâmica de massa a questão seria um pouco mais elaborada. Suponhamos que exista uma massa dinâmica para o glúon. Neste caso, se houvesse a quebra de degenerescência desta massa, teríamos o desacoplamento entre glúons Abelianos e não Abelianos. Ainda, a massa não Abeliana deveria ser maior que a massa Abeliana. Desta forma, para energias menores que a massa não Abeliana, este setor desacoplaria do espectro uma vez que não haveria energia para criar pares com tal massa. Finalmente, a teoria estaria composta apenas por graus de liberdade Abelianos.

Chapter 2

This thesis

Vimos na introdução como os efeitos não perturbativos são importantes para se determinar o comportamento infravermelho das teorias de Yang-Mills. Obviamente, a discussão apresentada é suficiente para motivar toda e qualquer pesquisa sobre efeitos não perturbativos das teorias de Yang-Mills. No entanto, vamos ser um pouco mais específicos neste sentido e enumerar objetivamente as motivações deste estudo. Em seguida apresentaremos nossas propostas e os respectivos resultados.

2.1 Motivations

As principais motivações para se estudar os *Aspectos não perturbativos das teorias de Yang-Mills* podem ser resumidos em um único: O entendimento da região infravermelha da QCD. Contudo, apesar de um grande estudo ter sido feito, muitos aspectos foram deixados de lado em benefício de uma profunda pesquisa em dois aspectos particulares: A geração dinâmica de massa devido a condensação de operadores de dimensão dois e as ambigüidades de Gribov.

A principal motivação para a massa dinâmica vem da hipótese sobre a existência de um regularizador infravermelho. Ainda, temos o apoio e incentivo proveniente de simulações numéricas na rede. Na QCD na rede, é muito difícil determinar a origem física de parâmetros de massa utilizados no ajuste de dados [74, 75, 76, 77, 78, 79, 80]. Desta forma, um estudo puramente analítico se faz necessário para se compreender tais parâmetros. Da mesma forma, massas são utilizadas para parametrizar propagadores no estudo através das equações de Schwinger-Dyson. Introduzidos através de *ansätze*, tais parâmetros são interpretados como uma geração dinâmica de massa, contudo, sua origem física permanece obscura [55, 56, 57, 58, 59, 60, 61, 62, 63].

Desta forma o estudo puramente analítico é muito bem vindo no intuito de dar evidências sobre a origem física destes parâmetros. Em particular, para encontrar evidências analíticas da massa dinâmica optamos por um estudo detalhado de operadores de dimensão dois para possível condensação. Tal escolha é motivada pelo fato de haver um método analítico bastante completo para estudar estes condensados, o chamado método LCO [64].

O outro aspecto não perturbativo amplamente discutido nesta tese dispensa muitos motivos. As ambigüidades de Gribov estão relacionadas com a própria quantização das teorias de Yang-Mills e seu comportamento infravermelho. Ademais, existe ainda uma motivação extra, o fato de existir uma ação local e renormalizável que descreve as teorias de Yang-Mills no calibre de Landau com a eliminação de um grande número das ambigüidades de Gribov, [86, 87, 88], a chamada *ação de Gribov-Zwanziger*. Com esta ação a integral de caminho possui domínio de integração restrito a uma região finita do

espaço funcional das configurações de calibre, a chamada região de Gribov. Tal ação fornece o cenário ideal para se fazer cálculos explícitos.

Ainda, devido ao fato de o estudo sobre as ambigüidades de Gribov ter sido desenvolvido exclusivamente nos calibres de Landau e Coulomb, temos bons motivos para iniciar discussões sobre as ambigüidades de Gribov em outros calibres.

2.2 Proposals and results

Nossa proposta consiste no estudo de condensados de dimensão dois através do método LCO de forma a estudar a geração dinâmica de massa para os gluons nas teorias de Yang-Mills. Com este método, somos capazes de analisar a renormalizabilidade de um operador de massa e calcular o potencial efetivo associado a este operador. Desta forma podemos fazer uma análise deste potencial através do grupo de renormalização e procurar soluções que favoreçam dinamicamente um condensado não trivial. Tal condensado pode ser relacionado a uma massa gerada dinamicamente para os gluons.

De fato, partimos de um estudo de diversos operadores de dimensão dois invariantes de calibre, não locais. Mostramos que existem duas classes distintas destes operadores. Tais operadores são incompatíveis com o método LCO*. Contudo, mostramos que as duas classes estão relacionadas, no calibre de Landau, com o operador local $A_\mu^a A_\mu^a$ que não é invariante de calibre. Desta forma, o estudo da condensação deste operador pode dar evidências importantes sobre a geração de massa e pistas sobre um regularizador invariante de calibre proveniente da condensação de operadores invariantes de calibre.

Uma outra classe de operadores compostos locais de dimensão dois são os operadores fantasmas cujo efeito é gerar massa taquiônica para o glúon [89, 90]. Nesta tese apresentamos um estudo conjunto do operadores $A_\mu^a A_\mu^a$ e $g f^{abc} \bar{c}^b c^c$ através do método LCO, apresentando resultados formais e resultados explícitos bem como interessantes efeitos físicos. No caso de cálculos explícitos, nos limitamos ao caso $SU(2)$, por motivos de simplicidade. Esta análise, disposta no Capítulo 4, tem como resultados, publicados em [16], os que se seguem:

- O formalismo LCO para os operadores $A_\mu^a A_\mu^a$ e $f^{abc} \bar{c}^b c^c$ é renormalizável a todas as ordens em teoria de perturbações. A prova foi feita em conjunto com a teoria de renormalização algébrica.
- Os operadores compostos $A_\mu^a A_\mu^a$ e $f^{abc} \bar{c}^b c^c$ não possuem dimensão anômala independente. De fato, devido às relações entre os fatores de renormalização multiplicativa,

$$\begin{aligned} Z_{A^2} &= Z_g Z_A^{-1/2}, \\ Z_{f\bar{c}c} &= Z_A^{1/2}, \end{aligned} \tag{2.1}$$

temos que as dimensões anômalas correspondentes são dadas por

$$\begin{aligned} \gamma_{A^2}(g^2) &= - \left[\frac{\beta(g^2)}{2g^2} + \gamma_A(g^2) \right], \\ \gamma_{f\bar{c}c}(g^2) &= \gamma_A(g^2), \end{aligned} \tag{2.2}$$

preservando os resultados anteriores, onde os operadores foram estudados separadamente. Em (2.2) $\beta(g^2)$ e $\gamma_A(g^2)$ são, respectivamente, as dimensões anômalas da constante de acoplamento e do campo de calibre.

*Veja apêndice B.

- Demonstramos explicitamente[†] que a ação quântica efetiva obedece a uma equação homogênea do grupo de renormalização.
- A existência de condensados não triviais $\langle A_\mu^a A_\mu^a \rangle$ e $\langle f^{abc} \bar{c}^b c^c \rangle$ é favorecida dinamicamente, uma vez que a energia do vácuo correspondente é sempre negativa, independentemente da escala escolhida.
- Calculamos de forma consistente com o grupo de renormalização, a energia do vácuo, bem como os valores dos condensados $\langle A_\mu^a A_\mu^a \rangle \propto \bar{m}^2$ e $\langle \varepsilon^{abc} \bar{c}^b c^c \rangle \propto \tilde{\omega}$. Estes são,

$$\begin{aligned} \bar{m}^2 &\approx 3.07 \Lambda_{\overline{\text{MS}}}^2, \\ \tilde{\omega} &\approx 18.48 \Lambda_{\overline{\text{MS}}}^2, \\ E_{\text{vac}} &\approx -1.15 \Lambda_{\overline{\text{MS}}}^4. \end{aligned} \quad (2.3)$$

- Foi mostrado para o caso geral $SU(N)$ que o propagador do glúon permanece transverso a todas as ordens em teoria de perturbações.
- Da mesma forma, foi demonstrado que a polarização do vácuo não é transversa devido, exclusivamente, a presença do condensado $\langle \varepsilon^{abc} \bar{c}^b c^c \rangle$.
- Calculamos explicitamente os valores da massa do glúon gerada dinamicamente por estes condensados levando em consideração as correções a um laço, encontrando os valores

$$\begin{aligned} m_{\text{Ab}}^2 &\approx 1.66 \Lambda_{\overline{\text{MS}}}^2, \\ m_{\text{nAb}}^2 &\approx 2.34 \Lambda_{\overline{\text{MS}}}^2, \end{aligned} \quad (2.4)$$

de onde identificamos a quebra da degenerescência da massa do glúon, associada a quebra da transversalidade da polarização do vácuo. Este resultado pode ser interpretado como uma evidência da dominância Abeliã no calibre de Landau.

No Capítulo 6, fizemos um estudo detalhado do operador $A_\mu^a A_\mu^a$ quando levamos em conta o horizonte de Gribov. Incorporamos o operador $A_\mu^a A_\mu^a$ na ação de Gribov-Zwanziger através do método LCO. Os resultados desta análise foram publicados em [6, 8, 11]. Inicialmente fizemos uma análise a um laço da ação de Gribov-Zwanziger sem considerar o operador $A_\mu^a A_\mu^a$. Os resultados provenientes deste estudo são os que se seguem:

- Devido a renormalizabilidade da ação de Gribov-Zwanziger o parâmetro de Gribov γ não possuem dimensão anômala independente. De fato, devido à relação,

$$Z_{\gamma^2} = Z_g^{-1/2} Z_A^{-1/4}, \quad (2.5)$$

temos que a dimensão anômala correspondente é dada por

$$\gamma_{\gamma^2}(g^2) = -\frac{1}{2} \left[\frac{\beta(g^2)}{2g^2} - \gamma_A(g^2) \right], \quad (2.6)$$

- Demonstramos explicitamente[‡] que a ação quântica efetiva obedece a uma equação homogênea do grupo de renormalização.

[†]A menos que o contrário seja especificado, todos os resultados apresentados daqui para frente, nesta lista, foram obtidos para o caso $SU(2)$ a um laço no esquema de renormalização $\overline{\text{MS}}$ utilizando regularização dimensional.

[‡]A menos que o contrário seja especificado, todos os resultados apresentados daqui para frente foram obtidos na aproximação de um laço no esquema de renormalização $\overline{\text{MS}}$ utilizando regularização dimensional.

- Foi demonstrado formalmente que, independentemente do esquema de renormalização e da escala, a energia do vácuo na presença do horizonte é sempre positiva.
- Não foi possível encontrar uma solução para γ consistente com as equações do grupo de renormalização pois não foi possível encontrar um parâmetro de expansão suficientemente pequeno para dar sentido a série perturbativa. Esse *resultado* foi obtido a um e dois laços.

Após esta análise inicial, foi feita a inclusão do operador $A_\mu^a A_\mu^a$, provendo os seguintes resultados

- O formalismo LCO para o operador $A_\mu^a A_\mu^a$ na ação de Gribov-Zwanziger é renormalizável a todas as ordens em teoria de perturbações. A prova foi feita em conjunto com a teoria de renormalização algébrica.
- O operador composto $A_\mu^a A_\mu^a$ e o parâmetro de Gribov γ não possuem dimensão anômala independente. De fato, devido às relações,

$$\begin{aligned} Z_{A^2} &= Z_g Z_A^{-1/2}, \\ Z_{\gamma^2} &= Z_g^{-1/2} Z_A^{-1/4}, \end{aligned} \quad (2.7)$$

temos que as dimensões anômalas correspondentes são dadas por

$$\begin{aligned} \gamma_{A^2}(g^2) &= - \left[\frac{\beta(g^2)}{2g^2} + \gamma_A(g^2) \right], \\ \gamma_{\gamma^2}(g^2) &= - \frac{1}{2} \left[\frac{\beta(g^2)}{2g^2} - \gamma_A(g^2) \right], \end{aligned} \quad (2.8)$$

preservando os resultados anteriores, onde o horizonte e o operador $A_\mu^a A_\mu^a$ foram estudados separadamente.

- Demonstramos explicitamente[§] que a ação quântica efetiva obedece a uma equação homogênea do grupo de renormalização.
- Foi demonstrado, independentemente da escala escolhida, que não é possível existir uma solução com $m^2 > 0$ para equação do gap definindo o horizonte. Para o caso $m^2 > 0$ apenas uma solução é permitida. Ainda assim, uma solução consistente não foi encontrada no esquema $\overline{\text{MS}}$.
- Providenciamos para que as equações renormalizadas fossem escritas sob um cenário otimizado, no sentido de que reduzimos a dependência no esquema de renormalização escolhido. A dependência é descrita por apenas um parâmetro, b_0 , associado a renormalização da constante de acoplamento g .
- No cenário otimizado, o esquema $\overline{\text{MS}}$ corresponde ao caso $b_0 = 0$. A solução neste caso, com parâmetro de expansão relativamente pequeno, $\frac{N}{16\pi^2 x} \approx 0.340$, é dada por[¶]

$$\begin{aligned} \widehat{\lambda}^4 x^{-2b} &\approx 15.66 \Lambda_{\overline{\text{MS}}}^4, \\ \widehat{m}^2 x^{-a} &\approx -1.40 \Lambda_{\overline{\text{MS}}}^2, \\ E_{\text{vac}} &\approx 0.11 \Lambda_{\overline{\text{MS}}}^4. \end{aligned} \quad (2.9)$$

[§]A menos que o contrário seja especificado, todos os resultados apresentados daqui para frente foram obtidos na aproximação de um laço no esquema de renormalização $\overline{\text{MS}}$ utilizando regularização dimensional.

[¶]O parâmetro λ nada mais é que o próprio parâmetro de Gribov, com diferente normalização, $\lambda \propto \gamma$.

Para o caso de dependência mínima no esquema de renormalização, caso $b_0 \approx 0.425$, a solução é dada por

$$\begin{aligned}\widehat{\lambda}^4 x^{-2b} &\approx 2.07 \Lambda_{\overline{\text{MS}}}^4, \\ \widehat{m}^2 x^{-a} &\approx -0.23 \Lambda_{\overline{\text{MS}}}^2, \\ E_{\text{vac}} &\approx 0.019 \Lambda_{\overline{\text{MS}}}^4,\end{aligned}\tag{2.10}$$

onde o parâmetro de expansão é satisfatoriamente pequeno, $\frac{N}{16\pi^2 x} \approx 0.047$.

Por fim, ainda no Capítulo 6, foi fornecida uma discussão sobre as consequências da presença do parâmetro de massa dinâmica e do parâmetro de Gribov:

- O propagador do glúon, no nível árvore, se apresenta com o comportamento tipo Stingl [91]

$$D_{\mu\nu}^{ab}(q) = \delta^{ab} \frac{q^2}{q^4 + m^2 q^2 + \frac{\lambda^4}{4}} \left(\delta_{\mu\nu} - \frac{q_\mu q_\nu}{q^2} \right).\tag{2.11}$$

- O propagador do glúon é suprimido no limite infravermelho. Sendo que $D(0) = 0$.
- O propagador do glúon viola o *princípio de positividade*, exceto na ausência do horizonte, $\lambda = 0$.
- Devido a condição de horizonte, o propagador dos campos de Faddeev-Popov, apresentam comportamento singular infravermelho tipo Gribov

$$\frac{\delta^{ab}}{N^2 - 1} \langle c^a \bar{c}^b \rangle_{q \approx 0} \approx \frac{1}{q^4}.\tag{2.12}$$

Finalmente, no Capítulo 7, fornecemos o primeiro estudo analítico das ambigüidades de Gribov nos calibres lineares covariantes. Os resultados são os que seguem:

- Foi identificada uma região no espaço funcional das configurações de calibre que pode ser utilizada para eliminar as cópias de Gribov infinitesimais^{||},

$$\Omega \equiv \{ A_\mu^a \mid A_\mu^a = A_\mu^{aT} + A_\mu^{aL}, \mathcal{M}^{abT} > 0 \}.\tag{2.13}$$

onde,

$$\mathcal{M}^{abT} = -\partial_\mu (\partial_\mu - g f^{abc} A_\mu^{cT}).\tag{2.14}$$

e A^T é a componente transversa do campo de calibre e A^L a componente longitudinal do mesmo.

- O efeito da restrição aparece nos propagadores da teoria.
- O propagador do glúon é dado por

$$D_{\mu\nu}^{ab}(k) = \delta^{ab} \left[\frac{k^2}{k^4 + 2Ng^2\gamma^4} \left(\delta_{\mu\nu} - \frac{k_\mu k_\nu}{k^2} \right) + \frac{\alpha}{k^2} \frac{k_\mu k_\nu}{k^2} \right].\tag{2.15}$$

onde γ é o parâmetro de Gribov, determinado através de uma equação de gap idêntica ao caso do calibre de Landau, a um laço.

^{||}Todos resultados que se seguem foram obtidos exclusivamente para o caso em que o parâmetro de calibre é pequeno, $\alpha \ll 1$.

- Quando a geração dinâmica de massa é levada em consideração o propagador encontrado é na forma

$$D_{\mu\nu}^{ab}(k) = \delta^{ab} \left[\frac{k^2}{k^4 + m^2 k^2 + 2Ng^2\gamma^4} \left(\delta_{\mu\nu} - \frac{k_\mu k_\nu}{k^2} \right) + \frac{\alpha}{k^2 + \alpha m^2} \frac{k_\mu k_\nu}{k^2} \right]. \quad (2.16)$$

com equação de gap dada por

$$\frac{3}{4}Ng^2 \int \frac{d^4q}{(2\pi)^4} \frac{1}{q^4 + m^2 q^2 + 2Ng^2\gamma^4} = 1. \quad (2.17)$$

- Os setores transverso e longitudinal são suprimidos no limite infravermelho. O parâmetro de Gribov é responsável pela supressão do setor transverso enquanto a massa força a supressão no setor longitudinal.
- O propagador dos campos de Faddeev-Popov não apresentam o comportamento $1/k^4$.
- Devido a equação do gap, a função de Green $(\mathcal{M}^T)^{-1} = [-\partial_\mu (\delta^{ab} \partial_\mu - g f^{abc} A_\mu^{cT})]^{-1}$ apresenta comportamento singular forte no limite infravermelho,

$$\frac{1}{N^2 - 1} \left[(\mathcal{M}^T(k))^{-1} \right]^{aa} \Big|_{k \rightarrow 0} \propto \frac{1}{k^4}. \quad (2.18)$$

- O calibre de Landau e suas propriedades são recuperadas no limite $\alpha \rightarrow 0$.

Part II

DYNAMICAL MASS

Chapter 3

Condensation of dimension two operators

Neste capítulo vamos iniciar o estudo de operadores de dimensão dois* como motivação para se entender a possível condensação destes operadores de forma a gerar uma massa dinâmica para os gluons.

Discutiremos os operadores de massa invariantes de calibre. Começando com o caso mais simples, ou seja, o caso Abelian, veremos que existem quatro tipos de operadores de massa invariantes de calibre. Contudo, estes operadores se mostram equivalentes entre si, ao nível clássico. Ao se generalizar tais operadores para o caso não Abelian, veremos que existem duas classes distintas. Ainda, estes operadores não Abelianos se mostram não locais e/ou não renormalizáveis quando introduzidos na ação de Yang-Mills acoplados a parâmetros de massa. Os detalhes desta análise podem ser encontrados em [17].

Em seguida, mostraremos que, no caso específico do calibre de Landau, podemos relacionar as duas classes de operadores invariantes de calibre com o operador local $A_\mu^a A_\mu^a$, motivando assim o estudo deste operador. Lembramos que este operador tem sido extensamente estudado nos últimos anos, veja [92, 93, 94, 95, 96, 64, 97, 81, 98, 99, 2, 5, 7, 100, 101, 11, 102, 103, 104, 105, 106] e referências. Revisaremos o método LCO para este operador, e a respectiva geração dinâmica de massa, [64, 97, 81, 99, 2], no calibre de Landau.

Finalmente, apresentaremos os operadores locais compostos por campos fantasmas, que também têm chamado a atenção nos últimos anos [107, 108, 109, 110, 89, 111, 96, 7, 16]. Obviamente tais operadores não são invariantes de calibre, uma vez que os campos de Faddeev-Popov aparecem devido a fixação de calibre. Contudo, tais operadores proporcionam interessantes consequências físicas nas teorias de Yang-Mills. Faremos um resumo dos principais efeitos relacionados a condensação destes operadores, no calibre de Landau. Em particular, abordaremos a questão através do método LCO.

3.1 Gauge invariant operators

3.1.1 Abelian case

Consideremos o limite Abelian das teorias de Yang-Mills, ou seja, a ação da QED, [36, 37, 112],

$$S_{QED} = \frac{1}{4} \int d^4x F_{\mu\nu} F_{\mu\nu} , \quad (3.1)$$

*Como frizamos na primeira parte desta tese, tais operadores também são chamados de operadores de massa.

onde o tensor eletromagnético é dado por

$$F_{\mu\nu} = \partial_\mu A_\nu - \partial_\nu A_\mu . \quad (3.2)$$

Lembramos que a ação da QED é invariante sob transformações de calibre na forma

$$\delta A_\mu = -\partial_\mu \omega , \quad (3.3)$$

onde ω é o parâmetro do grupo de calibre $U(1)$.

O objeto invariante de calibre mais simples que podemos considerar com o campo A_μ é a componente transversa deste campo, A_μ^T ,

$$A_\mu^T = \left(\delta_{\mu\nu} - \frac{\partial_\mu \partial_\nu}{\partial^2} \right) A_\nu . \quad (3.4)$$

Desta forma, um operador de dimensão dois associado seria

$$\mathcal{O}_1^{Abel}(A) = \int d^4x A_\mu^T A_\mu^T . \quad (3.5)$$

A segunda possibilidade é considerar a quantidade $\int d^4x A_\mu A_\mu$ e minimizá-la com respeito a transformações de calibre, veja [92, 93],

$$\mathcal{O}_2^{Abel}(A) = A_{\min}^2 = \min \int d^4x A_\mu A_\mu . \quad (3.6)$$

É importante ressaltar que foi provado em [93] que o funcional A_{\min}^2 é um parâmetro de ordem para o estudo da transição de fase da QED compacta em três dimensões.

Uma terceira possibilidade para um operador de massa invariante de calibre no caso Abelian seria considerar o termo de Stückelberg, dado por, [113]

$$\mathcal{O}_3^{Abel}(A) = \int d^4x (A_\mu + \partial_\mu \phi)^2 , \quad (3.7)$$

onde ϕ é um campo escalar sem dimensão. O operador $\mathcal{O}_3^{Abel}(A)$ é invariante sob a transformação (3.3) juntamente com

$$\delta \phi = \omega . \quad (3.8)$$

Curiosamente, o termo de Stückelberg (3.7) pode ser reescrito na forma de um modelo sigma de calibre com simetria $U(1)$,

$$\mathcal{O}_3^{Abel}(A) = \int d^4x \left(A_\mu - \frac{i}{e} G^{-1} \partial_\mu G \right)^2 . \quad (3.9)$$

com

$$G = e^{ie\phi} . \quad (3.10)$$

De forma que as transformações de calibre (3.3) e (3.8) são agora dadas por

$$\begin{aligned} A_\mu &\rightarrow A_\mu + \frac{i}{e} V^{-1} \partial_\mu V , \\ G &\rightarrow GV , \end{aligned} \quad (3.11)$$

onde

$$V = e^{ie\omega} . \quad (3.12)$$

Esta propriedade será importante para discutirmos a generalização do termo de Stückelberg no caso não Abelian.

A quarta e última possibilidade de um operador invariante de calibre é dada pelo objeto não local

$$\mathcal{O}_4^{Abel}(A) = -\frac{1}{2} \int d^4x F_{\mu\nu} \frac{1}{\partial^2} F_{\mu\nu} . \quad (3.13)$$

Apesar da forma aparentemente diferente de cada um destes operadores, pode-se mostrar facilmente, veja detalhes em [17], que estes operadores são equivalentes ao nível clássico,

$$\mathcal{O}_1^{Abel}(A) \equiv \mathcal{O}_2^{Abel}(A) \equiv \mathcal{O}_3^{Abel}(A) \equiv \mathcal{O}_4^{Abel}(A) , \quad (3.14)$$

Ainda, no caso Abelian, estes operadores são renormalizáveis quando acoplados a um parâmetro de massa, [17]. Por exemplo, ação

$$S = S_{YM} + \frac{m}{2} \mathcal{O}_4^{Abel}(A) , \quad (3.15)$$

é renormalizável. Para isso, o termo não local pode ser colocado numa forma local com a ajuda de campos auxiliares. Mais detalhes podem ser encontrados em [17].

3.1.2 Non-Abelian case

No caso Abelian todos os operadores invariantes de calibre discutidos se mostraram equivalentes entre si, (3.14). Consideremos agora o caso mais interessante, ou seja, a ação de Yang-Mills (1.1), que descreve o caso não Abelian. Veremos agora como estes operadores se generalizam ao caso não Abelian e até onde a relação de equivalência (3.14) permanece válida.

Operator A_{\min}^2

O operador \mathcal{O}_2^{Abel} da expressão (3.6) pode ser generalizado ao caso não Abelian considerando a minimização do funcional $\text{Tr} \int d^4x A_\mu^U A_\mu^U$ ao longo da órbita de calibre de A_μ^a , [114, 115, 116, 117, 118, 92, 93], de acordo com

$$\begin{aligned} A_{\min}^2 &\equiv \min_{\{U\}} \text{Tr} \int d^4x A_\mu^U A_\mu^U , \\ A_\mu^U &= U^\dagger A_\mu U + \frac{i}{g} U^\dagger \partial_\mu U . \end{aligned} \quad (3.16)$$

A segunda das (3.16) é tida como a definição da órbita de calibre.

É importante ter em mente que, apesar de o processo de minimização acima descrito fazer com que o operador A_{\min}^2 se torne invariante de calibre, devemos ressaltar que encontrar a forma explícita do mínimo absoluto alcançado pelo funcional $\text{Tr} \int d^4x A_\mu^U A_\mu^U$ consiste em um passo altamente não trivial. Na prática, encontrar o mínimo absoluto deste operador requer a solução do problema das ambigüidades de Gribov[†]. Contudo, foi demonstrado em [114, 115, 116, 117, 118] que o operador $\text{Tr} \int d^4x A_\mu^U A_\mu^U$

[†]Esta questão será discutida na terceira parte desta tese.

atinge seu mínimo absoluto ao longo da órbita de A_μ^a . Como discutido em [17], uma configuração de mínimo relativo de $\text{Tr} \int d^4x A_\mu^U A_\mu^U$ é obtida quando, por exemplo, $U = h$ de forma que A_μ^h é um campo transverso, $\partial_\mu A_\mu^h = 0$. A forma explícita de A_μ^h é dada por uma série de potências em A_μ^a , [119],

$$A_\mu^h = \left(\delta_{\mu\nu} - \frac{\partial_\mu \partial_\nu}{\partial^2} \right) \left\{ A_\nu - ig \left[\frac{1}{\partial^2} \partial A, A_\nu \right] + \frac{ig}{2} \left[\frac{1}{\partial^2} \partial A, \partial_\nu \frac{1}{\partial^2} \partial A \right] + O(A^3) \right\}. \quad (3.17)$$

Substituindo a expressão (3.17) em (3.16) deduzimos uma expressão em séries de potências em A_μ^a para o operador A_{\min}^2 ,

$$A_{\min}^2 = \frac{1}{2} \int d^4x \left[A_\mu^a \left(\delta_{\mu\nu} - \frac{\partial_\mu \partial_\nu}{\partial^2} \right) A_\nu^a - g f^{abc} \left(\frac{\partial_\nu}{\partial^2} \partial A^a \right) \left(\frac{1}{\partial^2} \partial A^b \right) A_\nu^c \right] + O(A^4). \quad (3.18)$$

Ainda, a configuração de mínimo relativo A_μ^h é tal que, além de transversa é, ordem a ordem em g , invariante de calibre, veja em [17]. Esta simples propriedade mostra que A_{\min}^2 também generaliza o operador \mathcal{O}_1^{Abel} definido em (3.5).

Stückelberg term

O termo de Stückelberg, \mathcal{O}_3^{Abel} , dado em (3.7), pode ser generalizado ao caso não Abelian, [113], de acordo com a expressão

$$\mathcal{O}_S = \text{Tr} \int d^4x \left(A_\mu - \frac{i}{g} G^{-1} \partial_\mu G \right)^2, \quad (3.19)$$

onde

$$G = e^{ig\phi^a T^a}, \quad (3.20)$$

com ϕ^a sendo um campo escalar sem dimensão. A expressão (3.19) é invariante sob transformações de calibre na forma

$$\begin{aligned} A_\mu &\rightarrow V^{-1} A_\mu V + \frac{i}{g} V^{-1} \partial_\mu V, \\ G &\rightarrow GV. \end{aligned} \quad (3.21)$$

De acordo com [120, 17], o termo de Stückelberg é classicamente equivalente ao operador A_{\min}^2 . A prova é feita, [120, 17], extraíndo as equações de movimento de ϕ^a a partir de (3.19) e substituindo-as no mesmo, encontrando a relação de equivalência

$$\mathcal{O}_S \equiv A_{\min}^2. \quad (3.22)$$

Operator $\text{tr} \int d^4x F_{\mu\nu} \frac{1}{D^2} F_{\mu\nu}$

O último operador Abelian a ser generalizado seria $\int d^4x F_{\mu\nu} \frac{1}{\partial^2} F_{\mu\nu}$, exposto na expressão (3.13). De acordo com [121] tal generalização é feita facilmente através da substituição da derivada ordinária pela derivada covariante, $\partial \rightarrow D$, ou seja,

$$\mathcal{O}_o = \text{Tr} \int d^4x F_{\mu\nu} \frac{1}{D^2} F_{\mu\nu} = \frac{1}{2} \int d^4x F_{\mu\nu}^a [(D^2)^{-1}]^{ab} F_{\mu\nu}^b. \quad (3.23)$$

No caso Abelian, todos os quatro operadores considerados eram, de fato, equivalentes entre si. Aqui, no caso não Abelian, vimos que a generalização dos operadores \mathcal{O}_1^{Abel} , \mathcal{O}_2^{Abel} e \mathcal{O}_3^{Abel} são equivalentes entre si. Contudo, o operador \mathcal{O}_o se mostra diferente de A_{\min}^2 . Para vermos isso, basta observarmos a expressão de A_{\min}^2 em termos do tensor intensidade de campo, [115],

$$A_{\min}^2 = -\frac{1}{2}\text{Tr} \int d^4x \left(F_{\mu\nu} \frac{1}{D^2} F_{\mu\nu} + 2i \frac{1}{D^2} F_{\lambda\mu} \left[\frac{1}{D^2} D_\kappa F_{\kappa\lambda}, \frac{1}{D^2} D_\nu F_{\nu\mu} \right] - 2i \frac{1}{D^2} F_{\lambda\mu} \left[\frac{1}{D^2} D_\kappa F_{\kappa\nu}, \frac{1}{D^2} D_\nu F_{\lambda\mu} \right] \right) + O(F^4). \quad (3.24)$$

Portanto, no caso não Abelian temos duas classes de operadores de massa invariantes de calibre.

3.1.3 Discussion

Discutimos, nas teorias de Yang-Mills, quatro operadores de dimensão dois invariantes de calibre que podem estar relacionados com o fenômeno da geração dinâmica de massa. Mostramos que, de fato, existem duas classes de operadores, uma dada pelo operador A_{\min}^2 e suas representações e outra dada pelo operador \mathcal{O}_o . Nos resta agora saber o que fazer com estes operadores, ou seja, como estudar os efeitos que estes causam na teoria e como associá-los a uma massa dinâmica.

Como proposto em [17], podemos pensar em considerar modelos massivos na forma

$$S_m = S_{YM} + \frac{m^2}{2} \mathcal{O}^i, \quad (3.25)$$

onde $\mathcal{O}^i \in \{A_{\min}^2, \mathcal{O}_o\}$ e o parâmetro de massa m^2 , ao invés de ser um parâmetro livre, seria fixado através de uma equação de gap. No caso de A_{\min}^2 , a ação (3.25) se torna difícil de se lidar devido ao fato de A_{\min}^2 ser dado por uma expansão em A_μ^a com termos altamente não locais, (3.26). Um conhecimento da solução do problema de Gribov se mostra necessário para lidar com tal operador[‡]. Poderíamos ainda ter a esperança de nos depararmos com uma teoria renormalizável se utilizarmos a representação, local, de Stückelberg (3.19). Mas, infelizmente, esta representação não é polinomial, o que invalida automaticamente a renormalizabilidade do modelo devido ao aparecimento de infinitos vértices.

Por outro lado, \mathcal{O}_o possui uma aparência mais amigável. Primeiramente, este operador pode ser introduzido em qualquer calibre, sem termos que solucionar nenhum problema não trivial do tipo Gribov. Ainda, \mathcal{O}_o pode ser colocado numa representação local e polinomial com a ajuda de um conjunto de campos auxiliares apropriados, veja os detalhes em [17]. Nesta representação a teoria proposta (3.25) é, pelo menos, renormalizável por contagem de potências. Mas, infelizmente, nem mesmo nesta representação a ação (3.25) se mostra renormalizável. Ao invés disso, uma teoria alternativa às teorias de Yang-Mills foi identificada, uma teoria de calibre não Abelian massiva renormalizável, veja os detalhes em [17, 21].

Como discutido no início deste capítulo, inspirados nos resultados da rede, procuramos uma massa dinâmica dentro das teorias de Yang-Mills, e não modelos alternativos. Devido a dificuldade de lidar com operadores não locais, vamos então simplificar tais operadores para o caso específico do calibre de Landau (calibre de interesse desta tese). Veremos que poderemos lidar com operadores locais e ainda relacioná-los ao caso geral dos operadores não locais aqui discutidos.

[‡]Como discutiremos na terceira parte desta tese, tal solução ainda não está a nossa disposição.

3.2 Local operators

Nos últimos anos tem crescido o interesse por operadores de dimensão dois, em particular o condensado de gluons $\langle A_\mu^a A_\mu^a \rangle$ no calibre de Landau. Estudos têm sido efetuados através de várias técnicas não perturbativas teóricas, fenomenológicas e computacionais na rede, veja, por exemplo, [93, 92, 94, 95, 96, 64, 81, 99, 5, 7, 100, 101, 11, 102, 103, 104, 105, 106] e referências contidas. Não vamos entrar nos detalhes dos muitos métodos utilizados para tratar este condensado. Nos ateremos ao método aqui utilizado, o formalismo LCO.

No método LCO, o operador $A_\mu^a A_\mu^a$ e suas generalizações a outros calibres foram intensamente estudados, [64, 81, 5, 4, 5, 7, 11]. De acordo com esta construção uma massa para o glúon é gerada dinamicamente no nível árvore, devido a um condensado $\langle A_\mu^a A_\mu^a \rangle \neq 0$.

Outra classe de condensados, talvez menos conhecidas são os chamados condensados de campos fantasmas BCS e Overhauser, $\langle f^{abc} \bar{c}^b c^c \rangle$, $\langle f^{abc} c^b c^c \rangle$ e $\langle f^{abc} \bar{c}^b \bar{c}^c \rangle$. Estes foram estudados primeiramente no calibre Abelian máximo, [107, 108, 109, 110] no caso $SU(2)$. Em [89, 111], foi mostrado que a massa gerada para os gluons não diagonais é, na verdade taquiônica, a um laço.

No caso do calibre de Landau, tais condensados foram estudados no formalismo LCO em [122, 90]. Um ação efetiva foi construída para os operadores $f^{abc} \bar{c}^b c^c$, $f^{abc} c^b c^c$ e $f^{abc} \bar{c}^b \bar{c}^c$ simultaneamente, preservando a simetria the $SL(2, \mathbb{R})$.

O estudo conjunto entre $A_\mu^a A_\mu^a$ e $g f^{abc} \bar{c}^b c^c$ foi efetuado em [16] e compõe o tema principal desta parte.

3.2.1 Operator $A_\mu^a A_\mu^a$ and the Landau gauge

Começemos por discutir as propriedades do operador de massa $A_\mu^a A_\mu^a$. Este operador, apesar de não ser invariante de calibre, pode nos dizer muito sobre os operadores discutidos na seção anterior. Para entendermos isso, consideremos a forma explícita de A_{\min}^2 , (3.17). Este operador, no calibre de Landau, se simplifica enormemente devido ao fato de o calibre ser composto por configurações transversas exclusivamente. De fato, no calibre de Landau, a expressão (3.17) se reduz a

$$A_{\min}^2 \Big|_{\text{Landau}} = \tilde{\mathcal{O}}(A) = \frac{1}{2} \int d^4x A_\mu^a A_\mu^a . \quad (3.26)$$

Ainda, é trivial checar que, ao nível clássico, $\tilde{\mathcal{O}}$ é invariante de calibre. Desta forma temos um operador local exatamente associado a A_{\min}^2 no caso de um calibre específico (Landau).

Podemos ainda, associar $\tilde{\mathcal{O}}$ à segunda classe de operadores invariantes de calibre, ou seja, \mathcal{O}_o definido em (3.23). Para tal, basta tomarmos a ordem em g^0 da expressão (3.23), e verificar que

$$\mathcal{O}_o = -\text{Tr} \int d^4x A_\mu^T A_\mu^T + O(g) , \quad (3.27)$$

onde A_μ^T é a componente transversa do glúon A_μ . Desta forma, no calibre de Landau,

$$\mathcal{O}_o = -2\tilde{\mathcal{O}} + O(g) . \quad (3.28)$$

As relações (3.26) e (3.27) significam que o estudo do operador local $A_\mu^a A_\mu^a$ no calibre de Landau pode vir a fornecer pistas da condensação dos operadores invariantes de calibre. E, conseqüentemente, evidências da geração dinâmica de massa. É importante ressaltar que o modelo massivo descrito pela ação

$$S_{m2} = S_{YM} + m^2 \tilde{\mathcal{O}} , \quad (3.29)$$

é renormalizável a todas as ordens em teoria de perturbações, [81].

Daqui para frente, a menos que o contrário seja dito, trabalharemos exclusivamente no calibre de Landau.

3.2.2 Operator $A_\mu^a A_\mu^a$ and the LCO technique

Vamos discutir brevemente as propriedades do operador $A_\mu^a A_\mu^a$ quando introduzido através do método LCO. Como veremos mais detalhadamente o método LCO para o caso mais geral no próximo capítulo e na parte seguinte desta tese, passaremos rapidamente pelos principais pontos físicos deste tópico. Os detalhes técnicos podem ser encontrados em [64, 97, 81, 99, 2].

Esta seção é incluída a título de exemplo inicial do método LCO, bem como para comparação dos resultados que obteremos na terceira parte desta tese, quando tratarmos das ambigüidades de Gribov. O mesmo não ocorrerá com os condensados fantasmas.

Renormalizability

Para estudarmos as propriedades do operador $A_\mu^a A_\mu^a$ nas teorias de Yang-Mills, consideramos a ação

$$\Sigma = S_{YM} + S_{gf} + S_{LCO} + S_{ext} . \quad (3.30)$$

onde a ação de Yang-Mills está disposta na expressão (1.1) e o termos de fixação de calibre, impondo o calibre de Landau, está dado em (1.2). A ação LCO no caso do operador $A_\mu^a A_\mu^a$, de acordo com o Ap. B, é na forma

$$\begin{aligned} S_{LCO} &= s \int d^4x \left(\frac{\lambda}{2} A_\mu^a A_\mu^a - \frac{\zeta}{2} \lambda J \right) \\ &= \int d^4x \left(\frac{J}{2} A_\mu^a A_\mu^a + \lambda A_\mu^a \partial_\mu c^a - \frac{\zeta}{2} J^2 \right) , \end{aligned} \quad (3.31)$$

onde as fontes (campos clássicos) λ e J são introduzidas para manter a simetria BRST existente neste calibre, (1.5). De fato, estas fontes formam um dubleto BRST, sendo portanto inofensivas ao setor físico das teorias de Yang-Mills,

$$\begin{aligned} s\lambda &= J , \\ sJ &= 0 . \end{aligned} \quad (3.32)$$

O parâmetro LCO, ζ , é introduzido para absorver as divergências associadas à função de correlação $\langle A^2(x) A^2(y) \rangle$. É fácil entender a necessidade deste termo, pois é permitido por contagem de potências, veja tabela[§] B.2 localizada no Ap. B. Ademais, este parâmetro possui papel fundamental para se estabelecer a invariância do potencial efetivo sob o grupo de renormalização. Finalmente, temos a ação de fontes invariantes BRST,

$$\begin{aligned} S_{ext} &= s \int d^4x \left(-\Omega_\mu^a A_\mu^a + L^a c^a \right) \\ &= \int d^4x \left(-\Omega_\mu^a D_\mu^{ab} c^b + \frac{g}{2} f^{abc} L^a c^b c^c \right) , \end{aligned} \quad (3.33)$$

[§]No caso do operador $A_\mu^a A_\mu^a$, de número quântico fantasma nulo, as fontes λ e J possuem número quântico fantasma dado respectivamente por -1 e 0 .

onde as fontes Ω_μ^a e L^a são invariantes sob transformações BRST,

$$s\Omega_\mu^a = sL^a = 0. \quad (3.34)$$

A ação de fontes externas S_{ext} é introduzida de forma a sermos consistentes com o princípio de ação quântica e podermos escrever identidades de Ward para as simetrias da ação (3.30). Lembramos que os números quânticos das fontes BRST Ω_μ^a e L^a , bem como dos campos A_μ^a , c^a , \bar{c}^a e b^a , podem ser encontrados na tabela B.1.

Para provar a renormalizabilidade da ação (3.30) é conveniente utilizar a teoria de renormalização algébrica [48], veja também Ap. B. Tecnicamente, este método consiste em encontrarmos o contratermo mais geral possível, compatível com as simetrias da ação (3.30) e mostrar que este contratermo pode ser reabsorvido na ação (3.30) através da redefinição multiplicativa dos campos e parâmetros da mesma ação. Fisicamente, devemos mostrar que a ação (3.30) permanece estável sob correções quânticas. Vamos então enumerar as simetrias do modelo através de identidades de Ward

- Identidade de Slavnov-Taylor associada a simetria BRST

$$\mathcal{S}(\Sigma) = \int d^4x \left(\frac{\delta\Sigma}{\delta\Omega_\mu^a} \frac{\delta\Sigma}{\delta A_\mu^a} + \frac{\delta\Sigma}{\delta L^a} \frac{\delta\Sigma}{\delta c^a} + b^a \frac{\delta\Sigma}{\delta \bar{c}^a} + J \frac{\delta\Sigma}{\delta \lambda} \right) = 0, \quad (3.35)$$

- Fixação de calibre e a equação dos campos anti-fantasma

$$\begin{aligned} \frac{\delta\Sigma}{\delta b^a} &= \partial_\mu A_\mu^a, \\ \frac{\delta\Sigma}{\delta \bar{c}^a} + \partial_\mu \frac{\delta\Sigma}{\delta \Omega_\mu^a} &= 0. \end{aligned} \quad (3.36)$$

- Equação dos campos fantasmas

$$\int d^4x \left(\frac{\delta\Sigma}{\delta c^a} + g f^{abc} \bar{c}^b \frac{\delta\Sigma}{\delta b^c} \right) = g f^{abc} \int d^4x (\Omega_\mu^b A_\mu^c + L^b c^c), \quad (3.37)$$

- Equação de inserção

$$\int d^4x \left(\frac{\delta\Sigma}{\delta \lambda} + c^a \frac{\delta\Sigma}{\delta b^a} \right) = 0. \quad (3.38)$$

É importante ter em mente que a equação de inserção (3.38) só é possível devido ao fato de o operador $\tilde{\mathcal{O}}$, em (3.26), ser classicamente invariante de calibre. Como consequência a equação de inserção (3.38) gera a simetria $SL(2, \mathbb{R})$,

$$\int d^4x \left(\bar{c}^a \frac{\delta\Sigma}{\delta c^a} + \frac{\delta\Sigma}{\delta L^a} \frac{\delta\Sigma}{\delta b^a} \right) = 0. \quad (3.39)$$

pertencente à álgebra de Nakanishi-Ojima (álgebra NO), [123]. A simetria $SL(2, \mathbb{R})$, assim como a álgebra NO são conhecidas propriedades do calibre de Landau.

O contratermo mais geral possível, de acordo com a teoria de renormalização algébrica [48], respeitando às identidades de Ward (3.35-3.38), é dado por

$$S^c = a_0 S_{YM} + \int d^4x \left\{ a_1 \left[A_\mu^a \frac{\delta S_{YM}}{\delta A_\mu^a} + (\Omega_\mu^a + \partial_\mu \bar{c}^a) \partial_\mu c^a + \frac{1}{2} J A_\mu^a A_\mu^a \right] + \frac{a_8}{2} \zeta J^2 \right\}, \quad (3.40)$$

onde a_i são parâmetros de renormalização independentes. Note que o coeficiente do termo JA^2 é o parâmetro associado à renormalização do glúon. Esta propriedade vem da equação de inserção (3.38). Ainda, vemos que o termo LCO ζJ^2 se renormaliza independentemente dos demais termos da teoria. Estas divergências são as acima mencionadas associadas à função de correlação $\langle A^2(x)A^2(y) \rangle$, justificando assim a introdução do parâmetro LCO ζ .

Resta testar a renormalizabilidade multiplicativa da teoria na presença do operador $A_\mu^a A_\mu^a$. De fato, o contratérmo (3.40) pode ser reabsorvido na ação clássica (3.30) através da redefinição multiplicativa dos campos, fontes e parâmetros da teoria, de acordo com as expressões (B.38-B.40) no Ap. B. Juntamente com

$$\begin{aligned} J_0 &= Z_J J, \\ \lambda_0 &= Z_\lambda \lambda, \\ \zeta_0 &= Z_\zeta \zeta. \end{aligned} \tag{3.41}$$

Os fatores de renormalização independentes são dados por $Z_A^{1/2}$, Z_g e Z_ζ . Para o glúon e a constante de acoplamento temos

$$\begin{aligned} Z_A^{1/2} &= 1 + \epsilon \left(a_1 - \frac{a_0}{2} \right), \\ Z_g &= 1 + \epsilon \frac{a_0}{2}, \end{aligned} \tag{3.42}$$

enquanto que para o parâmetro LCO temos

$$Z_\zeta = 1 + \epsilon(-a_8 + 2a_1 - 2a_0). \tag{3.43}$$

Ainda, como resultado principal desta análise temos a renormalização das fontes LCO

$$\begin{aligned} Z_\lambda &= Z_c^{-1/2} Z_A^{-1/2}, \\ Z_J &= Z_\lambda^2 = Z_g Z_A^{-1/2}, \end{aligned} \tag{3.44}$$

onde a segunda das (3.44) não é obtida diretamente como um teorema de não renormalização, mas sim obtida devido ao fato de o termo JA^2 não possuir contratérmo independente. Ressaltamos que este teorema pode ser obtido de maneira formal considerando um sistema de fontes mais sofisticado, veja [81].

Ainda, o teorema de não renormalização do vértice glúon-fantasma-antifantasma [124] permanece válido, devido a equação fantasma (3.37),

$$Z_c = Z_{\bar{c}} = Z_A^{-1/2} Z_g^{-1}. \tag{3.45}$$

Os demais objetos se renormalizam da mesma forma que o caso sem o operador $A_\mu^a A_\mu^a$,

$$\begin{aligned} Z_L &= Z_b^{-1/2} = Z_A^{1/2}, \\ Z_\Omega &= Z_g^{-1/2} Z_A^{-1/4}, \end{aligned}$$

Com isso terminamos a análise das propriedades de renormalização do operador $A_\mu^a A_\mu^a$.

Effective action and the renormalization group

O próximo passo consiste em contruir um potencial efetivo associado ao operador $A_\mu^a A_\mu^a$. A ação efetiva é definida por, [31][¶],

$$e^{-\Gamma(J)} = \int DAD\bar{c}DcDb \exp \left\{ -S_{YM} - S_{gf} - \int d^4x \left(\frac{J}{2} A_\mu^a A_\mu^a - \frac{\zeta}{2} J^2 \right) \right\}, \quad (3.46)$$

Um problema com a ação efetiva é o fato de ζ ser, até então, um parâmetro livre da teoria introduzido para absorver divergências apenas. Temos então um problema com a unicidade da energia do vácuo. Um segundo problema a ser encarado é o termo em J^2 , que sugere que a interpretação da ação efetiva como energia de vácuo está perdida.

O primeiro problema é resolvido escolhendo ζ apropriadamente, de forma a existir apenas uma solução para a ação efetiva. Isto é feito através das equações do grupo de renormalização, veja, por exemplo, [64] e o apêndice B. De fato, escolhendo ζ como uma série de Laurent em g^2

$$\zeta = \frac{\zeta_0}{g^2} + \zeta_1 + g^2 \zeta_2 + g^4 \zeta_3 + \dots, \quad (3.47)$$

a ação efetiva (3.46) obedece a seguinte EGR homogênea

$$\left[\mu \frac{\partial}{\partial \mu} + \beta(g^2) \frac{\partial}{\partial g^2} - \gamma_{A^2}(g^2) \int d^4x J \frac{\delta}{\delta J} \right] \Gamma = 0, \quad (3.48)$$

onde

$$\begin{aligned} \beta(g^2) &= \mu \frac{\partial g^2}{\partial \mu}, \\ \gamma_{A^2}(g^2) &= \mu \frac{\partial}{\partial \mu} \ln Z_J. \end{aligned} \quad (3.49)$$

Em particular, de acordo com a eq. (3.44), segue que a dimensão anômala do operador $A_\mu^a A_\mu^a$ é dada por

$$\gamma_{A^2}(g^2) = - \left[\frac{\beta(g^2)}{2g^2} + \gamma_A(g^2) \right]. \quad (3.50)$$

Vemos que, devido ao teorema de não renormalização (3.44), a dimensão anômala do operador $A_\mu^a A_\mu^a$ não é uma quantidade independente da teoria, sendo dependente da função beta e da dimensão anômala do campo de calibre. Este resultado pode ser generalizado a outros calibres como o MAG e o Curci-Ferrari, devido a existência da simetria $SL(2, \mathbb{R})$, veja [2]. Uma importante observação a respeito do parâmetro LCO ζ é o fato de sua solução influenciar ordens diferentes na expansão do grupo de renormalização. Desta forma, para resolvermos as equações na ordem n , necessitamos conhecer o valor de ζ a ordem $n + 1$.

O segundo problema, associado ao termo quadrático em J , pode facilmente ser resolvido através da introdução do campo auxiliar de Hubbard-Stratonovich, σ . Este truque é efetuado através da introdução da identidade, na integral de caminho (3.46), escrita como

$$1 = \mathcal{N} \int D\sigma e^{-\frac{1}{2\zeta} \int d^4x \left[\frac{\sigma}{g} + \frac{1}{2} A_\mu^a A_\mu^a - \zeta J \right]^2}, \quad (3.51)$$

[¶]Apesar de não estar explícito, a expressão (3.46) é assumida renormalizada. Utilizaremos essa hipótese sempre que falarmos de quantidades quânticas. Contudo, não utilizaremos a notação renormalizada padrão para não deixar a leitura carregada.

onde \mathcal{N} é um fator de normalização. Desta forma a expressão (3.46) passa a ser escrita como

$$e^{-\Gamma(J)} = \int DAD\bar{c}DcDb \exp \left\{ -S_{YM} - S_{gf} - S_\sigma + \int d^4x \frac{J\sigma}{g} \right\}, \quad (3.52)$$

onde

$$S_\sigma = \int d^4x \left[\frac{\sigma^2}{2g^2\zeta} + \frac{1}{2} \frac{\sigma}{g\zeta} A_\mu^a A_\mu^a + \frac{1}{8\zeta} (A_\mu^a A_\mu^a)^2 \right]. \quad (3.53)$$

Vemos que a identidade (3.51) elimina o termo quadrático em J . Ademais, é fácil ver que o campo σ se relaciona com o operador composto $A_\mu^a A_\mu^a$ através da relação

$$\langle A_\mu^a A_\mu^a \rangle = -\frac{2}{g} \langle \sigma \rangle. \quad (3.54)$$

Assim, se σ desenvolver um valor esperado de vácuo não trivial, teremos um valor não trivial para condensado $A_\mu^a A_\mu^a$. Tal condensado gera um termo de massa para o glúon, através da relação

$$m^2 = -\frac{\langle A_\mu^a A_\mu^a \rangle}{2\zeta} \quad (3.55)$$

Não vamos entrar nos detalhes técnicos do cálculo do potencial efetivo, uma vez que as questões físicas do mesmo foram abordadas, vamos apenas apresentar os resultados. Os detalhes podem ser encontrados em [64].

Vacuum energy and dynamical mass

De acordo com [64, 97, 81, 98] é possível encontrar uma solução da equação do gap a um laço com parâmetro de expansão relativamente pequeno, $\frac{g^2 N}{16\pi^2} \approx 0.193$. Tal solução é caracterizada, no esquema de renormalização $\overline{\text{MS}}$ e regularização dimensional, por

$$\begin{aligned} m^2 &\approx (2.031\Lambda_{\overline{\text{MS}}})^2, \\ E_{\text{vac}} &\approx -0.323\Lambda_{\overline{\text{MS}}}^4, \end{aligned} \quad (3.56)$$

onde a escala de renormalização foi escolhida de modo a eliminar os logaritmos, ou seja $\bar{\mu}^2 = m^2$.

3.2.3 Ghost operators

Por fim, vamos apresentar as possibilidades de operadores de massa compostos por campos fantasmas. Existem quatro possibilidades, $gf^{abc}c^b c^c$, $gf^{abc}\bar{c}^b \bar{c}^c$, $gf^{abc}c^b \bar{c}^c$ e $\bar{c}^a c^a$. Por analogia ao supercondutor Abelian, os dois primeiros pertencem ao chamado canal BCS, em analogia à condensação dos pares de Cooper, enquanto o terceiro pertence ao canal Overhauser, em analogia ao efeito Overhauser. A quarta possibilidade será deixada de lado, pois no calibre de Landau este operador não se faz necessário. Isto segue das identidades de Ward que excluem a formação do condensado $\langle \bar{c}^a c^a \rangle$.

O estudo dos operadores $gf^{abc}c^b c^c$, $gf^{abc}\bar{c}^b \bar{c}^c$ e $gf^{abc}c^b \bar{c}^c$ foi feito em [90] através do formalismo LCO. Neste trabalho foi provada a renormalizabilidade da ação LCO descrevendo tais operadores. Ainda, estes condensados se relacionam através da simetria $SL(2, \mathbb{R})$. Tal simetria caracteriza as transições entre os vácuos BCS e Overhauser, mostrando que são equivalentes entre si. Esta propriedade permitirá que estudemos apenas o setor Overhauser nesta tese.

Ainda, tais condensados carregam índice de cor, implicando na quebra da simetria de cor. Contudo, foi mostrado também em [90], que esta quebra ocorre no setor não físico da teoria. Outra forma de entender isso, é através das excitações de Goldstone associadas a quebra da simetria $SL(2, \mathbb{R})$, que são não físicas [107, 90]. Este resultado é uma consequência direta da invariância BRST. Outro efeito que estes condensados acarretam é o fato de gerar massa para o glúon. Contudo, esta massa se mostra taquiônica a um laço.

Ao contrário do caso $A_\mu^a A_\mu^a$, não vamos entrar em muitos detalhes neste capítulo uma vez que os efeitos associados ao condensado Overhauser serão todos discutidos no capítulo que se segue. Para mais detalhes sobre os condensados fantasmas nos referimos a [122, 90].

Chapter 4

Combined analysis of the condensates $\langle A_\mu^a A_\mu^a \rangle$ and $\langle f^{abc} \bar{c}^b c^c \rangle$

Neste capítulo vamos discutir as consequências dos condensados de vácuo não triviais $\langle A_\mu^a A_\mu^a \rangle$ e $\langle f^{abc} \bar{c}^b c^c \rangle$ quando seus efeitos são levados em consideração simultaneamente. Mostraremos a renormalizabilidade do método LCO para estes condensados para o caso geral $SU(N)$. Para o resto do capítulo faremos cálculos para o caso mais simples $SU(2)$. Em particular, faremos o cálculo a um laço da ação quântica efetiva, da energia do vácuo e dos condensados propriamente ditos. Faremos também um estudo das consequências físicas deste condensados. Os detalhes técnicos deste capítulo podem ser encontrados em [16].

4.1 Renormalizability

Nesta seção demonstraremos que as teorias de Yang-Mills permanecem renormalizáveis quando introduzimos, simultaneamente, os operadores compostos $A_\mu^a A_\mu^a$ e $f^{abc} \bar{c}^b c^c$, no calibre de Landau, através do método LCO.

Para acoplar os operadores compostos na ação de Yang-Mills no calibre de Landau consideramos a ação completa

$$\Sigma = S_{YM} + S_{gf} + S_{LCO} + S'_{LCO} + S_{ext} + S'_{ext}. \quad (4.1)$$

Nesta ação S_{YM} e S_{gf} são dadas, respectivamente, em (1.1-1.2). O termo de fontes externas acopladas às variações BRST não lineares, S_{ext} , foi descrita em (1.7). A ação S_{LCO} descreve o termo LCO associado ao operador gluônico $A_\mu^a A_\mu^a$, disponível em (3.31), enquanto a ação S'_{LCO} descreve o operador $f^{abc} \bar{c}^b c^c$ e é dada por

$$\begin{aligned} S'_{LCO} &= s \int d^4x \left(g f^{abc} \tau^a \bar{c}^b c^c - \frac{\rho}{2} \omega^a \tau^a \right) \\ &= \int d^4x \left(g f^{abc} \omega^a \bar{c}^b c^c - g f^{abc} \tau^a b^c c^c + \frac{g^2}{2} f^{abc} f^{cde} \tau^a \bar{c}^b c^d c^e - \frac{\rho}{2} \omega^a \omega^a \right) \end{aligned} \quad (4.2)$$

onde as fontes LCO formam dubletos BRST* de acordo com

$$\begin{aligned} s\tau^a &= \omega^a, \\ s\omega^a &= 0. \end{aligned} \quad (4.3)$$

Por fim, temos a ação extra S'_{ext} , dada por

$$\begin{aligned} S'_{ext} &= s \int d^4x \left(\beta \frac{g}{2} f^{abc} \tau^a \tau^b c^c + \gamma \tau^a \partial_\mu A_\mu^a \right) \\ &= \int d^4x \left(\beta g f^{abc} \omega^a \tau^b c^c + \beta \frac{g^2}{4} f^{abc} f^{cde} \tau^a \tau^b c^d c^e + \gamma \omega^a \partial_\mu A_\mu^a + \gamma \tau^a \partial_\mu D_\mu^{ab} c^b \right), \end{aligned} \quad (4.4)$$

onde β e γ são novos parâmetros independentes sem dimensão[†]. A ação S'_{ext} é introduzida por motivos de renormalizabilidade.

A ação completa (4.1), está na forma apropriada para que suas simetrias sejam des-critas através de identidades de Ward, veja apêndice B. Identidades estas que são listadas a seguir:

- Identidade de Slavnov-Taylor

$$\mathcal{S}(\Sigma) = \int d^4x \left(\frac{\delta \Sigma}{\delta \Omega_\mu^a} \frac{\delta \Sigma}{\delta A_\mu^a} + \frac{\delta \Sigma}{\delta L^a} \frac{\delta \Sigma}{\delta c^a} + b^a \frac{\delta \Sigma}{\delta \bar{c}^a} + \omega^a \frac{\delta \Sigma}{\delta \tau^a} + J \frac{\delta \Sigma}{\delta \lambda} \right) = 0. \quad (4.5)$$

- Condição de Landau modificada

$$\frac{\delta \Sigma}{\delta b^a} = \partial_\mu A_\mu^a + g f^{abc} \tau^b c^c. \quad (4.6)$$

- Equação dos campos antifantasma modificada

$$\frac{\delta \Sigma}{\delta \bar{c}^a} + \partial_\mu \frac{\delta \Sigma}{\delta \Omega_\mu^a} - g f^{abc} \tau^b \frac{\delta \Sigma}{\delta L^c} = -g f^{abc} \omega^b c^c. \quad (4.7)$$

- Equação dos campos fantasmas modificada

$$\mathcal{G}^a(\Sigma) = \Delta_{class}^a, \quad (4.8)$$

com

$$\begin{aligned} \mathcal{G}^a &= \int d^4x \left(\frac{\delta}{\delta c^a} + g f^{abc} \bar{c}^b \frac{\delta}{\delta b^c} + g f^{abc} \tau^b \frac{\delta}{\delta \omega^c} \right), \\ \Delta_{class}^a &= \int d^4x \left[g f^{abc} \left(\Omega_\mu^b A_\mu^c - L^b c^c - \omega^b \bar{c}^c + (\beta - \rho) \tau^b \omega^c - \tau^b b^c \right) \right]. \end{aligned}$$

- Equação de λ modificada

$$\int d^4x \left(\frac{\delta \Sigma}{\delta \lambda} + c^a \frac{\delta \Sigma}{\delta b^a} - 2\tau^a \frac{\delta \Sigma}{\delta L^a} \right) = 0. \quad (4.9)$$

Esta identidade expressa a invariância BRST, ao nível clássico, do operador $A_\mu^a A_\mu^a$.

*Os números quânticos das fontes LCO do operador fantasma podem ser encontrados na tabela B.2, onde os números fantasmas das fontes τ e ω são, respectivamente, -1 e 0 .

[†]Estes parâmetros aparecem apenas neste capítulo e não existirá confusão caso reutilizemos tais letras gregas em outros capítulos para descrever outras quantidades.

Lembrando que, como discutido no apêndice B, de acordo com a teoria de renormalização algébrica, os termos nos lados direitos das equações (4.6)-(4.8), sendo lineares nos campos quânticos, representam uma quebra que permanece clássica, não evoluindo às correções quânticas, [48]. Ainda, de acordo com a teoria de renormalização algébrica, pode-se mostrar que, o contratermo mais geral possível a ser adicionado a ação (4.1), respeitando as identidades (4.5-4.8), pode ser escrito como

$$\Sigma^{(1)} = a_0 S_{YM} + \mathcal{B}_\Sigma \Delta^{-1}, \quad (4.10)$$

onde \mathcal{B}_Σ é o operador de Slavnov-Taylor linearizado, nilpotente, dado por

$$\mathcal{B}_\Sigma = \int d^4x \left(\frac{\delta \Sigma}{\delta \Omega_\mu^a} \frac{\delta}{\delta A_\mu^a} + \frac{\delta \Sigma}{\delta A_\mu^a} \frac{\delta}{\delta \Omega_\mu^a} + \frac{\delta \Sigma}{\delta L^a} \frac{\delta}{\delta c^a} + \frac{\delta \Sigma}{\delta c^a} \frac{\delta}{\delta L^a} + b^a \frac{\delta}{\delta \bar{c}^a} + \omega^a \frac{\delta}{\delta \tau^a} + J \frac{\delta}{\delta \lambda} \right), \quad (4.11)$$

e Δ^{-1} escrito como

$$\begin{aligned} \Delta^{-1} = & \int d^4x \left\{ a_1 \left[A_\mu^a (\Omega_\mu^a + \partial_\mu \bar{c}^a) - \frac{\lambda}{2} A_\mu^a A_\mu^a \right] \right. \\ & \left. + \frac{a_8}{2} \zeta \lambda J + a_9 \gamma \tau^a \partial_\mu A_\mu^a + \frac{a_{14}}{2} \rho \tau^a (g f^{abc} \tau^b c^c - \omega^a) \right\}. \end{aligned} \quad (4.12)$$

O passo final para demonstrar a renormalizabilidade da ação (4.1) é checar a estabilidade da mesma sob correções quânticas. Este passo é feito reabsorvendo o contratermo (4.10) na ação (4.1) através da redefinição multiplicativa dos campos, fontes e parâmetros da teoria. A definição da redefinição multiplicativa dos campos e fontes e parâmetros está escrita em (B.38), com

$$\begin{aligned} \Phi & \in \{A, b, c, \bar{c}\}, \\ \mathcal{J} & \in \{\Omega, L, \lambda, J, \tau, \omega\}, \\ \xi & \in \{g, \zeta, \rho, \beta, \gamma\}. \end{aligned} \quad (4.13)$$

De fato, temos a renormalizabilidade multiplicativa. No caso da constante de acoplamento e do campo de calibre os fatores são dados de acordo com a expressão (3.42), como no caso sem operadores compostos. Da mesma forma os campos de Faddeev-Popov, o campo de Lautrup-Nakanishi e as fontes BRST se renormalizam de acordo com (3.45-3.46). As quantidades LCO associadas ao operador $A_\mu^a A_\mu^a$ também não sofrem alteração, e continuam na forma (3.43-3.44). Para os demais objetos,

$$\begin{aligned} Z_\omega & = Z_A^{1/2}, \\ Z_\tau & = Z_g^{-1/2} Z_A^{3/4}, \\ Z_\beta & = 1 + \epsilon \left(\frac{\rho a_{14}}{\beta} - a_0 - 2a_1 \right), \\ Z_\rho & = 1 + \epsilon (a_{14} - a_0 - 2a_1), \\ Z_\zeta & = 1 + \epsilon (a_8 + 2a_0 + 2a_1), \\ Z_\gamma & = 1 + \epsilon (a_9 - a_0 - a_1). \end{aligned} \quad (4.14)$$

Uma importante observação está no fato de Z_J e Z_ω serem escritos como combinação dos fatores de renormalização do glúon e da constante de acoplamento. Este teorema de não renormalização implica no fato de as dimensões anômalas dos operadores compostos $A_\mu^a A_\mu^a$ e $g f^{abc} \bar{c}^b c^c$ serem expressas como combinações lineares da dimensão anômala do glúon e da função beta, [81, 90].

4.2 One-loop quantum effective action in $\overline{\text{MS}}$ scheme

4.2.1 Initial remarks

Vamos agora calcular a ação efetiva para os condensados $\langle A_\mu^a A_\mu^a \rangle$ e $\langle f^{abc} \bar{c}^b c^c \rangle$.

Uma vez provada a renormalizabilidade, podemos colocar a zero as fontes desnecessárias ao cálculo da ação quântica, $\tau^a = \lambda = \Omega_\mu^a = L^a = 0$. Note que nenhum dos termos dependentes nestas fontes são necessários para o cálculo do potencial efetivo. É importante ressaltar, ainda, que podemos esquecer o termo $\omega^a \partial_\mu A_\mu^a$ na equação (4.4), pois no calibre de Landau $\partial_\mu A_\mu^a = 0$. Contudo, podemos um pouco mais formais e efetuar a transformação de Jacobiano unitário $b' = b + \gamma\omega$ no funcional gerador de diagramas conexos $\mathcal{W}(\omega, J)$, o que leva a eliminação dos parâmetros β e γ .

Temos ainda dois parâmetros LCO livres, ρ e ζ . Como demonstrado em [64, 5, 90], tais parâmetros podem ser fixados através das equações do grupo de renormalização, veja também apêndice B. Lembramos ainda que o valor explícito do contratermo proporcional a ω^a não é afetado pela presença de J e vice versa. Desta forma, os valores previamente determinados para ρ e ζ permanecem os mesmos que os casos isolados estudados no capítulo anterior, [64, 5, 90, 16]. Tais valores são dados por[‡]

$$\begin{aligned} \rho &= \rho_0 + \rho_1 g^2 + \dots, \\ \zeta &= \frac{\zeta_0}{g^2} + \zeta_1 + \dots, \end{aligned} \quad (4.15)$$

onde

$$\begin{aligned} \rho_0 &= -\frac{6}{13}, & \rho_1 &= -\frac{95}{312\pi^2}, \\ \zeta_0 &= \frac{27}{26}, & \zeta_1 &= \frac{161}{52} \frac{3}{16\pi^2}, \end{aligned} \quad (4.16)$$

para o caso $SU(2)$.

A ação relevante para o cálculo d ação efetiva é, portanto,

$$S = S_{YM} + S_{gf} + \int d^4x \left(g f^{abc} \omega^a \bar{c}^b c^c + \frac{1}{2} J A_\mu^a A_\mu^a - \frac{\rho}{2} \omega^a \omega^a - \frac{\zeta}{2} J^2 \right). \quad (4.17)$$

Os termos quadráticos nas fontes, que não são compatíveis com a interpretação da ação quântica como energia do vácuo, podem ser eliminados através de uma transformação de Hubbard-Stratonovich, desta forma [64, 90, 5, 16],

$$\begin{aligned} S_{\sigma\phi}(J, \omega) &= S_{YM} + S_{gf} + \int d^4x \left[\frac{\phi^a \phi^a}{2g^2\rho} + \frac{1}{\rho} \phi^a f^{abc} \bar{c}^b c^c + \frac{g^2}{2\rho} (f^{abc} \bar{c}^b c^c)^2 \right] \\ &+ \int d^4x \left[\frac{\sigma^2}{2g^2\zeta} + \frac{\sigma}{2g\zeta} A_\mu^a A_\mu^a + \frac{1}{8\zeta} (A_\mu^a A_\mu^a)^2 - \omega^a \frac{\phi^a}{g} - J \frac{\sigma}{g} \right], \end{aligned} \quad (4.18)$$

onde as fontes se acoplam linearmente aos campos auxiliares σ e ϕ^a . Ainda, valem as seguintes identificações [64, 90, 5, 16]

$$\begin{aligned} \langle \phi^a \rangle &= -g^2 \langle f^{abc} \bar{c}^a c^b \rangle, \\ \langle \sigma \rangle &= -\frac{g}{2} \langle A_\mu^2 \rangle, \end{aligned} \quad (4.19)$$

[‡]Neste capítulo estaremos sempre utilizando regularização dimensional com a convesão $d = 4 - \epsilon$ e esquema de renormalização $\overline{\text{MS}}$.

Note que a ação (4.18) será multiplicativamente renormalizável e obedecerá a uma equação homogênea do grupo de renormalização.

Assim, a ação efetiva poderá ser calculada através da definição usual da energia do vácuo,

$$e^{-\Gamma} = \int [D\Phi] e^{-S_{\sigma\phi}(J=\omega=0)}, \quad (4.20)$$

onde a medida $[D\Phi] = DADbD\bar{c}DcD\phi D\sigma$ é tomada com relação a todos os campos relevantes.

4.2.2 Quantum action

Para o cálculo explícito do potencial efetivo vamos considerar a aproximação a um laço e vamos nos concentrar, pelo resto deste capítulo, ao caso $SU(2)$. Mostraremos que valores não triviais para os condensados favorecem uma energia de vácuo negativa, independentemente da escala.

Para a ação efetiva a um laço $\Gamma^{(1)}(\sigma, \phi)$, basta considerarmos os termos quadráticos na ação $S_{\sigma\phi}$, (4.18), tomando os campos de Hubbard-Stratonovich como configurações de vácuo estáveis. Assim, a ação quântica a um laço se reduz ao cálculo de

$$\begin{aligned} e^{-\Gamma^{(1)}(\sigma, \phi)} &= \int DAD\bar{c}Dc \exp \left\{ \frac{1}{2} \int d^4x A_\mu^a \left[\delta_{\mu\nu} \left(\partial^2 - \frac{\sigma}{g\zeta} \right) - \left(1 - \frac{1}{\alpha} \right) \partial_\mu \partial_\nu \right] A_\nu^a \right. \\ &\quad \left. - \int d^4x \bar{c}^a \left(\delta^{ac} \partial^2 - \frac{1}{\rho} \phi^b \varepsilon^{abc} \right) c^c - \int d^4x \left(\frac{\phi^a \phi^a}{2g^2\rho} + \frac{\sigma^2}{2g^2\zeta} \right) \right\}, \end{aligned} \quad (4.21)$$

Com regularização dimensional e no esquema $\overline{\text{MS}}$ deduzimos que

$$\Gamma^{(1)}(\sigma, \phi) = \Gamma_{A^2}(\sigma) + \Gamma_{gh}(\phi), \quad (4.22)$$

com [64, 5, 16]

$$\Gamma_{A^2}(\sigma) = \frac{\sigma^2}{2\zeta_0} \left(1 - \frac{\zeta_1}{\zeta_0} g^2 \right) + \frac{3(N^2 - 1)g^2\sigma^2}{64\pi^2 \zeta_0^2} \left(\ln \frac{g\sigma}{\zeta_0 \mu^2} - \frac{5}{6} \right), \quad (4.23)$$

enquanto [90, 16]

$$\Gamma_{gh}(\phi) = \frac{\phi^2}{2g^2\rho_0} \left(1 - \frac{\rho_1}{\rho_0} g^2 \right) + \frac{1}{32\pi^2} \frac{\phi^2}{\rho_0^2} \left(\ln \frac{\phi^2}{\rho_0^2 \mu^4} - 3 \right), \quad (4.24)$$

onde $\phi = \phi^3$, $\phi^a = \phi \delta^{a3}$. Tal decomposição equivale a escolher a configuração de vácuo na direção Abeliãna do espaço de cor, correspondente ao subgrupo de Cartan de $SU(2)$, o qual é gerado pela matriz de Pauli diagonal σ^3 .

As configurações de mínimo, descrevendo o vácuo, são encontradas resolvendo as equações de gap

$$\frac{\partial \Gamma^{(1)}(\sigma, \phi)}{\partial \sigma} = \frac{\partial \Gamma^{(1)}(\sigma, \phi)}{\partial \phi} = 0, \quad (4.25)$$

que resultam em

$$\begin{aligned} \frac{1}{\zeta_0} \left(1 - \frac{\zeta_1}{\zeta_0} g^2 \right) + 2 \frac{9}{64\pi^2} \frac{g^2}{\zeta_0^2} \left(\log \frac{g\sigma}{\zeta_0 \mu^2} - \frac{5}{6} \right) + \frac{9}{64\pi^2} \frac{g^2}{\zeta_0^2} &= 0, \\ \frac{1}{g^2\rho_0} \left(1 - \frac{\rho_1}{\rho_0} g^2 \right) + 2 \frac{1}{32\pi^2} \frac{1}{\rho_0^2} \left(\log \frac{\phi^2}{\rho_0^2 \mu^4} - 3 \right) + 2 \frac{1}{32\pi^2} \frac{1}{\rho_0^2} &= 0, \end{aligned} \quad (4.26)$$

onde (σ_*, ϕ_*) denotam os valores de soluções não triviais. Substituindo as (4.26) na ação efetiva (4.21), encontramos, para a energia do vácuo,

$$E_{\text{vac}} = \Gamma^{(1)}(\sigma_*, \phi_*) = -\frac{9}{128\pi^2} \frac{g^2}{\zeta_0^2} \sigma_*^2 - \frac{1}{32\pi^2} \frac{\phi_*^2}{\rho_0^2}. \quad (4.27)$$

Concluimos que valores não triviais para os condensados são dinamicamente favoráveis, uma vez que a energia do vácuo a um laço é diminuída por estas configurações. Este resultado é independente da escala escolhida.

4.2.3 Renormalization group invariance

Para checar a invariância da ação efetiva a um laço (4.22), primeiro redefinimos algumas quantidades de acordo com

$$\begin{aligned} m^2 &= \frac{g\sigma}{\zeta_0}, \\ \omega &= \frac{\phi}{|\rho_0|}. \end{aligned} \quad (4.28)$$

de forma que a ação efetiva se escreva como

$$\begin{aligned} \Gamma^{(1)}(m^2, \omega) &= \zeta_0 \frac{m^4}{2g^2} \left(1 - \frac{\zeta_1}{\zeta_0} g^2\right) + \frac{3(N^2 - 1)}{64\pi^2} m^4 \left(\ln \frac{m^2}{\mu^2} - \frac{5}{6}\right) - \rho_0 \frac{\omega^2}{2g^2} \left(1 - \frac{\rho_1}{\rho_0} g^2\right) \\ &+ \frac{\omega^2}{32\pi^2} \left(\ln \frac{\omega^2}{\mu^4} - 3\right), \end{aligned} \quad (4.29)$$

De acordo com a técnica LCO, a ação quântica deve obedecer a seguinte EGR

$$\bar{\mu} \frac{d}{d\bar{\mu}} \Gamma^{(1)}(m^2, \omega) = \left[\bar{\mu} \frac{\partial}{\partial \bar{\mu}} + \beta(g^2) \frac{\partial}{\partial g^2} + \gamma_\omega(g^2) \omega \frac{\partial}{\partial \omega} + \gamma_{m^2}(g^2) m^2 \frac{\partial}{\partial m^2} \right] \Gamma^{(1)}(m^2, \omega) = 0. \quad (4.30)$$

onde

$$\begin{aligned} \bar{\mu} \frac{\partial m^2}{\partial \bar{\mu}} &= \gamma_{m^2}(g^2) m^2, \\ \bar{\mu} \frac{\partial \omega}{\partial \bar{\mu}} &= \gamma_\omega(g^2) \omega, \end{aligned} \quad (4.31)$$

Das expressões (4.13) e das definições (4.28) é fácil deduzir que

$$\begin{aligned} \gamma_{m^2}(g^2) &= \frac{\beta(g^2)}{2g^2} - \gamma_A(g^2), \\ \gamma_\omega(g^2) &= \frac{\beta(g^2)}{2g^2} + \gamma_A(g^2). \end{aligned} \quad (4.32)$$

Utilizando as expressões (4.16), juntamente com os valores a um laço da função beta e da dimensão anômala do glúon, (veja, por exemplo, [125])

$$\begin{aligned} \beta^{(1)}(g^2) &= -\frac{22}{3} \frac{g^4 N}{16\pi^2}, \\ \gamma_A^{(1)}(g^2) &= -\frac{13}{6} \frac{g^2 N}{16\pi^2}, \end{aligned} \quad (4.33)$$

é trivial checar a validade da equação (4.29).

4.2.4 Numerical results

Vimos na expressão (4.27) que a formação de ambos os condensados é favorecida, devido ao valor negativo da energia do vácuo, independentemente da escala escolhida. Contudo, devemos ser capazes de encontrar uma solução consistente das equações de gap (4.26) para confirmar este resultado formal. Para tal, devemos lidar com o problema de termos agora duas escalas de massa e, conseqüentemente, dois tipos de logaritmos potencialmente grandes. Este problema foi resolvido tecnicamente em [16], onde os detalhes podem ser encontrados. Fundamentalmente, utilizamos a invariância sob o grupo de renormalização para ressomar os logaritmos dominantes na ação efetiva. Ainda, este procedimento pode ser feito separadamente para m^2 e ω pois estes setores não se misturam na aproximação de um laço. Esta propriedade pode ser utilizada para definir cada escala separadamente pois teremos duas expansões totalmente independentes. Desta forma, cada setor obedece a uma EGR independente. Assim, de acordo com [16], podemos trabalhar com dois parâmetros de expansão, cujos valores são dados pela solução das equações de gap após a ressonância dos logaritmos dominantes

$$\begin{aligned} \left. \frac{\bar{g}^2 N}{16\pi^2} \right|_{N=2} &= \frac{9}{37} \approx 0.243, \\ \left. \frac{\tilde{g}^2 N}{16\pi^2} \right|_{N=2} &= \frac{36}{385} \approx 0.094, \end{aligned} \quad (4.34)$$

onde as quantidades \bar{g} são calculadas na escala $\bar{\mu} = m^2$ enquanto quantidades \tilde{g} são calculadas na escala $\tilde{\mu} = \omega$. Assim, da expressão a um laço do esquema $\overline{\text{MS}}$

$$g^2(\bar{\mu}) = \frac{1}{\beta_0 \ln \frac{\bar{\mu}^2}{\Lambda_{\overline{\text{MS}}}^2}}, \quad (4.35)$$

juntamente com as soluções das equações de gap (4.34), obtemos as estimativas

$$\begin{aligned} \bar{m}^2 &= e^{\frac{37}{33}} \Lambda_{\overline{\text{MS}}}^2 \approx 3.07 \Lambda_{\overline{\text{MS}}}^2, \\ \tilde{\omega} &= e^{\frac{35}{12}} \Lambda_{\overline{\text{MS}}}^2 \approx 18.48 \Lambda_{\overline{\text{MS}}}^2, \end{aligned} \quad (4.36)$$

Para a energia do vácuo, (4.27), obtemos

$$E_{\text{vac}} \approx -1.15 \Lambda_{\overline{\text{MS}}}^4. \quad (4.37)$$

Os parâmetros de expansão (4.34), sendo relativamente pequenos, nos fornecem resultados bastante confiáveis. Contudo, uma análise a mais ordens na expansão em laços é necessária para confirmar e melhorar nossos resultados.

4.3 Consequences of non-trivial condensates

Vamos agora analisar algumas conseqüências físicas que ocorrem devido a presença dos condensados $\langle A_\mu^a A_\mu^a \rangle$ e $\langle \varepsilon^{abc} \tilde{c}^b c^c \rangle$. Em particular, vamos discutir a transversalidade do propagador do glúon e da polarização do vácuo. Faremos a análise através de identidades de Ward. Veremos também que há uma quebra de degenerescência no espectro de massa do glúon. Para tal é conveniente fazermos algumas observações a cerca da ação efetiva.

De fato, devido ao fato de a transformação de Hubbard-Stratonovich ser um mapeamento exato, a ação

$$S_{\sigma\phi} = S_{YM} + S_{gf} + S_\sigma + S_\phi, \quad (4.38)$$

onde S_σ é dado por (3.53) e S_ϕ por

$$S_\phi = \int d^4x \left[\frac{\phi^a \phi^a}{2g^2 \rho} + \frac{1}{\rho} \varepsilon^{abc} \phi^a \bar{c}^b c^c + \frac{g^2}{2\rho} (\varepsilon^{abc} \bar{c}^b c^c)^2 \right], \quad (4.39)$$

possui invariância BRST. Esta propriedade é facilmente estabelecida decompondo os campos de Hubbard Stratonovich em termos de flutuações quânticas em torno do condensado de vácuo, isto é

$$\begin{aligned} \sigma &= \sigma_* + \tilde{\sigma}, \\ \phi^a(x) &= \delta^{a3} \phi_* + \tilde{\phi}^a(x), \\ \langle \tilde{\phi}^a(x) \rangle &= 0. \end{aligned} \quad (4.40)$$

Para as transformações BRST obtemos

$$\begin{aligned} s\sigma &= s\tilde{\sigma} = g A_\mu^a \partial_\mu c^a, \\ s\sigma_* &= 0, \\ s\phi^a &= s\tilde{\phi}^a = -g^2 s(\varepsilon^{abc} \bar{c}^b c^c) = -g^2 (\varepsilon^{abc} b^b c^c + \frac{g}{2} \varepsilon^{abc} \varepsilon^{cmn} \bar{c}^b c^m c^n), \\ s\phi_* &= 0, \end{aligned} \quad (4.41)$$

que, juntamente com as eqs. (1.5), definem uma invariância exata da ação $S_{\sigma\phi}$

$$sS_{\sigma\phi} = 0. \quad (4.42)$$

Outra importante observação está na escolha do condensado e suas flutuações na forma (4.40). Esta escolha sugere um desacoplamento nos setores Abelianos e não-Abelianos do grupo $SU(2)$. De fato, a expressão (4.40) sugere que façamos a decomposição do índice de cor como $a = \{3, A\}$ com $A \in \{1, 2\}$. E o campo ϕ^a se decompõe como $\phi^a = \{\phi^3, \phi^A\} = \{\phi, \phi^A\}$. Desta forma

$$\begin{aligned} \phi(x) &= \phi_* + \tilde{\phi}(x), \\ \phi^A(x) &= \tilde{\phi}^A(x), \end{aligned} \quad (4.43)$$

Substituindo as definições (4.40) e (4.43) na ação (4.38), temos que

$$\begin{aligned} S_{\sigma\phi} &= S_{YM} + S_{gf} + \int d^4x \left[\frac{\sigma_*^2}{2g^2 \zeta} + \frac{\phi_*^2}{2g^2 \rho} + \frac{\sigma_* \tilde{\sigma}}{g^2 \zeta} + \frac{\phi_* \tilde{\phi}}{g^2 \rho} + \frac{\tilde{\sigma}^2}{2g^2 \zeta} + \frac{\tilde{\phi}^A \tilde{\phi}^A}{2g^2 \rho} + \frac{1}{2} \frac{\sigma_*}{g\zeta} A_\mu^a A_\mu^a \right. \\ &\quad \left. + \frac{1}{\rho} \phi_* \varepsilon^{AB} \bar{c}^A c^B + \frac{1}{2} \frac{\tilde{\sigma}}{g\zeta} A_\mu^a A_\mu^a + \frac{1}{\rho} \tilde{\phi}^a \varepsilon^{abc} \bar{c}^b c^c + \frac{g^2}{2\rho} (\varepsilon^{abc} \bar{c}^b c^c)^2 + \frac{1}{8\zeta} (A_\mu^a A_\mu^a)^2 \right], \end{aligned} \quad (4.44)$$

Vemos assim, que no nível árvore o propagador fantasma já apresenta tal decomposição, devido a presença de um condensado Overhauser não trivial. Para ficar evidente, vamos escrever os propagadores a ordem zero, no vácuo não trivial. No caso do propagador do glúon temos, [64, 5],

$$D_{\mu\nu}^{ab}(k) = \delta^{ab} \frac{1}{k^2 + m^2} \left(\delta_{\mu\nu} - \frac{k_\mu k_\nu}{k^2} \right). \quad (4.45)$$

Vemos que o parâmetro m^2 , definido em (4.28), corresponde a uma massa gerada dinamicamente para o glúon, no nível árvore. Para o propagador dos campos fantasmas temos, [90],

$$\begin{aligned} G^{33}(k) &= \frac{1}{k^2}, \\ G^{AB}(k) &= \frac{\delta^{AB} k^2 - \omega \varepsilon^{AB}}{k^4 + \omega^2}, \end{aligned} \quad (4.46)$$

4.3.1 Transversality analysis

Gluon propagator

Para mostrar que o propagador do glúon permanece transverso consideramos o gerador funcional das funções de Green conexas Z^c , obtido a partir da ação quântica Γ através de uma transformação de Legendre. Temos então a inclusão das fontes de Schwinger I_b^a , J_μ^a e K_c^a , para os campos b^a , A_μ^a e c^a , respectivamente. A ação efetiva Γ obedece a seguinte identidade de Ward

$$\frac{\delta \Gamma}{\delta b^a} = \partial_\mu A_\mu^a + g^2 \varepsilon^{abc} F^b c^c, \quad (4.47)$$

que se transforma, para o funcional Z^c , em

$$I_b^a = \partial_\mu \frac{\delta Z^c}{\delta J_\mu^a} + g^2 \varepsilon^{ade} F^d \frac{\delta Z^c}{\delta K_c^e}, \quad (4.48)$$

de onde derivamos facilmente a relação de transversalidade do propagador do glúon, a todas as ordens em teoria de perturbações

$$0 = \partial_\mu^x \frac{\delta^2 Z^c}{\delta J_\mu^a(x) \delta J_\mu^b(y)} \Big|_{F, I, J, K=0}. \quad (4.49)$$

Vacuum polarization

Para o estudo da polarização do vácuo vamos utilizar a identidade de Slavnov-Taylor para a ação quântica Γ . Assim, de forma a escrevermos uma identidade de Slavnov-Taylor consistente com o PAQ, veja [48] e apêndice B, adicionamos à ação (4.38) um termo de fontes BRST invariantes acopladas às variações BRST não lineares,

$$S''_{ext} = \int d^4x \left(\Omega_\mu^a s A_\mu^a + L^a s c^a + R s \sigma + F^a s \tilde{\phi}^a \right), \quad (4.50)$$

A ação completa

$$\Sigma_{\sigma\phi} = S_{\sigma\phi} + S''_{ext}, \quad (4.51)$$

obedece a uma identidade de Slavnov-Taylor, também válida no nível quântico, de forma que

$$\mathcal{S}(\Gamma) = \int d^4x \left(\frac{\delta \Gamma}{\delta \Omega_\mu^a} \frac{\delta \Gamma}{\delta A_\mu^a} + \frac{\delta \Gamma}{\delta L^a} \frac{\delta \Gamma}{\delta c^a} + \frac{\delta \Gamma}{\delta R} \frac{\delta \Gamma}{\delta \sigma} + \frac{\delta \Gamma}{\delta F^a} \frac{\delta \Gamma}{\delta \tilde{\phi}^a} + b^a \frac{\delta \Gamma}{\delta \bar{c}^a} \right) = 0, \quad (4.52)$$

onde

$$\Gamma = \Sigma_{\sigma\phi} + \epsilon \Sigma_{\sigma\phi}^{(1)} + \epsilon^2 \Sigma_{\sigma\phi}^{(2)} + \dots \quad (4.53)$$

Considerando a aproximação a primeira ordem em ϵ e atuando em (4.52) com o operador teste

$$\frac{\delta^2}{\delta c^a(x) \delta A_\nu^b(y)} \quad (4.54)$$

e colocando todos os campos e fontes a zero, $A_\mu^a = \Omega_\mu^a = c^a = L^a = \tilde{\phi}^a = R = F^a = b^a = \bar{c}^a = 0$, obtemos a seguinte identidade de Ward para a polarização do vácuo

$$\begin{aligned} \partial_\mu^x \frac{\delta^2 \Gamma^{(1)}}{\delta A_\mu^a(x) \delta A_\nu^b(y)} &= \frac{\phi_*}{\rho_0} \frac{\delta^2 \left[\int d^4z \left(\varepsilon^{3np} b^n c^p \right)_z \cdot \Gamma \right]^{(1)}}{\delta c^a(x) \delta A_\nu^b(y)} \\ &+ \frac{\sigma_*}{g\zeta_0} \frac{\delta^2 \left[\int d^4z \left(A_\alpha^a \partial_\alpha c^a \right)_z \cdot \Gamma \right]^{(1)}}{\delta c^a(x) \delta A_\nu^b(y)}. \end{aligned} \quad (4.55)$$

O lado direito da expressão (4.55) sugere a quebra da transversalidade devido a presença dos condensados Overhauser e de gluons. Contudo o último termo, associado ao condensado de gluons, é nulo, devido a transversalidade do propagador do glúon no nível árvore. Para argumentar sobre isso consideremos a transversalidade do propagador do glúon (4.49), que segue da condição $\partial_\mu A_\mu^a = 0$. Portanto o segundo termo em (4.55), proporcional ao condensado σ_* , é, de fato, nulo. Isto porque temos a presença de gluons internos se propagando na expansão em laços, sempre acompanhados de quadridivergências. Um cálculo explícito a um laço conduzirá à confirmação deste resultado. Desta forma, temos

$$\partial_\mu^x \frac{\delta^2 \Gamma^{(1)}}{\delta A_\mu^a(x) \delta A_\nu^b(y)} = \frac{\phi_*}{\rho_0} \frac{\delta^2 \left[\int d^4 z (\varepsilon^{3np} b^n c^p)_z \cdot \Gamma \right]^{(1)}}{\delta c^a(x) \delta A_\nu^b(y)} = \phi_* \mathcal{K}_\nu^{ab}(x, y). \quad (4.56)$$

O lado esquerdo da expressão (4.56) representa a polarização do vácuo enquanto que $\mathcal{K}_\nu^{ab}(x, y)$ representa a função de Green *1PI* com inserção do operador composto $\int d^4 z (\varepsilon^{3np} b^n c^p)_z$, com um glúon e um fantasma amputados externamente.

Devido a invariância de Lorentz, podemos escrever a transformada de Fourier da identidade de Ward (4.56) como[§]

$$p_\mu \Pi_{\mu\nu}^{ab}(p, \omega) = \omega a^{ab}(p, \omega) p_\nu, \quad (4.57)$$

onde $\Pi_{\mu\nu}^{ab}(p, \omega)$ é a polarização do vácuo. Esta identidade de Ward mostra formalmente que a polarização do vácuo deixa de ser transversa devido a presença do condensado Overhauser, a um laço. Note ainda que o condensado σ_* não quebra a transversalidade da polarização do vácuo. Veremos mais adiante a confirmação deste resultado formal quando calcularmos a massa dinâmica do glúon explicitamente, veja [16], a um laço.

Poles of the gluon propagator

Para analisar os pólos do propagador do glúon, reescrevemos a identidade de Ward (4.57) na forma

$$p_\mu \left[\Pi_{\mu\nu}^{ab}(p, \omega) - a^{ab}(p, \omega) \delta_{\mu\nu} \right] = 0, \quad (4.58)$$

Utilizando esta relação para o cálculo do fator de forma do glúon a um laço pode-se deduzir que

$$\frac{1}{9} \langle A_\mu^a(p) A_\mu^a(-p) \rangle_{(1)} = \frac{1}{p^2 + m^2 + \frac{\Pi^{aa}(p, \omega) + a^{aa}(p, \omega)}{3}}, \quad (4.59)$$

onde foi utilizada a decomposição

$$\Pi_{\mu\nu}^{ab}(p, \omega) = \left(\delta_{\mu\nu} - \frac{p_\mu p_\nu}{p^2} \right) \Pi^{ab}(p, \omega) + a^{ab}(p, \omega) \delta_{\mu\nu}. \quad (4.60)$$

e a soma sobre os índices de cor é assumida. Da expressão (4.59) concluímos que ambos condensados afetam o polo do propagador do glúon. Além disso, o polo é afetado pela quebra de transversalidade da polarização do vácuo. Contudo, essa não é toda a história. Da expressão dos propagadores fantasmas (4.46) vemos que a um laço, teremos diferentes contribuições nos setores Abeliano e não Abeliano. Devido a isso, é conveniente decompor a identidade (4.58) da mesma forma. Portanto, escrevemos a polarização do vácuo como,

$$\begin{aligned} \Pi_{\mu\nu}^{33}(p, \omega) &= \left(\delta_{\mu\nu} - \frac{p_\mu p_\nu}{p^2} \right) \Pi(p, \omega) + a(p, \omega) \delta_{\mu\nu}, \\ \Pi_{\mu\nu}^{AB}(p, \omega) &= \delta^{AB} \left[\left(\delta_{\mu\nu} - \frac{p_\mu p_\nu}{p^2} \right) \tilde{\Pi}(p, \omega) + \tilde{a}(p, \omega) \delta_{\mu\nu} \right], \end{aligned} \quad (4.61)$$

[§]Lembramos que $\omega \propto \phi_*$.

veja os detalhes em [16]. Desta forma a componente Abelianas do propagador do glúon se escreve como

$$\langle A_\mu^3(p) A_\nu^3(-p) \rangle_{(1)} = \frac{1}{p^2 + m^2 + \Pi(p, \omega) + a(p, \omega)} \left(\delta_{\mu\nu} - \frac{p_\mu p_\nu}{p^2} \right), \quad (4.62)$$

enquanto que as componentes não Abelianas ficam na forma

$$\langle A_\mu^A(p) A_\mu^A(-p) \rangle_{(1)} = \frac{\delta^{AB}}{p^2 + m^2 + \tilde{\Pi}(p, \omega) + \tilde{a}(p, \omega)} \left(\delta_{\mu\nu} - \frac{p_\mu p_\nu}{p^2} \right), \quad (4.63)$$

Lembrando que, evidentemente,

$$\langle A_\mu^3(p) A_\nu^A(-p) \rangle_{(1)} = 0, \quad (4.64)$$

É evidente que $\Pi \neq \tilde{\Pi}$. Concluímos assim que a quebra da transversalidade não só afeta o polo dos propagadores como, devido a escolha da direção do condensado no espaço de cor, existe uma diferença nestes pólos, entre os setores Abelianos e não Abelianos, indicando uma quebra da degenerescência da massa dinâmica do glúon. Veremos a seguir como esta diferença gera efeitos físicos não triviais. Note ainda que, como demonstrado formalmente anteriormente, existe a confirmação de que o propagador é transversal.

4.4 Dynamical mass computation

Vamos agora apresentar os resultados explícitos através de um roteiro que facilitará o entendimento do cálculo da contribuição dos condensados para a massa do glúon. Os detalhes deste cálculo pode ser encontrado em [16].

É importante ter em mente que a definição de massa aqui considerada é a massa efetiva obtida através da polarização do vácuo a momento nulo. Esta escolha é feita pois a massa como polo do propagador exige o conhecimento da polarização do vácuo a momento p , que de fato, é muito difícil de se obter no presente caso, veja [16] para uma discussão mais detalhada. Lembramos que o estudo da massa como polo do propagador foi feito [100, 101], com o método LCO, contudo, este estudo está além da ambição desta tese.

4.4.1 Contributions

Para a contribuição de um laço para a massa teremos que calcular a contribuição dos campos de Faddeev-Popov, $[\Pi_{\mu\nu}^{ab}(0)]_{\text{gh}}$, bem como a contribuição do laço de gluons, $[\Pi_{\mu\nu}^{ab}(0, \omega)]_{\text{gl}}$. Neste último, temos ainda a contribuição das flutuações do condensado σ_* , através do vértice $\tilde{\sigma} A^2$. Note que estes diagramas deixam de ser nulos no caso em que o propagador do glúon é massivo.

Começemos pela componente de gluons. Tal cálculo pode ser encontrado em [100, 101], para o caso geral N . Adaptando este resultado para o caso $N = 2$ e tomando o limite $p^2 = 0$, chegamos a

$$[\Pi_{\mu\nu}^{ab}(0)]_{\text{gl}} = \frac{g^2}{16\pi^2} m^2 \left(-\frac{7}{48} + \frac{17}{8} \ln \frac{m^2}{\mu^2} \right) \delta^{ab} \delta_{\mu\nu}. \quad (4.65)$$

No caso da contribuição da componente fantasma, vimos que a decomposição Abelianas é necessária. De acordo com [16], o setor não Abelianos corresponde a

$$[\Pi_{\rho\rho}^{AB}(0)]_{\text{gh}} = -g^2 \varepsilon^{Amn} \varepsilon^{Bpq} \int \frac{d^d k}{(2\pi)^d} k^2 \langle \bar{c}^m c^a \rangle_k \langle \bar{c}^p c^n \rangle_k = 2g^2 \delta^{AB} \int \frac{d^d k}{(2\pi)^d} \frac{k^4}{k^2 (k^4 + \omega^2)}, \quad (4.66)$$

o que resulta em

$$[\Pi_{\rho\rho}^{AB}(0)]_{\text{gh}} = -\delta^{AB} \frac{\omega g^2}{16\pi}. \quad (4.67)$$

Finalmente, o setor Abelian, é obtido através de, veja [16],

$$[\Pi_{\rho\rho}^{33}(0)]_{\text{gh}} = -g^2 \int \frac{d^d k}{(2\pi)^d} \frac{k^2}{(k^4 + \omega^2)^2} (-2k^4 + 2\omega^2). \quad (4.68)$$

De onde é fácil deduzir que

$$[\Pi_{\rho\rho}^{33}(0)]_{\text{gh}} = \frac{g^2 \omega}{8\pi}. \quad (4.69)$$

Chamamos a atenção para o fato de $[\Pi_{\rho\rho}^{33}(0)]_{\text{gh}} \neq [\Pi_{\rho\rho}^{AB}(0)]_{\text{gh}}$, confirmando o argumento apresentado anteriormente que o condensado $\langle \varepsilon^{abc} \bar{c}^b c^c \rangle$ quebra a degenerescência da massa do glúon. Note ainda que, este resultado está de acordo com o resultado obtido no calibre de Curci-Ferrari [111], onde a componente Abeliana é duas vezes maior que a componente não Abeliana.

4.4.2 Results and interpretations

Como observado em [89, 111], a contribuição dos condensados fantasmas para a massa do glúon é negativa. Desta forma, se levarmos em consideração apenas os condensados fantasmas, teremos, a um laço, uma massa dinâmica taquiônica para o glúon. Contudo, a contribuição devido ao condensado $A_\mu^a A_\mu^a$ é positiva. Estes efeitos, de fato, se compensam e resultam em massas positivas,

$$\begin{aligned} m_{\text{Ab}}^2 &= m^2 + \delta m^2 - \frac{g^2 \omega}{32\pi}, \\ m_{\text{nAb}}^2 &= m^2 + \delta m^2 - \frac{g^2 \omega}{64\pi}, \end{aligned} \quad (4.70)$$

onde m_{Ab} e m_{nAb} representam, respectivamente, as massas de glúons Abelianos e não Abelianos. A quantidade δm^2 representa a contribuição proveniente de diagramas de glúons, extraído da expressão (4.65),

$$\delta m^2 = \frac{g^2}{16\pi^2} m^2 \left(-\frac{7}{48} + \frac{17}{8} \ln \frac{m^2}{\mu^2} \right). \quad (4.71)$$

Observe que independentemente da escala escolhida temos a relação

$$m_{\text{nAb}}^2 > m_{\text{Ab}}^2, \quad (4.72)$$

Como discutido no cálculo da energia do vácuo, teremos que lidar com o problema da existência de duas escalas de massa. O mesmo tratamento pode ser feito para o presente cálculo, de forma que os valores explícitos são calculados através de

$$\begin{aligned} m_{\text{Ab}}^2 &= \bar{m}^2 + \frac{\bar{g}^2}{16\pi^2} \bar{m}^2 \left(-\frac{7}{48} \right) - \frac{\bar{g}^2 \tilde{\omega}}{32\pi}, \\ m_{\text{nAb}}^2 &= \bar{m}^2 + \frac{\bar{g}^2}{16\pi^2} \bar{m}^2 \left(-\frac{7}{48} \right) - \frac{\bar{g}^2 \tilde{\omega}}{64\pi}, \end{aligned} \quad (4.73)$$

Substituindo os valores (4.36) em (4.73), chegamos a

$$\begin{aligned} m_{\text{Ab}}^2 &\approx 1.66 \Lambda_{\overline{\text{MS}}}^2, \\ m_{\text{nAb}}^2 &\approx 2.34 \Lambda_{\overline{\text{MS}}}^2, \end{aligned} \tag{4.74}$$

A relação (4.72) é, usualmente, interpretada como uma evidência da dominância Abeliana. Por exemplo, no caso do MAG, este efeito é observado, [126, 127, 108, 7, 15, 20, 23, 25]. Analogamente, podemos interpretar a relação (4.72) juntamente com os valores numéricos consistentes com o grupo de renormalização (4.74) como uma indicação da dominância Abeliana no calibre de Landau[¶]. Ressaltamos que no caso do MAG, a decomposição nos setores Abeliano e não Abeliano é efetuada diretamente na fixação de calibre. No caso do calibre de Landau, não existe esta quebra do grupo *a priori*, o torna o efeito da quebra de degenerescência um resultado extremamente forte.

[¶]Infelizmente, até nosso conhecimento, um valor numérico explícito para $\Lambda_{\overline{\text{MS}}}^{N=2;N_f=0}$ está ainda indisponível na literatura. Isso impossibilita uma estimativa exata das massas (4.74).

Part III

GRIBOV AMBIGUITIES

Chapter 5

Preliminary notions

O trabalho original de Gribov, [67], chama a atenção para o fato de que o processo de quantização das teorias de Yang-Mills falha num determinado momento, veja [12] para uma introdução pedagógica sobre o assunto. Gribov mostrou que o método de Faddeev-Popov, [43], funciona muito bem para tratar problemas quânticos perturbativos. Contudo, ao ir para o regime não-perturbativo, o método de Faddeev-Popov resulta ser incompleto. De fato, o problema de Gribov é caracterizado pelo fato de que o procedimento de fixação de calibre para eliminar os graus de liberdade não físicos da teoria não é suficiente para se obter uma quantização consistente. De fato, ao sair do regime perturbativo detecta-se ainda uma simetria de calibre residual identificada através das chamadas cópias de Gribov.

Gribov, ainda em seu trabalho original [67], aperfeiçoou o método de quantização de Faddeev-Popov [43] para o caso específico dos calibres de Landau e Coulomb. Sua solução consiste em restringir o domínio de integração do espaço funcional dos campos de calibre para uma região onde exista um número menor de cópias de Gribov, a chamada primeira região de Gribov ou simplesmente região de Gribov. O efeito físico desta restrição se reflete nos propagadores da teoria. O propagador do glúon mostra-se suprimido na região de baixas energias enquanto o propagador dos campos de Faddeev-Popov se torna mais singular, nesta região de energia, quando comparada à predição perturbativa. Esta singularidade caracteriza a existência de forças de longo alcance quando no regime de baixas energias, impredicíveis para o fenômeno do confinamento da cor. Ainda, os pólos do propagador do glúon deixam de ser reais, quando se leva em conta a restrição de Gribov, evidenciando o caráter não observacional dos campos de calibre, eliminando-os do espectro físico da teoria, como deve ser para objetos confinados.

Com isso Gribov mostrou que o problema do confinamento está diretamente relacionado com o processo de quantização das teorias de Yang-Mills, ou seja, as cópias de Gribov estão presentes exatamente na região de baixas energias, onde o regime é caracterizado pelo acoplamento forte e a teoria de perturbação não é mais válida. Desta forma, uma compreensão mais apurada dos aspectos da quantização das teorias de Yang-Mills são uma necessidade para a compreensão do confinamento.

Apesar de o tratamento de Gribov ter sido feito essencialmente nos calibres de Landau e Coulomb, a existência das ambigüidades de Gribov é uma patologia presente em qualquer calibre e qualquer teoria de calibre topologicamente não trivial. De fato, Singer mostrou formalmente, [72], que as ambigüidades de Gribov ocorrem devido ao fato de as teorias de Yang-Mills serem não triviais sob o ponto de vista topológico*. Ou seja, fixar o calibre não é um passo possível globalmente, no sentido de englobar todo o espaço funcional, sendo possível apenas localmente. Matematicamente, para se quantizar as teorias de Yang-Mills, devemos definir uma seção no fibrado principal. Isto só é possível se o fibrado principal for trivial, o que não é verdade no caso das teorias de Yang-Mills.

*Veja [38, 128, 129] para a explicação da geometria por trás das teorias de Yang-Mills.

Após a descoberta das ambigüidades de Gribov, uma série de trabalhos [114, 130, 131, 132, 116, 86, 115, 117, 87, 133] fez com que um grande avanço no entendimento da região de Gribov fosse desenvolvido. A região de Gribov, no calibre de Landau, ainda possui cópias dentro dela [114, 116, 117, 118]. Mas a restrição não é inconsistente pois, de fato, toda órbita de calibre passa pelo menos uma vez na região de Gribov. Esta importante propriedade, demonstrada em [130, 131, 132], diz que, mesmo que a restrição à primeira região de Gribov não elimine todas as cópias, uma grande parte delas é eliminada, tudo fora da região de Gribov são cópias de Gribov, portanto, configurações de campo não físicas. Descobriu-se também a existência de uma região que seria mais fundamental que a região de Gribov, a chamada região modular fundamental (RMF), [114, 116, 117, 118]. Esta região seria então livre de cópias, exceto por sua borda. As cópias da borda da RMF seriam então identificadas e a topologia desta nova região seria por demais complexa, mas, enfim, uma região livre de cópias. Contudo, trabalhar com essa região é algo não trivial, e sua implementação à teoria de modo eficaz ainda é um problema a ser resolvido. Uma tentativa de implementar a restrição a RMF foi feita, com relativo sucesso, em [118], na formulação Hamiltoniana.

Em particular, o estudo da primeira região de Gribov permitiu que a restrição a esta região fosse implementada na integral de caminho de forma local e renormalizável, no calibre de Landau/Coulomb, [86, 87, 88]. Isto significa que, no calibre de Landau, existe uma Lagrangiana que descreve as teorias de Yang-Mills onde a integral de caminho possui domínio de integração igual a região de Gribov, eliminando, portanto, muitas das cópias de Gribov. Esta Lagrangiana possui as propriedades básicas essenciais para se efetuar cálculos, isto é, local, renormalizável e obedece ao grupo de renormalização. Contudo, tentativas de cálculos reais, [11, 134, 135] a um e dois laços não se mostraram tão simples assim, reforçando a idéia de que o problema de Gribov e sua solução são de caráter essencialmente não perturbativo. Contudo, o caráter qualitativo dos resultados são consistentes com os cálculos numéricos feitos na rede [74, 75, 76, 77, 78, 79, 80] bem como cálculos utilizando as equações de Schwinger-Dyson [63].

Ainda no calibre de Landau, foi estudada a compatibilidade da ação de Gribov-Zwanziger com a geração dinâmica de massa, [6, 8, 11]. Nestes trabalhos, os resultados são compatíveis com as previsões da rede [74, 75, 76, 77, 78, 79, 80] e das equações de Schwinger-Dyson [63]. Ou seja, o propagador do glúon permanece suprimido na região infravermelha, sendo esta supressão ainda mais forte quando se leva em conta a geração dinâmica de massa. Ao mesmo tempo, o propagador do ghost continua mais singular que a previsão perturbativa.

É importante ressaltar que pouco foi feito com relação às ambigüidades de Gribov em outros calibres que não os calibres de Landau e Coulomb. Recentemente, estudos destes problemas foram feitos nos calibres lineares covariantes [14] encontrando supressão do propagador do glúon transversal devido ao horizonte de Gribov e supressão do propagador longitudinal do glúon devido à geração dinâmica de massa. Ainda, uma quantidade associada a restrição do domínio de integração se mostra mais singular que a previsão perturbativa. Esta quantidade possui o mesmo papel que o propagador do ghost no calibre de Landau. Ainda, este resultado, obtido analiticamente, está em acordo qualitativo com a previsão numérica calculada utilizando-se os métodos da QCD na rede, [136, 137, 138]. Neste capítulo dedicaremos uma seção a este tópico, devido ao fato de os calibres lineares covariantes serem a generalização linear natural do calibre de Landau.

Outro calibre explorado com relação às ambigüidades de Gribov é o calibre máximo Abelian, o chamado MAG [71], no caso de $SU(2)$. Em [139, 140] as propriedades básicas das cópias de Gribov no MAG são discutidas em detalhe. Em [15], seguindo a prescrição do trabalho original de Gribov, [67], a influência do horizonte nos propagadores dos campos fundamentais das teorias de Yang-Mills são discutidos no nível árvore, encontrando resultados em completo acordo qualitativo com as previsões da rede, vide [141, 142, 126, 127]. Em particular, o propagador do glúon diagonal apresenta uma supressão na região infravermelha devido ao horizonte de Gribov enquanto os propagadores não diagonais são suprimidos devido apenas à geração dinâmica de massa.

Os resultados expostos até agora neste capítulo são todos obtidos a temperatura zero. Somente muito recentemente, o horizonte de Gribov e sua influência nas teorias de Yang-Mills foram estudados analiticamente à temperatura finita. Como resultado, obtém-se um equação de estado para o plasma de quarks e gluons [143, 144]. Este resultado não só está de acordo com os resultados anteriores [145, 146, 147], como os aperfeiçoam.

É importante ter em mente que um resultado final ainda não está estabelecido. Até o presente momento, não sabemos como se quantizar as teorias de Yang-Mills de maneira completa e eficiente. Da mesma forma, e diretamente relacionado, está o fato de que um método não perturbativo completo não está ainda estabelecido.

Vamos rever a problemática de Gribov pelo resto deste capítulo. Discutiremos os principais pontos relativos às ambigüidades na quantização de Faddeev-Popov [43] e como esse problema se reflete na teoria. Revisaremos a solução proposta por Gribov [67, 12] e em seguida o aperfeiçoamento desta desenvolvido por Zwanziger, obtendo uma formulação local e renormalizável das teorias de Yang-Mills livre de um grande número de cópias de calibre. Como na parte anterior vamos nos ater ao calibre de Landau a temperatura nula.

5.1 Gribov problem

5.1.1 Gribov copies

A quantização das teorias de Yang-Mills pode ser efetuada, por exemplo, através do método de Faddeev-Popov [43]. Neste procedimento a integral de caminho apropriada para descrever quanticamente a teoria, ou seja, com o vínculo garantindo a imposição do calibre de Landau,

$$\partial_\mu A_\mu^a = 0, \quad (5.1)$$

é

$$Z = \int DA \delta(\partial_\mu A_\mu^a) \det(\mathcal{M}^{ab}) e^{-S_{YM}}, \quad (5.2)$$

onde \mathcal{M}^{ab} é o operador de Faddeev-Popov, dado por,

$$\mathcal{M}^{ab} = -\partial_\mu D_\mu^{ab}. \quad (5.3)$$

Gribov mostrou, em [67], que a condição (5.1) não fixa o calibre univocamente. Ou seja, para uma dada configuração A_μ obedecendo ao calibre de Landau, existe uma configuração equivalente \tilde{A}_μ , que também obedece ao calibre de Landau, ou seja,

$$\begin{aligned} \tilde{A}_\mu &= A_\mu + U^\dagger D_\mu U, \\ \partial_\mu \tilde{A}_\mu &= \partial_\mu A_\mu = 0. \end{aligned} \quad (5.4)$$

A configuração \tilde{A}_μ é chamada de *cópia de Gribov* associada ao campo A_μ . Substituindo a primeira das (5.4) na segunda, chegamos à relação

$$\partial_\mu (U^\dagger D_\mu U) = 0. \quad (5.5)$$

A equação (5.5) é a *equação das cópias*, ou seja, as soluções desta equação para os elementos do grupo U definem a existência de cópias para uma dada configuração A_μ . Exemplos de cópias de Gribov podem ser encontradas, por exemplo, no trabalho original de Gribov [67] e em [148].

A equação (5.5) define todas as possíveis cópias de Gribov associadas à configuração A_μ . No caso de cópias muito próximas, nos restringimos a transformações infinitesimais. Neste caso, é trivial mostrar que, à primeira ordem, a equação das cópias (5.4) se resume a

$$\mathcal{M}^{ab}\omega^b = 0, \quad (5.6)$$

onde \mathcal{M}^{ab} é o operador de Faddeev-Popov (5.3) e ω^a o parâmetro da transformação de calibre[†].

5.1.2 Gribov region and Gribov horizon

A equação de cópias infinitesimais (5.6) fornece importantes informações sobre como as cópias de Gribov se arrumam no espaço funcional dos campos de calibre. Primeiramente, vemos que as cópias infinitesimais aparecem onde o operador de Faddeev-Popov possui autovalores nulos. Vamos então escrever a equação de autovalores para o operador de Faddeev-Popov

$$\mathcal{M}^{ab}\omega^b = \epsilon\omega^a, \quad (5.7)$$

onde os autovalores dependem da configuração do campo de calibre $\epsilon = \epsilon(A)$. Esta equação nos permite definir os chamados horizontes de Gribov. Para tal, entendemos esta equação como um tipo de equação de Schrödinger, com A_μ^a fazendo o papel do potencial. Ainda, é fácil ver que o operador de Faddeev-Popov, no calibre de Landau, é um operador hermitiano[‡], possuindo assim autovalores reais. Para pequenos valores de A_μ^a o termo cinético $-\partial^2$, em (5.7), é dominante, onde k representa o momento. Assim, denotando o conjunto de autovalores de uma dada configuração A_μ^a por $\{\epsilon_1(A), \epsilon_2(A), \epsilon_3(A), \dots\}$, temos que, para A_μ^a pequeno, todos autovalores $\epsilon_i(A)$ são positivos, i.e. $\epsilon_i(A) > 0$. Contudo, conforme o campo A_μ^a cresce em magnitude, um dos autovalores, digamos $\epsilon_1(A)$, se torna nulo. E, conforme a magnitude de A_μ^a aumenta mais, este autovalor se torna negativo. Para um valor ainda maior de A_μ^a , um segundo autovalor, $\epsilon_2(A)$, se anula, se tornando negativo conforme a configuração de calibre aumenta ainda mais, e assim por diante. Analisando este comportamento, dividimos o domínio do espaço funcional dos campos de calibre em regiões $\{C_0, C_1, C_2, \dots, C_n\}$ nas quais o operador de Faddeev-Popov, (5.3), possui $\{0, 1, 2, \dots, n\}$ autovalores negativos, conforme representado na Fig. 5.1. As regiões C_i são as chamadas regiões de Gribov. As curvas que separam tais regiões, l_i , são os horizontes de Gribov, definidos como as curvas sobre as quais o operador de Faddeev-Popov possui autovalores nulos.

A primeira região de Gribov, C_0 , será chamada simplesmente de *região de Gribov*, enquanto que o primeiro horizonte, l_0 , será chamado de *horizonte de Gribov*. Ainda, denotaremos o horizonte por $l_0 \equiv \partial C_0$.

Note que a configuração $A_\mu^a = 0$ é o ponto mais "distante" do horizonte de Gribov, pois induz o maior autovalor do operador de Faddeev-Popov. Desta forma, podemos concluir que o vácuo perturbativo reside no centro da região de Gribov.

5.1.3 Properties of the Gribov region

A região de Gribov possui, estritamente, autovalores positivos do operador de Faddeev-Popov. Esta propriedade nos permite definir a região de Gribov como

$$C_0 \equiv \{A_\mu^a \mid \partial_\mu A_\mu^a = 0, \mathcal{M}^{ab} > 0\}. \quad (5.8)$$

[†]Veja o apêndice A para as notações e convenções utilizadas.

[‡]Note que as equações de cópias (5.5) e (5.6) são válidas também nos calibres lineares covariantes. Contudo, o fato de os campos não serem transversos destrói a hermiticidade do operador de Faddeev-Popov, e, conseqüentemente, as propriedades que se seguem neste capítulo.

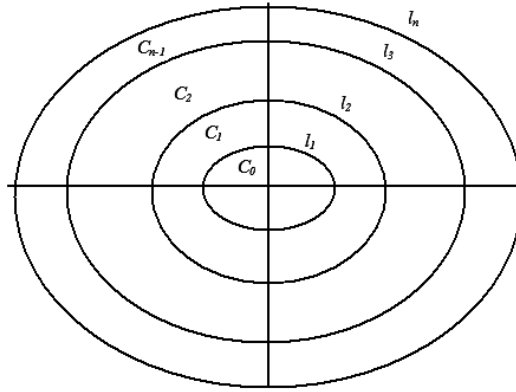


Figure 5.1: Regiões e horizontes de Gribov.

Próximo ao horizonte, os autovalores se aproximam de zero e as cópias, cada vez mais, são próximas umas das outras. Ou seja, as cópias infinitesimais estão próximas ao horizonte.

A região C_0 possui algumas importantes propriedades, que, podem ser usadas em favor de eliminar as cópias de Gribov. Vamos enunciar tais propriedades. A demonstração destas propriedades pode ser encontrada na literatura de referência especificada em cada uma das propriedades, a seguir.

- Propriedade 1: *Para qualquer campo de calibre localizado na região C_i , próximo ao horizonte ∂C_i , existe uma configuração equivalente na região C_{i+1} , também próximo ao horizonte ∂C_i .*

A demonstração desta propriedade, feita em [67], é desenvolvida mostrando que tais cópias possuem autovalores iguais com sinais opostos. Ou seja, estão em lados diferentes do horizonte. Esta propriedade sugere a restrição do domínio do espaço funcional de A_μ^a à região de Gribov. De fato, isso foi sugerido pelo próprio Gribov, [67]. Contudo, antes de mostrarmos os efeitos da restrição, vamos desenvolver outras propriedades que generalizam e aperfeiçoam a propriedade de Gribov. Veja Fig. 5.2.

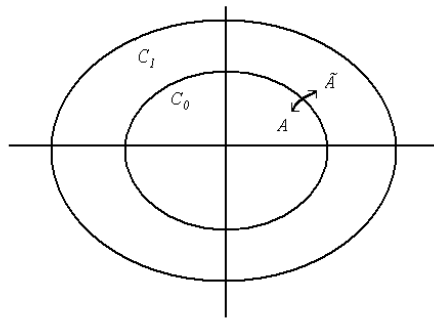


Figure 5.2: Cópias de Gribov próximas aos horizontes.

- Propriedade 2: *A região C_0 é convexa.*

Esta propriedade, demonstrada em [131] utilizando o método de campo de fundo, nos diz que se um campo pode ser escrito como a interpolação de dois outros campos que pertençam a região de Gribov, então este campo também pertence a região de Gribov. Ou seja, se $\{A_1, A_2\}$ são campos pertencentes a região C_0 , $\{A_1, A_2\} \in C_0$, e se o campo A pode ser escrito como $A = \alpha A_1 + (1 - \alpha)A_2$, onde o parâmetro de interpolação é dado por $0 \leq \alpha \leq 1$, então A também habita a região C_0 , $A \in C_0$.

- Propriedade 3: *A região C_0 possui fronteira em todas as direções.*

A demonstração desta propriedade está feita em [131]. Esta simples propriedade nos diz que sempre podemos afirmar se uma dada configuração finita está dentro ou fora da região C_0 . Ou seja, a região C_0 é finita e bem definida em todas as direções, de forma que sempre podemos atingir sua fronteira (o horizonte de Gribov) com um limite apropriado. Outra forma de entendermos esta propriedade é dizendo que toda configuração existente dentro da região de Gribov está a uma “distância” finita do vácuo perturbativo $A_\mu^a = 0$, que nada mais é que o centro da região de Gribov.

- Propriedade 4: *Toda órbita de calibre passa pela região C_0 .*

Esta propriedade se encontra demonstrada em [130, 131]. Por órbita de calibre entendemos a quantidade definida na segunda das (3.16), ou seja, a variação do campo A_μ ao longo dos elementos U do grupo. Portanto, para uma configuração geral A_μ , não pertencente à C_0 , existe uma configuração equivalente dentro de C_0 . Assim, o resultado de Gribov (Propriedade 1) para cópias próximas se generaliza dizendo que todas as configurações que não pertencem à região C_0 são cópias de Gribov de alguma configuração que existe dentro da região C_0 .

- Propriedade 5: *A região C_0 está contida dentro do Elipsoide de Landau, \mathcal{E}_L , $C_0 \supseteq \mathcal{E}_L$.*

Este resultado, discutido em [132, 116, 86], pode ser entendido como uma apri-moração da propriedade 3, estabelecendo um limite geométrico para a região de Gribov. O chamado elipsóide de Landau é definido pelo hiperelipsóide

$$\int \frac{d^4 q}{(2\pi)^2} \frac{a_\mu^a(q) a_\mu^{a\dagger}(-q)}{q^2} = \mathcal{C}, \quad (5.9)$$

onde \mathcal{C} é uma constante dependente da dimensão do grupo de calibre. As quantidades $a_\mu^{a\dagger}$ e a_μ^a são coeficientes de expansão de A_μ^a . Este resultado é extremamente importante pois, tomando-se o valor esperado da equação (5.9) encontra-se que o propagador do glúon $D_{\mu\nu}^{ab}(q)$ obedece a relação

$$\int \frac{d^4 q}{(2\pi)^2} \frac{D_{\mu\mu}^{aa}(q)}{q^2} \leq \frac{\mathcal{C}}{4}. \quad (5.10)$$

O resultado (5.10) implica numa contradição com relação a predição perturbativa do grupo de renormalização [116].

Apesar de estas propriedades mostrarem a grande importância da região de Gribov, esta ainda não é livre de cópias [114, 115, 116, 117, 118, 92, 93], pois não se sabe quantas vezes cada órbita cruza a fronteira de C_0 . De fato estas cópias existem e estão associadas a cópias sem carga topológica [148]. Contudo, ainda podemos definir uma região mais refinada, chamada região modular fundamental. Apesar de sua implementação na teoria ser altamente não trivial e não ter sido feita na integral de caminho até hoje, esta região seria livre de cópias. Vamos desenvolver uma breve discussão sobre a região modular fundamental na próxima seção. Contudo, vamos nos ater a região de Gribov pelo resto desta tese.

5.1.4 Fundamental modular region and the functional A_{\min}^2

É muito simples entender porque existe a possibilidade de ainda haver cópias dentro da região de Gribov. De acordo com a propriedade 4 discutida anteriormente, cada órbita de calibre passa pela região de Gribov pelo menos uma vez, mas nada garante que seja uma única vez. Outra forma de vermos isso é através da definição da região de Gribov C_0 em (5.8). Pensemos novamente no funcional A_{\min}^2 descrito em (3.16). Podemos definir a região de Gribov C_0 como o conjunto de campos A_μ^a que estabilizam o funcional A_{\min}^2 . Impondo a nulidade da variação primeira em (3.16) selecionamos as configurações que obedecem ao calibre de Landau (5.1), estas são as configurações que tornam o funcional A_{\min}^2 estacionário. Requerendo agora que a variação segunda de (3.16) seja positiva, encontrando assim a equação de cópias infinitesimais (5.6), ou seja, as configurações que impõem a estabilidade do funcional A_{\min}^2 . Contudo, este procedimento encontra todas as configurações que tornam o funcional A_{\min}^2 estável, ou seja, todos os mínimos, absolutos ou não. Obviamente, os mínimos de uma mesma órbita são cópias de Gribov e devem ser filtrados de maneira mais refinada. Assim, devemos selecionar os mínimos absolutos de cada órbita para eliminar as cópias de Gribov. Definimos então, a chamada *região modular fundamental* (RMF), denotada por Λ , como o conjunto de configurações que tornam o funcional A_{\min}^2 um mínimo absoluto,

$$\Lambda \equiv \{A_\mu^a \mid \partial_\mu A_\mu^a = 0, \mathcal{M}^{ab}(A) > 0 \Leftrightarrow A_{\min}^2 < A_{\min}^2 \forall A \neq A\} . \quad (5.11)$$

Apesar de mais requintada, a RMF pode ainda posuir cópias de Gribov. Essas cópias são caracterizadas por diferentes configurações existindo na mesma órbita e gerando o mesmo mínimo absoluto para A_{\min}^2 . De fato essas cópias existem e vivem na fronteira de Λ e seriam eliminadas através da identificação topológica dessas cópias. Esse procedimento torna a topologia de Λ altamente não trivial, dificultando ainda mais sua operacionalidade.

Vale ressaltar que, recentemente, foi mostrado formalmente em [149], que as cópias dentro da primeira região de Gribov não afetam os valores esperados da teoria. A prova é feita argumentando que a região de Gribov e a RMF possuem uma fronteira em comum, e a maior contribuição para a integral de caminho viria desta fronteira. Contudo, o fato de a RMF ser de difícil acesso, impossibilita cálculos explícitos que comprovem este argumento. Mesmo assim, esse resultado torna muito promissor e estimulante o estudo da região de Gribov no lugar da RMF, e, de fato, é isso que faremos ao longo desta tese.

5.2 Restriction to the Gribov region

Fazendo uso das propriedades discutidas na seção anterior, em particular a quarta propriedade e o fato de que existem indícios de que as cópias dentro da região de Gribov não afetam os valores esperados da teoria [149], podemos restringir o domínio de integração do espaço funcional dos campos de calibre à primeira região de Gribov, eliminando assim, um grande número de cópias. A integral de caminho (5.2) deve, então, ser modificada para

$$Z = \int DA \delta(\partial_\mu A_\mu^a) \det(\mathcal{M}^{ab}) e^{-S_{YM}} \mathcal{V}(C_0) , \quad (5.12)$$

onde o funcional $\mathcal{V}(C_0)$ garante que a integração será feita apenas na região de Gribov. A determinação do funcional $\mathcal{V}(C_0)$ pode ser feita com o auxílio do propagador dos campos de Faddeev-Popov. Antes de determinar $\mathcal{V}(C_0)$ vamos ver o que o este funcional e o propagador fantasma nos dizem sobre o vácuo da QCD. Após esta análise discutiremos brevemente como Gribov fez a restrição considerando o propagador dos campos de Faddeev-Popov [67]. Depois exporemos o método de Zwanziger[§] de ressonar todos os termos que contribuem para o propagador dos campos fantasmas [86].

[§]Os dois procedimentos são extremamente técnicos e não entraremos nestes detalhes aqui de forma a não deixar a leitura do texto muito pesada.

5.2.1 Gribov horizon and the QCD vacuum

Vamos analisar a equação das cópias (5.6). Concluímos anteriormente que o vácuo perturbativo, $A_\mu^a = 0$, reside no centro da região de Gribov. Ademais, esta equação nos permite definir o horizonte de Gribov como o conjunto de campos A_μ^a que geram os primeiros autovalores nulos do operador de Faddeev-Popov. Por outro lado, o operador de Faddeev-Popov é o operador que aparece atuando nos fantasmas de Faddeev-Popov. Assim, conforme nos aproximamos do horizonte, o inverso deste operador se torna cada vez maior, até que, no horizonte, ele torna-se singular. Ainda, como na região de Gribov o operador de Faddeev-Popov é positivo-definido, veja (5.8), o propagador de Faddeev-Popov também o será.

Vamos analisar o propagador dos campos de Faddeev-Popov. A teoria de perturbações aplicada ao cálculo do propagador fantasma utilizando a integral de caminho de Faddeev-Popov (5.2) nos leva a

$$G^{ab}(k) = \frac{\delta^{ab}}{k^2} \frac{1}{\left(1 - \frac{11g^2 N}{48\pi^2} \log \frac{\Lambda^2}{k^2}\right)^{\frac{9}{44}}}, \quad (5.13)$$

onde Λ é o corte ultravioleta e N é a dimensão do Grupo, dada pelo número de Casimir $f^{acd}f^{bcd} = N\delta^{ab}$. O propagador (5.13) possui dois pólos, um em $k_1^2 = 0$ e outro em $k_2^2 = \Lambda^2 e^{-\frac{48\pi^2}{11Ng^2}}$. É fácil ver que quando k^2 é grande o termo que gera o pólo k_2 desaparece e o termo que gera k_1 deixa de ser singular. Nesta escala de energia sabemos que a teoria de perturbações é válida e portanto, estamos lidando com o vácuo perturbativo $A_\mu^a = 0$, ou seja, longe do horizonte. Analizando o termo que gera o pólo k_2 vemos que, para energias acima do pólo k_2^2 , o fator 1 domina e o propagador (5.13) é positivo, indicando que ainda estamos dentro da região de Gribov. Para energias abaixo do pólo k_2^2 o propagador (5.13) se torna complexo, significando que, em algum momento, cruzamos o horizonte de Gribov para fora da região de Gribov. Desta forma, $\mathcal{V}(C_0)$ impediria a existência deste pólo. Ainda, $\mathcal{V}(C_0)$ impediria a existência de um pólo finito pois este acarretaria no mesmo problema do pólo k_2^2 . Por outro lado, o pólo $k_1^2 = 0$ está longe da origem, $A_\mu^a = 0$, e não possui o problema de cruzar o horizonte pois não podemos ir a valores menores que o zero. Assim, este pólo é a única possibilidade de descrever o horizonte. Podemos então esperar que o vácuo real da QCD seja descrito pelas configurações que estão próximos ao horizonte.

Note que esta é uma análise heurística e, até mesmo, ingênua do vácuo da QCD. Contudo, em um recente resultado, [73], foram encontradas evidências explícitas de que esta suposição seja verdadeira mostrando que configurações topológicas de vácuo tendem a existir próximo ao horizonte. Veremos a seguir como isso pode ser evidenciado apenas a partir da restrição na integral de caminho.

5.2.2 Gribov approximation

Após esta análise do propagador perturbativo, concluímos que para garantirmos que a integração seja feita apenas dentro da região de Gribov é suficiente impormos que o propagador fantasma não possua pólos finitos. O contrário implicaria que estamos fora da região de Gribov. De acordo com [67] a condição de não existência de pólos finitos no propagador fantasma pode ser desenvolvida através do cálculo perturbativo do mesmo, a segunda ordem, considerando os gluons como campos externos e assumindo a conservação da energia, conforme a Fig. 5.3.

Esta aproximação, como feito em detalhe em [67, 12], resulta na condição

$$\frac{Ng^2}{4(N^2 - 1)} \int \frac{d^4k}{(2\pi)^4} \frac{A_\mu^a(k)A_\mu^a(-k)}{k^2} < 1. \quad (5.14)$$

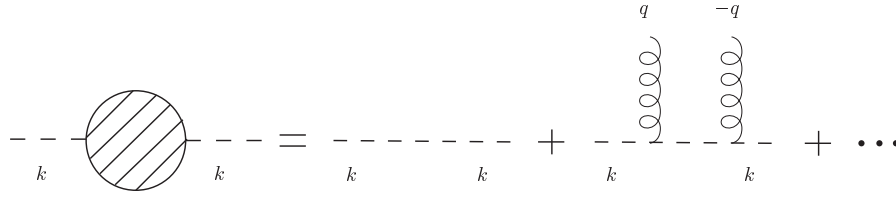


Figure 5.3: Propagador fantasma com gluons externos.

Esta condição implica no seguinte funcional de restrição

$$\mathcal{V}(C_0) = \exp \left\{ -Ng^2\gamma^4 \int \frac{d^4k}{(2\pi)^4} \frac{A_\mu^a(k)A_\mu^a(-k)}{k^2} + 4(N^2 - 1)\gamma^4 \right\}. \quad (5.15)$$

Na expressão (5.15) o parâmetro γ , chamado parâmetro de Gribov, é determinado através do requerimento de que a energia do vácuo dependa minimamente deste parâmetro. Este requerimento, à primeira ordem, é traduzido através da equação do gap

$$\frac{3}{4}Ng^2 \int \frac{d^4k}{(2\pi)^4} \frac{1}{k^4 + 2Ng^2\gamma^4} = 1. \quad (5.16)$$

De fato, a equação (5.16) fixa o valor de γ , ou seja, o parâmetro de Gribov não é um parâmetro livre, mas determinado de tal forma que a condição (5.14) seja satisfeita. Note ainda que o parâmetro de Gribov possui dimensão de massa.

O efeito físico da restrição se reflete na alteração da ação determinando o peso probabilístico na integral de caminho. O termo extra, proporcional ao parâmetro de Gribov, juntamente com a equação do gap (5.16), garante que a integração ocorra apenas para configurações que estejam dentro da primeira região de Gribov. Este termo, sendo quadrático no campo de calibre, altera o propagador do glúon mesmo no nível árvore. Um cálculo simples do propagador do glúon, utilizando a integral de caminho (5.12) e levando em conta o funcional (5.15), produz

$$D_{\mu\nu}^{ab}(k) = \delta^{ab} \frac{k^2}{k^4 + 2Ng^2\gamma^4} \left(\delta_{\mu\nu} - \frac{k_\mu k_\nu}{k^2} \right). \quad (5.17)$$

Note que este propagador é finito no limite infravermelho. Outro efeito físico associado a este propagador é o fato de os pólos serem imaginários, indicando que o glúon não pertence ao espectro físico de Yang-Mills como deve ser para objetos confinados. Outra forma de ver isso é através da violação da positividade deste propagador [150, 151, 11].

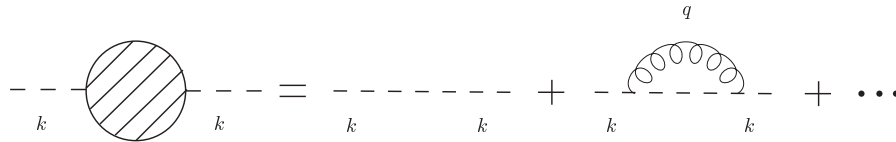


Figure 5.4: Propagador fantasma a um laço.

O propagador dos campos de Faddeev-Popov se altera conforme correções quânticas são levadas em consideração, isso devido ao propagador do glúon (5.17). De fato, podemos calcular o propagador

dos fantasmas a um laço em teoria de perturbações, considerando o glúon agora um campo quântico, conforme a Fig. 5.4. O limite infravermelho deste propagador se comporta como

$$G(k) \Big|_{k \rightarrow 0} = \frac{1}{N^2 - 1} G^{aa}(k) \Big|_{k \rightarrow 0} \propto \frac{1}{k^4}. \quad (5.18)$$

Vemos que o propagador dos fantasmas é mais singular que a predição perturbativa, indicando a existência de forças de longo alcance na teoria. É importante ressaltar que a equação do gap (5.16) é fundamental para estabelecer este resultado.

Retornaremos a questão dos propagadores no fim desta parte. Vamos agora discutir o método de Zwanziger de aprimoração da restrição de Gribov.

5.2.3 Horizon function

A restrição feita à maneira de Gribov (seção anterior) consiste numa aproximação da condição de ausência de pólos no propagador dos fantasmas e a utilização desta condição para truncar o domínio de integração da integral de caminho (5.2). A condição de ausência de pólos pode ser ressomada a todas as ordens de forma a encontramos uma forma mais completa para o funcional de restrição $\mathcal{V}(C_0)$ definido em (5.12). Os detalhes do método podem ser encontrados em [86]. Esse procedimento é feito impondo diretamente que o operador de Faddeev-Popov possua apenas autovalores positivos. Entendendo a equação de autovalores (5.7) como um tipo de equação de Schrödinger e tratando o termo dependente de A_μ^a como um potencial perturbativo pode-se calcular, com boa aproximação, os autovalores, a todas as ordens. Esse procedimento não tem ligação alguma com as técnicas de segunda quantização, sendo um problema puro de Mecânica Quântica, ou seja, primeira quantização. É o problema de encontrar o espectro do operador de Faddeev-Popov para um potencial A_μ genérico e em seguida impor que este potencial não produza estados ligados. Os passos para se encontrar os autovalores do operador de Faddeev-Popov podem ainda omitir algumas importantes considerações que levam o resultado final a ser, ainda, aproximado, embora muito mais preciso que o resultado de Gribov (5.15). A condição encontrada é dada por

$$8(N^2 - 1) - 4NH > 0, \quad (5.19)$$

onde H é a chamada *função horizonte*,

$$H = H[A] = g^2 \int d^4x f^{abc} A_\mu^b (\mathcal{M}^{-1})^{ad} f^{dec} A_\mu^e. \quad (5.20)$$

O lado esquerdo da expressão (5.19) está relacionada com os autovalores do operador de Faddeev-Popov. A expressão (5.19) diz que o funcional de restrição pode ser escrito, por exemplo, como

$$\mathcal{V}(C_0) = \exp \left\{ -\gamma^4 H + 4(N^2 - 1)\gamma^4 \right\}, \quad (5.21)$$

O parâmetro de Gribov é determinado através da equação do gap, obtida requerendo que o parâmetro de Gribov seja tal que a energia do vácuo dependa minimamente de γ ,

$$\langle H[A] \rangle = 4(N^2 - 1). \quad (5.22)$$

A equação do gap (5.22) também é conhecida como *condição de horizonte*.

A restrição (5.21), juntamente com a condição de horizonte (5.22), garante que o domínio de integração no espaço funcional seja restrito à região de Gribov. Ademais, não é difícil entender que a maior contribuição à integral de caminho (5.12) vem das configurações próximas ao horizonte. Para tal, basta

observar que, próximo ao horizonte o funcional H começa a divergir, devido à presença do operador \mathcal{M}^{-1} . Assim, na região infravermelha, o novo termo domina a integral de caminho. Devido ao fato de a função exponencial poder ser usada como representação integral da função delta, o funcional de restrição pode ser descrito por

$$\mathcal{V}(C_0) = \delta[4(N^2 - 1) - H]. \quad (5.23)$$

Esta expressão não só mostra que a equação do gap é satisfeita como diz que a maior contribuição da integral de caminho vem de configurações que vivem próximas ao horizonte. Note que podemos representar a exponencial por uma função delta pois esta representação é consistente com a equação do gap. Outra forma de entender isso é observar que o funcional de restrição, na forma em que aparece em (5.21), pode ser entendido como um termo de Boltzmann no conjunto estatístico canônico. Assim, assumindo a equivalência entre o conjunto estatístico canônico e o microcanônico[¶], podemos mudar a exponencial pela delta.

Vimos anteriormente, analisando o propagador perturbativo dos campos fantasmas (5.13), que o verdadeiro vácuo da QCD é composto por configurações que vivem na fronteira da região de Gribov. Agora, não só se confirma esta hipótese, como também vimos que estas configurações são as que mais contribuem para a integral de caminho (5.12). Obviamente, estudando a região ultravioleta, estas configurações deixam de ser dominantes, contribuindo pouco aos efeitos perturbativos.

Note que, tomando o limite apropriado $\mathcal{M} \approx \partial^2$, os resultados aqui presentes se reduzem aos da aproximação de Gribov (seção anterior).

5.3 Stability of Gribov-Zwanziger action

A integral de caminho (5.12), explicitamente escrita, é na forma

$$Z = \int DAD\bar{c}DcDb \exp \{-S_{nl}\}, \quad (5.24)$$

onde a ação não local S_{nl} é conhecida como *ação de Gribov-Zwanziger*, dada por

$$S_{nl} = S_{YM} + S_{gf} + \gamma^4 H - 4(N^2 - 1)\gamma^4. \quad (5.25)$$

A ação de Yang-Mills é dada por (1.1), a ação de fixação de calibre, impondo o calibre de Landau, é dada por (1.2) e, obviamente, a função horizonte é definida em (5.20). Uma propriedade necessária para a ação (5.25) é a estabilidade sob correções quânticas. Contudo, a consistência da teoria ao nível quântico requer como condições necessárias que a ação de partida seja local e renormalizável por contagem de potências. Notavelmente, a ação (5.25) pode ser escrita numa representação local. Ainda, de forma a tratar da renormalizabilidade da ação de Gribov-Zwanziger, sob o ponto de vista da renormalização algébrica [48], é necessária a existência de uma simetria BRST. A simetria BRST pode ser definida se colocarmos a teoria de Gribov-Zwanziger imersa numa classe de teorias mais gerais e, no final das contas, toma-se o limite apropriado^{||}. Discutiremos as implicações físicas da localização, da existência de uma simetria BRST nilpotente e outras simetrias e, por fim, da renormalizabilidade da ação (5.25). Os detalhes dos resultados aqui discutidos podem ser encontrados em [86, 87, 88].

[¶]De fato, esta equivalência existe neste caso, como mostrado em [86].

^{||}Esta seção será um pouco mais técnica pois devemos apresentar as propriedades e simetrias da ação local (5.27)

5.3.1 Localization of the horizon function

A função horizonte na integral de caminho (5.24) pode ser escrita numa representação local com o auxílio de um conjunto de campos auxiliares bosônicos e fermiônicos, veja [86, 87]. Esta relação entre as representações não-local e local é exata, dada por

$$\begin{aligned} \exp \{ -\gamma^4 H \} &= \int D\varphi D\bar{\varphi} D\omega D\bar{\omega} \exp \left\{ \int d^4x \left[-\bar{\varphi}_\mu^{ac} \mathcal{M}^{ab} \varphi_\mu^{bc} + \bar{\omega}_\mu^{ac} \mathcal{M}^{ab} \omega_\mu^{bc} + \right. \right. \\ &\quad \left. \left. + \gamma^2 g f^{abc} A_\mu^a (\varphi_\mu^{bc} + \bar{\varphi}_\mu^{bc}) \right] + 4(N^2 - 1)\gamma^4 \right\} , \end{aligned} \quad (5.26)$$

provendo a ação local de partida, chamada *ação física*

$$S_{phys} = S_{YM} + S_{gf} + S_{aux} + S_\gamma , \quad (5.27)$$

onde, novamente, S_{YM} é dada por (1.1) e S_{gf} por (1.2). Os demais termos são, o que chamaremos de *termo de campos auxiliares*,

$$S_{aux} = \int d^4x (\bar{\varphi}_\mu^{ac} \mathcal{M}^{ab} \varphi_\mu^{bc} - \bar{\omega}_\mu^{ac} \mathcal{M}^{ab} \omega_\mu^{bc}) , \quad (5.28)$$

e o *termo de mistura*,

$$S_\gamma = -\gamma^2 g f^{abc} \int d^4x A_\mu^a (\varphi_\mu^{bc} + \bar{\varphi}_\mu^{bc}) - 4(N^2 - 1)\gamma^4 . \quad (5.29)$$

Os campos auxiliares $\{\varphi, \bar{\varphi}\}$ são de natureza bosônica enquanto os campos $\{\omega, \bar{\omega}\}$ possuem natureza fermiônica. Os últimos são na verdade, fantasmas, pois são campos com spin inteiro e estatística de Fermi. Obviamente, assim como os campos de Faddeev-Popov, estes campos não são campos físicos, no sentido de serem observáveis. Esta propriedade vem do fato de os campos auxiliares poderem ser integrados e eliminados da integral de caminho. Contudo, a presença de campos auxiliares torna a ação de Gribov-Zwanziger passível de um estudo de sua renormalizabilidade.

5.3.2 Symmetries and Ward identities

Uma vez que temos uma ação local que leva em conta a presença do horizonte de Gribov, (5.27), devemos estabelecer uma simetria BRST de forma a tratar o problema da renormalizabilidade da ação (5.27). Ainda, simetrias extras são sempre bem vindas.

De fato, a ação física (5.27) possui muitas simetrias escondidas. Uma dessas simetrias é a $U(f)$, $f = 4(N^2 - 1)$, global. Esta simetria nos permite, no caso geral, fazer uso do índice composto $(a, \mu) \rightarrow i$, de forma que os campos auxiliares são escritos como $\{\varphi_\mu^{ab}, \bar{\varphi}_\mu^{ab}, \omega_\mu^{ab}, \bar{\omega}_\mu^{ab}\} = \{\varphi_i^a, \bar{\varphi}_i^a, \omega_i^a, \bar{\omega}_i^a\}$. Esta simetria possibilita a definição de um número quântico adicional para os campos auxiliares, a *carga* Q_f . Os números quânticos e dimensões ultravioletas dos campos auxiliares estão dispostos na tabela 5.1, lembrando que apenas estes campos e as fontes extras, que ainda vamos introduzir, possuem carga Q_f não nula.

Podemos ainda definir uma simetria BRST nilpotente, onde os campos auxiliares formam dubletos BRST, pertencendo assim à parte trivial da cohomologia de BRST. As transformações BRST dos campos usuais das teorias de Yang-Mills são dadas pela simetria BRST usual, (1.5). Para os campos auxiliares temos

$$\begin{aligned} s\varphi_i^a &= \omega_i^a , \\ s\omega_i^a &= 0 , \\ s\bar{\varphi}_i^a &= \bar{\varphi}_i^a , \\ s\bar{\omega}_i^a &= 0 . \end{aligned} \quad (5.30)$$

campos	φ	$\bar{\varphi}$	ω	$\bar{\omega}$
dimensão	1	1	1	1
número fantasma	0	0	1	-1
carga Q_f	1	-1	1	-1

Table 5.1: Dimensão e números quânticos dos campos auxiliares de Zwanziger.

fontes	M	V	N	U
dimensão	2	2	2	2
número fantasma	0	0	1	-1
carga Q_f	-1	1	1	-1

Table 5.2: Dimensão e números quânticos das fontes de Zwanziger.

Para evidenciar estas, e outras, simetrias a ação física (5.27) é descrita através de uma teoria mais geral, envolvendo vértices e fontes (campos clássicos) extras,

$$S = S_{YM} + S_{gf} + S'_{aux} + S_s, \quad (5.31)$$

onde a ação de campos auxiliares é alterada para

$$\begin{aligned} S'_{aux} &= s \int d^4x \bar{\omega}_i^a \mathcal{M}^{ab} \varphi_i^b, \\ &= S_{aux} - gf^{abc} \int d^4x \partial_\mu \bar{\omega}_i^a D_\mu^{bd} c^d \varphi_i^c, \end{aligned} \quad (5.32)$$

o que inclui um termo com vértices extras. Estes vértices, na verdade, não têm influência nenhuma na teoria e podem ser eliminados através de uma mudança de variáveis de Jacobiano unitário. Veremos este ponto dentro de alguns parágrafos. A ação de fontes, que substitui o termo de mistura, é dada por

$$\begin{aligned} S_s &= s \int d^4x (-U_{i\mu}^a D_\mu^{ab} \varphi_i^b - V_{i\mu}^a D_\mu^{ab} \bar{\omega}_i^b - U_{i\mu}^a V_{i\mu}^a) \\ &= \int d^4x (-M_{i\mu}^a D_\mu^{ab} \varphi_i^b - V_{i\mu}^a D_\mu^{ab} \bar{\varphi}_i^b + U_{i\mu}^a D_\mu^{ab} \omega_i^b - N_{i\mu}^a D_\mu^{ab} \bar{\omega}_i^b + \\ &\quad - gf^{abc} U_{i\mu}^a D_\mu^{bd} c^d \varphi_i^c + gf^{abc} V_{i\mu}^a D_\mu^{bd} c^d \bar{\omega}_i^c + U_{i\mu}^a N_{i\mu}^a - M_{i\mu}^a V_{i\mu}^a), \end{aligned} \quad (5.33)$$

onde as transformações BRST das fontes são dadas por

$$\begin{aligned} sU_{i\mu}^a &= M_{i\mu}^a, \\ sM_{i\mu}^a &= 0, \\ sV_{i\mu}^a &= N_{i\mu}^a, \\ sN_{i\mu}^a &= 0. \end{aligned} \quad (5.34)$$

Os números quânticos das fontes estão dispostos na tabela 5.2. Note que estas fontes são introduzidas para garantir a invariância por transformações de BRST. De outra forma, a ação de mistura, (5.29), quebraria a simetria BRST.

A ação (5.31) descreve uma teoria geral que engloba a ação de Gribov-Zwanziger, (5.27). Esta ação, utilizada de modo a efetuar a renormalização da teoria, deve, no fim das contas, fluir para a teoria

de Gribov-Zwanziger, através de um limite apropriado. Tal limite é atingido requerendo que as fontes auxiliares de Zwanziger atinjam seus valores físicos

$$\begin{aligned} M_{\mu\nu}^{ab} &= V_{\mu\nu}^{ab} = \delta^{ab}\delta_{\mu\nu}\gamma^2, \\ U_{\mu\nu}^{ab} &= N_{\mu\nu}^{ab} = 0. \end{aligned} \quad (5.35)$$

Com esse limite todos os termos originais são recuperados, e alguns vértices extras também. Isso porque, nesse limite, temos,

$$\lim_{\{M,V,U,N\} \rightarrow \gamma^2, 0} S = S_{phys} - gf^{abc} \int d^4x \partial_\mu \bar{\omega}_i^a D_\mu^{bd} c^d \varphi_i^c. \quad (5.36)$$

Contudo, este termo não afeta a teoria pois pode ser eliminado através de uma mudança de variável de Jacobiano unitário,

$$\omega_i^a \rightarrow \omega_i^a + gf^{abc} \mathcal{M}^{-1} \partial_\mu (D_\mu^{bd} c^d \varphi_i^c). \quad (5.37)$$

Uma vez entendida a ação local (5.31), podemos enumerar as simetrias por ela gozada, em termos de identidades de Ward. Para tal, como já explicado antes, devemos considerar a ação completa com termos de fontes para controlar as transformações BRST não lineares (Veja [48] e Ap. B). Adicionando o termo de fontes externas usuais, (1.7), a ação completa é dada por

$$\Sigma = S + S_{ext}. \quad (5.38)$$

A ação (5.38) possui um rico conjunto de simetrias descritas aqui através das seguintes identidades de Ward:

- Identidade de Slavnov-Taylor

$$\begin{aligned} S(\Sigma) &= \int d^4x \left(\frac{\delta\Sigma}{\delta\Omega_\mu^a} \frac{\delta\Sigma}{\delta A_\mu^a} + \frac{\delta\Sigma}{\delta L^a} \frac{\delta\Sigma}{\delta c^a} + b^a \frac{\delta\Sigma}{\delta \bar{c}^a} + \omega_i^a \frac{\delta\Sigma}{\delta \varphi_i^a} + \bar{\varphi}_i^a \frac{\delta\Sigma}{\delta \bar{\omega}_i^a} + \right. \\ &\quad \left. + M_{i\mu}^a \frac{\delta\Sigma}{\delta U_{i\mu}^a} + N_{i\mu}^a \frac{\delta\Sigma}{\delta V_{i\mu}^a} \right) = 0. \end{aligned} \quad (5.39)$$

- O calibre de Landau e a equação de movimento dos campos antifantasma

$$\begin{aligned} \frac{\delta\Sigma}{\delta b^a} &= \partial_\mu A_\mu^a, \\ \frac{\delta\Sigma}{\delta \bar{c}^a} + \partial_\mu \frac{\delta\Sigma}{\delta \Omega_\mu^a} &= 0. \end{aligned} \quad (5.40)$$

- Equação de movimento dos campos fantasmas

$$\mathcal{G}^a \Sigma = \Delta_{cl}^a, \quad (5.41)$$

onde

$$\mathcal{G}^a = \int d^4x \left[\frac{\delta}{\delta c^a} + gf^{abc} \left(\bar{c}^b \frac{\delta}{\delta b^c} + \varphi_i^b \frac{\delta}{\delta \omega_i^c} + \bar{\omega}_i^b \frac{\delta}{\delta \bar{\varphi}_i^c} + V_{i\mu}^b \frac{\delta}{\delta N_{i\mu}^c} + U_{i\mu}^b \frac{\delta}{\delta M_{i\mu}^c} \right) \right], \quad (5.42)$$

e Δ_{cl}^a é uma quebra clássica, linear nos campos,

$$\Delta_{cl}^a = gf^{abc} \int d^4x (\Omega_\mu^b A_\mu^c - L^b c^c). \quad (5.43)$$

- Equações de movimento linearmente quebradas

$$\begin{aligned}
\frac{\delta\Sigma}{\delta\bar{\varphi}_i^a} + \partial_\mu \frac{\delta\Sigma}{\delta M_{i\mu}^a} &= gf^{abc} A_\mu^b V_{i\mu}^c, \\
\frac{\delta\Sigma}{\delta\omega_i^a} + \partial_\mu \frac{\delta\Sigma}{\delta N_{i\mu}^a} - gf^{abc} \bar{\omega}_i^b \frac{\delta\Sigma}{\delta b^c} &= gf^{abc} A_\mu^b U_{i\mu}^c, \\
\frac{\delta\Sigma}{\delta\bar{\omega}_i^a} + \partial_\mu \frac{\delta\Sigma}{\delta U_{i\mu}^a} - gf^{abc} V_{i\mu}^b \frac{\delta\Sigma}{\delta\Omega_\mu^c} &= -gf^{abc} A_\mu^b N_{i\mu}^c, \\
\frac{\delta\Sigma}{\delta\varphi_i^a} + \partial_\mu \frac{\delta\Sigma}{\delta V_{i\mu}^a} - gf^{abc} \bar{\varphi}_i^b \frac{\delta\Sigma}{\delta b^c} - gf^{abc} \bar{\omega}_i^b \frac{\delta\Sigma}{\delta \bar{c}^c} - gf^{abc} U_{i\mu}^b \frac{\delta\Sigma}{\delta\Omega_\mu^c} &= gf^{abc} A_\mu^b M_{i\mu}^c.
\end{aligned} \tag{5.44}$$

- Identidade supersimétrica global

$$\int d^4x \left(c^a \frac{\delta\Sigma}{\delta\omega_i^a} + \bar{\omega}_i^a \frac{\delta\Sigma}{\delta\bar{c}^a} + U_{i\mu}^a \frac{\delta\Sigma}{\delta\Omega_\mu^a} \right) = 0. \tag{5.45}$$

- Identidade supersimétrica global no setor de Gribov

$$\int d^4x \left(\varphi_i^a \frac{\delta\Sigma}{\delta\omega_j^a} - \bar{\omega}_j^a \frac{\delta\Sigma}{\delta\bar{\varphi}_i^a} + V_{i\mu}^a \frac{\delta\Sigma}{\delta U_{j\mu}^a} - U_{j\mu}^a \frac{\delta\Sigma}{\delta M_{i\mu}^a} \right) = 0. \tag{5.46}$$

É importante ter em mente que a ação (5.38) não é a ação física da teoria de Yang-Mills com restrição ao primeiro horizonte, mas sim uma teoria mais geral que atinge a ação física de Gribov-Zwanziger (5.27) no limite apropriado (5.35). Note ainda que a equação do gap, que fixa o parâmetro de Gribov (5.22), continua sendo obtida através da minimização da energia do vácuo. Contudo, na versão local, a equação do gap é dada por

$$\langle gf^{abc} A_\mu^a \varphi_\mu^{bc} \rangle + \langle gf^{abc} A_\mu^a \bar{\varphi}_\mu^{bc} \rangle = -8(N^2 - 1)\gamma^2. \tag{5.47}$$

Esta condição deve ser efetuada após o processo de renormalização. De fato, qualquer cálculo explícito deve ser desenvolvido após a renormalização, assim como todo e qualquer limite.

Outra importante questão vem da quebra de BRST que ocorre no limite físico. Esta quebra não é entendida totalmente ainda. Em [88] esta quebra foi associada a uma quebra espontânea de BRST devido à presença do horizonte de Gribov. Em [152] os valores físicos das fontes são ditos poderem ser obtidos através do potencial efetivo da ação (5.38), reforçando a idéia da quebra espontânea. Contudo, esta questão ainda é um tanto obscura e não falaremos neste tópico até as conclusões finais.

5.3.3 Stability

Finalmente, uma vez que temos uma ação local (5.38) e identidades de Ward (5.39-5.41), (5.44-5.46) descrevendo as simetrias desta ação, podemos discutir a estabilidade da mesma. De fato, utilizando os métodos usuais da renormalização algébrica [48], Ap. B, mostra-se que a ação (5.38) é multiplicativamente renormalizável a todas as ordens em teoria de perturbações, veja [87]. Ainda, devido ao grande número de identidades de Ward, a ação (5.38), e, conseqüentemente, (5.25) e (5.27), possuem apenas duas divergências independentes, como no caso do calibre de Landau sem considerar o horizonte de Gribov. O contratermo mais geral pode ser escrito como

$$\Sigma^c = a_0 S_{YM} + a_1 \int d^4x \left(A_\mu^a \frac{\delta\Sigma}{\delta A_\mu^a} + \tilde{\Omega}_\mu^a \partial_\mu c^a + \tilde{V}_{i\mu}^a \tilde{M}_{i\mu}^a - \tilde{U}_{i\mu}^a \tilde{N}_{i\mu}^a \right), \tag{5.48}$$

onde as variáveis $\tilde{\Omega}$, \tilde{V} , \tilde{M} , \tilde{U} e \tilde{N} , devido às identidades (5.44), são dadas por

$$\begin{aligned}
\tilde{\Omega}_\mu^a &= \Omega_\mu^a + \partial_\mu \bar{c}^a - gf^{abc} \tilde{U}_{i\mu}^b \varphi_i^c - gf^{abc} V_{i\mu}^b \bar{\omega}_i^c, \\
\tilde{V}_{i\mu}^a &= V_{i\mu}^a + \partial_\mu \varphi_i^a, \\
\tilde{M}_{i\mu}^a &= M_{i\mu}^a + \partial_\mu \bar{\varphi}_i^a, \\
\tilde{U}_{i\mu}^a &= U_{i\mu}^a + \partial_\mu \bar{\omega}_i^a, \\
\tilde{N}_{i\mu}^a &= N_{i\mu}^a + \partial_\mu \omega_i^a.
\end{aligned} \tag{5.49}$$

Os fatores de renormalização independentes são dados pela expressão (3.42). Os campos fantasmas, campos auxiliares e fontes externas auxiliares se renormalizam através dos mesmos fatores

$$Z_c^{1/2} = Z_{\bar{c}}^{1/2} = Z_\varphi^{1/2} = Z_{\bar{\varphi}}^{1/2} = Z_\omega^{1/2} = Z_{\bar{\omega}}^{1/2} = Z_V = Z_M = Z_U = Z_N = Z_g^{-1/2} Z_A^{-1/4}, \tag{5.50}$$

Essa relação entre as fontes auxiliares, a constante de acoplamento e o glúon vem das identidades de Ward (5.45-5.46). Devido a esta propriedade não há necessidade de se introduzir um parâmetro para a renormalização deste termo, como no caso do parâmetro LCO.

Note que todas as propriedades do calibre de Landau são preservadas quando o horizonte é levado em conta, incluindo o teorema de não renormalização dos campos de Faddeev-Popov, [124], expressado em (3.45) e generalizado em (5.50). Ainda, o termo de fontes puro não necessita de um parâmetro LCO para garantir a renormalizabilidade.

Com isso terminamos a análise física sobre as ambigüidades de Gribov existente no calibre de Landau, salvo os resultados que apresentaremos daqui para frente no próximos capítulos.

Chapter 6

Gribov horizon and the operator

$$A_\mu^a A_\mu^a$$

Neste capítulo estudaremos a compatibilidade do horizonte de Gribov com o operador de dimensão dois $A_\mu^a A_\mu^a$, os detalhes técnicos podem ser encontrados em [6, 8, 11]. Na parte anterior desta tese, revisamos a condensação deste operador, como feito originalmente em [64, 97, 81, 98]. Como resultado este operador condensa, conduzindo a energia do vácuo para um valor menor que a predição perturbativa. Como consequência da existência de um valor não trivial para o condensado $\langle A_\mu^2 \rangle$, um parâmetro de massa para os gluons é gerado dinamicamente.

Começaremos apresentando cálculos explícitos utilizando a ação de Gribov-Zwanziger, (5.27), sem considerar os efeitos da massa dinâmica. Veremos que tal teoria gera uma ação quântica efetiva que obedece a uma equação homogênea do grupo de renormalização. Veremos ainda que, na aproximação de um laço, a energia do vácuo é sempre positiva independentemente do esquema de renormalização utilizado e da escala escolhida. O que sugere que cálculos em mais laços sejam necessários. Uma breve discussão sobre cálculos a dois laços é apresentada.

Em seguida mostraremos que a ação de Gribov-Zwanziger permanece estável na presença do operador composto $A_\mu^a A_\mu^a$, quando introduzido via o método LCO, com apenas três divergências independentes a serem renormalizadas. Tal ação gera uma ação quântica efetiva que respeita uma equação homogênea do grupo de renormalização. Desta ação quântica extraímos duas equações de gap acopladas a serem resolvidas nos parâmetros de Gribov γ e do condensado $\langle A_\mu^a A_\mu^a \rangle$. Discutiremos as tentativas de solucionar as equações de gap acopladas e o fato de não encontrarmos soluções consistentes, tudo no esquema \overline{MS} de renormalização.

Como tentativa de se aprimorar os resultados apresentamos uma expansão otimizada de forma a reduzir a dependência dos resultados no esquema de renormalização escolhido. Desta forma, a dependência no esquema de renormalização se traduz através de um único parâmetro, relacionado à renormalização da constante de acoplamento. Apesar deste esforço, a energia do vácuo ainda se mostra positiva a um laço, o que parece ser um resultado geral, presente também quando o condensado $\langle A_\mu^a A_\mu^a \rangle$ é incluído. Este resultado sugere que cálculos a mais laços devem ser feitos, ou ainda, que o problema de Gribov, sendo altamente não perturbativo não pode ser tratado com teoria de perturbações.

Por fim discutiremos as implicações físicas de um possível parâmetro de Gribov não nulo e faremos comparações com a rede e as informações obtidas através das equações de Schwinger-Dyson. Os detalhes técnicos deste capítulo podem ser encontrados em [6, 8, 11].

6.1 Computations with the Gribov-Zwanziger action

Antes de discutirmos o operador $\langle A_\mu^a A_\mu^a \rangle$ na presença do horizonte de Gribov vamos estudar algumas propriedades quânticas da ação pura de Gribov-Zwanziger. Para tal utilizaremos a ação física na representação local, (5.27), que nada mais é que a ação de Gribov-Zwanziger (5.25) na representação local. Sendo esta ação renormalizável, a ação quântica corespondente obedece a uma equação homogênea do grupo de renormalização, o que nos permite efetuar cálculos explícitos. Fundamentalmente, vamos estudar a energia do vácuo a um laço, através da ação quântica efetiva, e tentar dar uma estimativa quantitativa para o parâmetro de Gribov.

6.1.1 One-loop quantum action in $\overline{\text{MS}}$ scheme

Para se calcular a ação quântica efetiva a um laço, $\Gamma_\gamma^{(1)}$, associada a ação clássica (5.27), bastamos considerar a parte quadrática da mesma na definição da ação quântica. Note ainda que, nesta aproximação, apenas os campos auxiliares bosônicos e o campo de calibre se misturam, os demais podem ser ignorados,

$$e^{-\Gamma_\gamma^{(1)}} = \int DAD\bar{\varphi}D\varphi e^{-S_{quad}}, \quad (6.1)$$

com S_{quad} dada por

$$\begin{aligned} S_{quad} = & \int d^4x \left[\frac{1}{4} (\partial_\mu A_\nu^a - \partial_\nu A_\mu^a)^2 + \frac{1}{2\alpha} (\partial_\mu A_\mu^a)^2 + \bar{\varphi}_\mu^{ab} \partial^2 \varphi_\mu^{ab} \right. \\ & \left. - \gamma^2 g (f^{abc} A_\mu^a \varphi_\mu^{bc} + f^{abc} A_\mu^a \bar{\varphi}_\mu^{bc}) - d(N^2 - 1)\gamma^4 \right], \end{aligned} \quad (6.2)$$

lembrando que o limite $\alpha \rightarrow 0$ deve ser tomado no final para que o calibre de Landau seja recuperado. Um elaborado cálculo nos leva à seguinte expressão não renormalizada, para $\Gamma_\gamma^{(1)}$,

$$\Gamma^{(1)} = -d(N^2 - 1)\gamma^4 + \frac{(N^2 - 1)}{2} (d - 1) \int \frac{d^d p}{(2\pi)^d} \ln(p^4 + 2Ng^2\gamma^4), \quad (6.3)$$

onde a regularização dimensional foi utilizada. Da ação efetiva (6.3) podemos extrair a equação do gap a um laço. Para tal, derivamos $\Gamma_\gamma^{(1)}$ com relação ao parâmetro de Gribov, de acordo com a definição da equação do gap (6.5),

$$\frac{\partial \Gamma_\gamma^{(1)}}{\partial \gamma} = 0, \quad (6.4)$$

de forma que,

$$\frac{N(d-1)}{d} g^2 \int \frac{d^d p}{(2\pi)^d} \frac{1}{(p^4 + 2Ng^2\gamma^4)} = 1. \quad (6.5)$$

Utilizando agora o esquema de renormalização $\overline{\text{MS}}$ na expressão (6.3) chegamos a ação quântica efetiva renormalizada a um laço na forma

$$\Gamma_\gamma^{(1)} = -4(N^2 - 1)\gamma^4 - \frac{3(N^2 - 1)}{32\pi^2} g^2 N \gamma^4 \left(\ln \frac{2Ng^2\gamma^4}{\mu^4} - \frac{8}{3} \right). \quad (6.6)$$

de onde podemos extrair facilmente a equação do gap renormalizada

$$\frac{5}{3} - \ln \frac{2Ng^2\gamma^4}{\bar{\mu}^4} = \frac{128\pi^2}{3g^2N}. \quad (6.7)$$

Assim, temos a ação quântica a um laço (6.6) e a correspondente equação do gap (6.7) que determina o valor físico do parâmetro de Gribov.

6.1.2 Renormalization group invariance

A ação (5.27) é, de fato, multiplicativamente renormalizável, o que faz com que a ação efetiva associada obedeça a uma equação homogênea do grupo de renormalização. Por segurança, é conveniente checarmos a invariância da ação efetiva (6.6) sob o grupo de renormalização. Para isso necessitamos saber a dimensão anômala do parâmetro de Gribov. Da expressão (5.50), vinculando os fatores de renormalização das fontes externas auxiliares, é fácil ver que

$$\gamma_{\gamma^2}(g^2) = -\frac{1}{2} \left[\frac{\beta(g^2)}{2g^2} - \gamma_A(g^2) \right], \quad (6.8)$$

onde $\gamma_A(g^2)$ representa a dimensão anômala do campo de gluons A_μ^a e, obviamente, $\beta(g^2)$ é a função beta associada a dimensão anômala da constante de acoplamento g . Note que a relação (6.8) é válida a todas as ordens em teorias de perturbações. Desta forma, é fácil checar que, a um laço,

$$\bar{\mu} \frac{d\Gamma_\gamma^{(1)}}{d\bar{\mu}} = \left[\frac{\beta^{(1)}(g^2)}{2g^2} - \gamma_A^{(1)}(g^2) + \frac{3Ng^2}{32\pi^2} \right] 4(N^2 - 1)\gamma^4. \quad (6.9)$$

Ainda, das expressões a um laço da dimensão anômala do glúon e da função beta, (4.33), é trivial checar que

$$\bar{\mu} \frac{d\Gamma^{(1)}}{d\bar{\mu}} = 0, \quad (6.10)$$

provando assim a invariância sob o grupo de renormalização da ação quântica a um laço.

6.1.3 Vacuum energy analysis

Antes de discutirmos as possíveis soluções da equação do gap (6.7), vamos previamente substituir a mesma na expressão da ação efetiva (6.6). Esta substituição nos fornece a expressão geral da energia do vácuo a um laço, no esquema de renormalização $\overline{\text{MS}}$. Encontramos facilmente que, independentemente da escala escolhida,

$$E_{vac}^{\overline{\text{MS}}} = \frac{3(N^2 - 1)}{32\pi^2} g^2 N \gamma^4 > 0. \quad (6.11)$$

Vemos que a energia do vácuo a um laço, no esquema $\overline{\text{MS}}$, é sempre maior que zero. De fato podemos mostrar que a energia do vácuo, a um laço, é sempre positiva, independentemente do esquema de renormalização escolhido e dada pela expressão (6.11). Seja então a ação efetiva a um laço renormalizada num esquema de renormalização não massivo geral

$$\Gamma = -4(N^2 - 1)\gamma^4 - \frac{3Ng^2\gamma^4(N^2 - 1)}{32\pi^2} \left(\ln \frac{2Ng^2\gamma^4}{\bar{\mu}^4} + a \right), \quad (6.12)$$

com a uma constante arbitrária. A equação do gap correspondente seria então

$$-4 - \frac{3g^2 N}{32\pi^2} \left(\ln \frac{2Ng^2\gamma^4}{\bar{\mu}^4} + a \right) - \frac{3g^2 N}{32\pi^2} = 0. \quad (6.13)$$

Assim, substituindo a equação do gap (6.13) na ação quântica (6.12) chegamos a expressão da energia do vácuo a um laço, independente do esquema de renormalização empregado, que coincide exatamente com a expressão do caso $\overline{\text{MS}}$, (6.11). Esta expressão é válida para qualquer escala $\bar{\mu}$ e para qualquer valor de a . Desta forma, concluímos que a energia do vácuo a um laço é sempre positiva no modelo original de Gribov-Zwanziger.

Resaltamos a importância do sinal da energia do vácuo, uma vez que é relacionada ao condensado de gluons $\langle F_{\mu\nu}^a F_{\mu\nu}^a \rangle$, através da anomalia do traço. Da expressão da anomalia do traço,

$$\theta_{\mu\mu} = \frac{\beta(g^2)}{2g^2} F_{\mu\nu}^a F_{\mu\nu}^a, \quad (6.14)$$

pode-se deduzir a energia do vácuo e conectá-la ao condensado $\langle F_{\mu\nu}^a F_{\mu\nu}^a \rangle$. Em particular, para o caso $N = 3$, encontra-se

$$\left\langle \frac{g^2}{4\pi^2} F_{\mu\nu}^a F_{\mu\nu}^a \right\rangle = -\frac{32}{11} E_{\text{vac}}, \quad (6.15)$$

a dois laços. Desta forma, um valor positivo da energia do vácuo implica num valor negativo para o condensado $\left\langle \frac{g^2}{4\pi^2} F_{\mu\nu}^a F_{\mu\nu}^a \right\rangle$, em contradição com o que é usualmente encontrado, [65, 153]. Note, ainda, que, até onde se sabe (quatro laços), a função beta é negativa, [154, 155, 156]. Portanto, E_{vac} e $\left\langle \frac{g^2}{4\pi^2} F_{\mu\nu}^a F_{\mu\nu}^a \right\rangle$ devem permanecer com sinais opostos a ordens superiores.

Mesmo com o resultado desanimador de uma energia positiva para o vácuo, podemos ainda tentar encontrar soluções para o parâmetro de Gribov. Para tal, vamos nos concentrar agora no esquema $\overline{\text{MS}}$, ou seja, nas equações (6.6) e (6.7). A escolha natural para a escala de renormalização na equação do gap (6.7) seria $\bar{\mu}^4 = 2Ng^2\gamma^4$ de forma a eliminar os logaritmos. O que nos fornece para o parâmetro de expansão perturbativa o valor

$$\frac{g^2 N}{16\pi^2} \Big|_{\bar{\mu}^4 = 2Ng^2\gamma^4} = \frac{8}{5} > 1. \quad (6.16)$$

o que já invalida uma solução confiável.

Podemos, ainda, tentar encontrar uma escala que nos forneça uma constante de expansão relativamente pequena. Para tal basta impormos a condição $\frac{g^2 N}{16\pi^2} < 1$ na equação do gap (6.7), o que nos leva a

$$\ln \left(\frac{2Ng^2\gamma^4}{\bar{\mu}^4} \right) < -1. \quad (6.17)$$

Infelizmente, a equação (6.17) não possui solução real para $\bar{\mu}$. Este resultado implica ainda que, no esquema $\overline{\text{MS}}$, a técnica de resomar logaritmos dominantes está fora de aplicabilidade. Ainda, os resultados desta seção (Energia do vácuo positiva e não termos encontrado uma solução consistente para a equação do gap) indicam que devemos efetuar cálculos com mais laços para tentar obter mais informações sobre o parâmetro de Gribov e o horizonte.

Devemos chamar atenção para o fato de que, recentemente, cálculos explícitos com métodos numéricos tem sido empregados para extrair informações sobre as propriedades quânticas da ação de Gribov-Zwanziger, [134, 135]. Em [134] a equação do gap a dois laços foi calculada e a singularidade do

propagador dos campos fantasmas foi verificada. Em [135] o propagador do campo de gluons foi calculado a um laço, confirmando sua nulidade no limite infravermelho. Ainda, a constante de acoplamento invariante pelo grupo de renormalização, a um laço, se mostrou congelar num valor finito no limite de baixas energias. Sendo o cálculo feito utilizando o propagador dos campos fantasmas em união com o propagador do glúon através do teorema de não renormalização dos campos fantasmas, [124]. Notavelmente, este teorema se mostra válido quando o horizonte é levado em conta, [11], fato também evidenciado por cálculos na rede, [157]. Contudo, as equações a dois laços também parecem não fornecer nenhuma solução consistente, indicando que o problema de Gribov seja alta e exclusivamente não perturbativo.

6.2 Gribov horizon in the presence of the operator $A_\mu^a A_\mu^a$

Uma vez que discutimos algumas propriedades quânticas da ação de Gribov-Zwanziger a um laço, podemos iniciar o estudo da mesma na presença do operador $A_\mu^a A_\mu^a$. Isto significa que na ação (5.31), além dos operadores compostos $f^{abc} A_\mu^a \varphi_\mu^{bc}$ e $f^{abc} A_\mu^a \bar{\varphi}_\mu^{bc}$, consideraremos também a inserção $A_\mu^a A_\mu^a$. Começemos, antes de entrarmos nos cálculos explícitos, por discutir sua renormalizabilidade.

6.2.1 Renormalizability

Introduziremos o operador $A_\mu^a A_\mu^a$ através do método LCO, como discutido na segunda parte desta tese e em [11]. De acordo com este método o operador $A_\mu^a A_\mu^a$ pode ser introduzido considerando a ação

$$\Sigma' = \Sigma + S_{LCO}, \quad (6.18)$$

onde Σ , dada por (5.38), é a ação de Gribov-Zwanziger com o sistema de fontes auxiliares e ação de fontes externas para definir as transformações BRST não lineares. A ação LCO, por sua vez, é dada por (3.31). É importante ter em mente que as fontes auxiliares $\{U, V, M, N\}$, bem como as fontes LCO $\{\lambda, J\}$ são introduzidas de forma a manter a simetria BRST da ação de partida, bem como a renormalizabilidade por contagem de potências. Ainda, o parâmetro LCO, ζ , é necessário para absorver as divergências da função de correlação $\langle A^2(x)A^2(y) \rangle$. Ademais, como discutido na segunda parte desta tese, este parâmetro é fundamental para se estabelecer a invariância sob o grupo de renormalização, veja [64].

Para provar a renormalizabilidade da ação (6.18) utilizamos a teoria de renormalização algébrica, [48]. Os detalhes técnicos da prova podem ser encontrados em [11]. O primeiro passo é identificar as identidades de Ward presentes na ação (6.18). De fato, exceto pela identidade de Slavnov-Taylor, as identidades existentes na ação de Gribov-Zwanziger, (5.38), se preservam identicamente na presença do termo LCO (3.31). Tais identidades estão listadas em (5.40-5.46), onde devemos apenas substituir Σ por Σ' . O mesmo é válido para a equação de inserção (3.38), definindo o operador $A_\mu^a A_\mu^a$, compativelmente com a simetria $SL(2, \mathbb{R})$, (3.39). A única identidade que se altera é a identidade de Slavnov-Taylor, devido a presença do dubleto de fontes LCO, $\{\lambda, J\}$, veja (3.32). A identidade de Slavnov-Taylor fica na forma

$$\begin{aligned} \mathcal{S}(\Sigma') = \int d^4x \left(\frac{\delta \Sigma'}{\delta \Omega_\mu^a} \frac{\delta \Sigma'}{\delta A_\mu^a} + \frac{\delta \Sigma'}{\delta L^a} \frac{\delta \Sigma'}{\delta c^a} + b^a \frac{\delta \Sigma'}{\delta \bar{c}^a} + \bar{\varphi}_i^a \frac{\delta \Sigma'}{\delta \bar{\omega}_i^a} + \omega_i^a \frac{\delta \Sigma'}{\delta \varphi_i^a} \right. \\ \left. + M_\mu^{ai} \frac{\delta \Sigma'}{\delta U_\mu^{ai}} + N_\mu^{ai} \frac{\delta \Sigma'}{\delta V_\mu^{ai}} + J \frac{\delta \Sigma'}{\delta \lambda} \right) = 0, \end{aligned} \quad (6.19)$$

O segundo passo é encontrar o contratermo mais geral possível de forma a respeitar as identidades de Ward da ação de partida, Σ' . De acordo com [11], o contratermo mais geral se escreve como*

$$\begin{aligned} \Sigma'^c &= a_0 S_{YM} + a_1 \int d^4x \left(A_\mu^a \frac{\delta S_{YM}}{\delta A_\mu^a} + \tilde{\Omega}_\mu^a \partial_\mu c^a + \tilde{V}_\mu^{ai} \tilde{M}_\mu^{ai} - \tilde{U}_\mu^{ai} \tilde{N}_\mu^{ai} \right) \\ &+ \int d^4x \left[\frac{a_1}{2} J A_\mu^a A_\mu^a + \frac{a_8}{2} \zeta J^2 \right]. \end{aligned} \quad (6.20)$$

O terceiro e último passo é checar a renormalizabilidade multiplicativa da teoria, mostrando que o contratermo (6.20) pode ser reabsorvido pela ação clássica (6.18). É importante ressaltar que, devido a validade das identidades (5.40-5.46) e (3.38), no presente caso, todas as propriedades de renormalização obtidas no caso de Gribov-Zwanziger puro (Veja capítulo anterior) se preservam quando incluído o operador $A_\mu^a A_\mu^a$ bem como as propriedades do setor LCO. Esta preservação é facilmente entendida observando que o setor de Gribov-Zwanziger não se mistura com o setor LCO devido aos números quânticos dos campos e fontes envolvidos. Desta forma, os fatores de renormalização dos campos, fontes e parâmetro são dados ainda por (3.42), (5.50) e (3.44).

De fato, os teoremas de não renormalização mais importantes aqui presentes são os que se seguem: O teorema de não renormalização dos campos de Faddeev-Popov e dos campos auxiliares de Zwanziger, (5.50), a não renormalização do operador $A_\mu^a A_\mu^a$, (3.44), de onde extraímos a não renormalização do parâmetro de Gribov, γ ,

$$Z_{\gamma^2} = Z_g^{-1/2} Z_A^{-1/4}, \quad (6.21)$$

relação que gera a dimensão anômala do parâmetro de Gribov na forma (6.8). Relembramos que os fatores de renormalização da constante de acoplamento e do glúon estão descritas em (3.42).

Em resumo, a ação de Gribov-Zwanziger se mostra multiplicativamente renormalizável ainda na presença do operador $A_\mu^a A_\mu^a$, possuindo apenas três divergências independentes. Esta propriedade diz que, de fato, a ação quântica efetiva obedece a uma equação homogênea do grupo de renormalização, o que nos permite tentar obter estimativas dos valores do parâmetro de Gribov e do condensado $\langle A_\mu^a A_\mu^a \rangle$.

6.2.2 One-loop quantum action in $\overline{\text{MS}}$ scheme

Uma vez provada a renormalizabilidade da ação de Gribov-Zwanziger podemos partir para o cálculo da ação quântica efetiva a um laço. Para tal, de acordo com o método LCO [64], devemos colocar todas as fontes externas em seus respectivos valores físicos. As fontes de Zwanziger assumem os valores dados em (5.35) enquanto as demais fontes se anulam. Contudo, devemos notar que nem todos os termos de fontes podem ser colocados a zero diretamente. No caso das fontes de Zwanziger, o limite físico pode ser tomado sem problema algum, pois os termos de fontes puras não se renormalizam, veja (5.50) e (6.21). No caso da fonte LCO J , o termo quadrático, proporcional a ζ possui contratermo correspondente a renormalização das funções de correlação $\langle A^2(x) A^2(y) \rangle$, carregando, assim, divergências de vácuo. Desta forma, a ação a ser considerada deve ser

$$S_J = S_{phys} + \int d^4x \left(\frac{J}{2} A_\mu^a A_\mu^a - \frac{\zeta}{2} J^2 \right), \quad (6.22)$$

onde S_{phys} é dada pela ação física de Gribov-Zwanziger na forma local, (5.27). Para dar conta do termo quadrático em J , introduzimos os campos de Hubbard-Stratonovich, σ , através da introdução

*Diferentemente de [11], estamos considerando a equação de inserção (3.38), que é responsável pelo teorema de não renormalização do operador A^2 , definido em (3.44).

da unidade na forma (3.51). Tal transformação elimina o termo quadrático em J , permitindo assim o procedimento padrão do cálculo de uma ação efetiva, sem fontes para atrapalhar. A ação resultante é, portanto,

$$S'_J = S_{phys} + S_\sigma - \int d^4x \frac{J}{g} \sigma, \quad (6.23)$$

onde a ação S_σ é dada por (3.53). Como discutido em [64, 97, 98, 5, 11], o campo auxiliar de Hubbard-Stratonovich aparece acoplado linearmente a fonte J , de forma que o operador $A_\mu^a A_\mu^a$ está relacionado ao campo σ através da seguinte relação

$$\langle A_\mu^a A_\mu^a \rangle = -\frac{1}{g} \langle \sigma \rangle. \quad (6.24)$$

A relação (6.24) nos diz que um valor esperado não nulo de σ resulta num valor não trivial para o condensado $\langle A_\mu^a A_\mu^a \rangle$. Uma vez resolvido o problema do termo quadrático em J , podemos voltar ao trabalho de calcular a ação efetiva. Assim, para tal, fazemos $J = 0$ e consideramos apenas os termos quadráticos em (6.23), de forma que a ação quântica a um laço se define como

$$e^{-\Gamma^{(1)}} = \int DAD\bar{\varphi}D\varphi e^{-S'_{quad}}, \quad (6.25)$$

com a ação quadrática explícita dada por

$$\begin{aligned} S'_{quad} = & \int d^4x \left[\frac{1}{4} (\partial_\mu A_\nu^a - \partial_\nu A_\mu^a)^2 + \frac{1}{2\alpha} (\partial_\mu A_\mu^a)^2 + \bar{\varphi}_\mu^{ab} \partial^2 \varphi_\mu^{ab} \right. \\ & \left. - \gamma^2 g (f^{abc} A_\mu^a \varphi_\mu^{bc} + f^{abc} A_\mu^a \bar{\varphi}_\mu^{bc}) - d(N^2 - 1)\gamma^4 + \frac{\sigma^2}{2g^2\zeta} + \frac{1}{2g\zeta} \sigma A_\mu^a A_\mu^a \right], \end{aligned} \quad (6.26)$$

onde o limite $\alpha \rightarrow 0$ deve ser tomado no final para recuperarmos o calibre de Landau. Lembramos ainda que, não há integração em σ pois estamos calculando o potencial efetivo nos valores estáveis do mesmo.

Cabem agora algumas importantes observações. Primeiramente, vemos que tomando o valor trivial do campo de Hubbard-Stratonovich, $\sigma = 0$, recaímos no caso da ação de Gribov-Zwanziger sem o operador de glúon discutido na seção anterior. Por outro lado, o limite $\gamma = 0$, nos fornece o caso de Yang-Mills sem a restrição ao horizonte de Gribov, recaindo assim no caso onde temos apenas o efeito do condensado $\langle A_\mu^a A_\mu^a \rangle$, discutido no início da segunda parte desta tese. Lembramos que estes limites são válidos apenas na ausência das equações de gap que fixam tais quantidades a valores físicos da teoria, no caso a condição de horizonte

$$\frac{\partial \Gamma^{(1)}}{\partial \gamma^2} = 0. \quad (6.27)$$

e a minimização do potencial de σ

$$\frac{\partial \Gamma^{(1)}}{\partial \sigma} = 0. \quad (6.28)$$

Estas condições não excluem as soluções triviais, porém, no caso da condição de horizonte, tal solução implica na não restrição de Gribov, o que não é aceitável na presente argumentação. O caso em que o condensado de gluons é trivial foi estudado na seção anterior, contudo, este caso se mostrou um tanto

obscuro a um laço, uma vez que a energia do vácuo se mostra positiva e o parâmetro de expansão muito grande. Aqui vamos desconsiderar desde já a possibilidade de soluções triviais, procuraremos, portanto, apenas por soluções não triviais.

Outra importante observação diz respeito ao parâmetro LCO ζ . As equações de gap (6.27-6.28) não fixam este parâmetro, deixando-o livre na teoria. Contudo, de acordo com o discutido na segunda parte desta tese e em [64, 97, 98, 5, 7], ζ é fixado de forma que a ação quântica $\Gamma^{(1)}$ deva obedecer a uma equação homogênea do grupo de renormalização,

$$\left[\bar{\mu} \frac{\partial}{\partial \bar{\mu}} + \beta(g^2) \frac{\partial}{\partial g^2} + \gamma_{\gamma^2}(g^2) \gamma^2 \frac{\partial}{\partial \gamma^2} + \gamma_\sigma(g^2) \sigma \frac{\partial}{\partial \sigma} \right] \Gamma = 0, \quad (6.29)$$

com

$$\begin{aligned} \bar{\mu} \frac{\partial g^2}{\partial \bar{\mu}} &= \beta(g^2), \\ \bar{\mu} \frac{\partial \gamma^2}{\partial \bar{\mu}} &= \gamma_{\gamma^2}(g^2) \gamma^2, \\ \bar{\mu} \frac{\partial \sigma}{\partial \bar{\mu}} &= \gamma_\sigma(g^2) \sigma. \end{aligned} \quad (6.30)$$

Esta exigência é satisfeita se escolhemos ζ como uma função da constante de acoplamento g^2 , na forma

$$\zeta(g^2) = \frac{\zeta_0}{g^2} + \zeta_1 + \zeta_2 g^2 + \dots \quad (6.31)$$

Retornando à ação efetiva a um laço (6.25), é fácil calcular a expressão não renormalizada de $\Gamma^{(1)}$, em d dimensões na regularização dimensional,

$$\Gamma^{(1)} = -d(N^2 - 1) \gamma^4 + \frac{\sigma^2}{2g^2 \zeta} + \frac{N^2 - 1}{2} (d - 1) \int \frac{d^d p}{(2\pi)^d} \ln \left[p^4 + 2Ng^2 \gamma^4 + \frac{g\sigma}{g^2 \zeta} p^2 \right]. \quad (6.32)$$

de onde extraímos as expressões não renormalizadas das equações de gap, a partir de (6.27-6.28),

$$\begin{aligned} \frac{\sigma}{\zeta_0} \left(1 - \frac{\zeta_1}{\zeta_0} g^2 \right) + \frac{(N^2 - 1) g (d - 1)}{2 \zeta_0} \int \frac{d^d p}{(2\pi)^d} \frac{p^2}{p^4 + \frac{g\sigma}{\zeta_0} p^2 + 2Ng^2 \gamma^4} &= 0, \\ \frac{d - 1}{d} g^2 N \int \frac{d^d p}{(2\pi)^d} \frac{1}{p^4 + \frac{g\sigma}{\zeta_0} p^2 + 2Ng^2 \gamma^4} &= 1. \end{aligned} \quad (6.33)$$

Vemos que a segunda das (6.33) coincide com a equação do gap obtida previamente em [6], enquanto que a primeira descreve a condensação de $A_\mu^a A_\mu^a$ quando a restrição à região de Gribov é levada em consideração. Notamos que o valor do condensado agora é influenciado pelo valor do parâmetro de Gribov.

De acordo com [11], depois de um elaborado cálculo no esquema de renormalização $\overline{\text{MS}}$ em (6.32),

chegamos, finalmente, a[†]

$$\begin{aligned} \Gamma^{(1)} &= -\frac{(N^2-1)\lambda^4}{2g^2N} + \frac{\zeta_0 m^4}{2g^2} \left(1 - \frac{\zeta_1}{\zeta_0} g^2\right) \\ &+ \frac{3(N^2-1)}{256\pi^2} \left[\left(m^2 + \sqrt{m^4 - \lambda^4}\right)^2 \left(\ln \frac{m^2 + \sqrt{m^4 - \lambda^4}}{2\bar{\mu}^2} - \frac{5}{6}\right) \right. \\ &\left. + \left(m^2 - \sqrt{m^4 - \lambda^4}\right)^2 \left(\ln \frac{m^2 - \sqrt{m^4 - \lambda^4}}{2\bar{\mu}^2} - \frac{5}{6}\right) + \lambda^4 \right], \end{aligned} \quad (6.35)$$

onde a notação foi simplificada para[‡]

$$\lambda^4 = 8g^2 N \gamma^4, \quad (6.36)$$

$$m^2 = \frac{g\sigma}{\zeta_0}. \quad (6.37)$$

Nesta notação, as equações de gap (6.27-6.28) passam a ser expressas, respectivamente, como

$$\begin{aligned} \frac{\partial \Gamma^{(1)}}{\partial \lambda} &= 0, \\ \frac{\partial \Gamma^{(1)}}{\partial m^2} &= 0. \end{aligned} \quad (6.38)$$

Da expressão da ação efetiva a um laço renormalizada (6.35) podemos então, com o auxílio das (6.38), extrair as equações do gap renormalizadas, a um laço,

$$\begin{aligned} 0 &= \frac{3Ng^2}{256\pi^2} \left[-2 \frac{(m^2 + \sqrt{m^4 - \lambda^4})}{\sqrt{m^4 - \lambda^4}} \ln \frac{m^2 + \sqrt{m^4 - \lambda^4}}{2\bar{\mu}^2} \right. \\ &\left. + 2 \frac{(m^2 - \sqrt{m^4 - \lambda^4})}{\sqrt{m^4 - \lambda^4}} \ln \frac{m^2 - \sqrt{m^4 - \lambda^4}}{2\bar{\mu}^2} + \frac{20}{3} \right] - 1, \end{aligned} \quad (6.39)$$

e

$$\begin{aligned} 0 &= \frac{\zeta_0 m^2}{g^2} \left(1 - \frac{\zeta_1}{\zeta_0} g^2\right) \\ &+ \frac{3(N^2-1)}{256\pi^2} \left[2 \left(m^2 + \sqrt{m^4 - \lambda^4}\right) \left(1 + \frac{m^2}{\sqrt{m^4 - \lambda^4}}\right) \ln \frac{m^2 + \sqrt{m^4 - \lambda^4}}{2\bar{\mu}^2} \right. \\ &\left. + 2 \left(m^2 - \sqrt{m^4 - \lambda^4}\right) \left(1 - \frac{m^2}{\sqrt{m^4 - \lambda^4}}\right) \ln \frac{m^2 - \sqrt{m^4 - \lambda^4}}{2\bar{\mu}^2} - \frac{8}{3} m^2 \right]. \end{aligned} \quad (6.40)$$

[†]Observamos que a expressão (6.35) também é válida, ou seja, real, quando $m^4 < \lambda^4$, se $\ell_+(m, \lambda)$ e $\ell_-(m, \lambda)$, definidos como

$$\begin{aligned} \ell_+(m, \lambda) &= \left(m^2 + \sqrt{m^4 - \lambda^4}\right)^2 \left(\ln \frac{m^2 + \sqrt{m^4 - \lambda^4}}{2\bar{\mu}^2} - \frac{5}{6}\right), \\ \ell_-(m, \lambda) &= \left(m^2 - \sqrt{m^4 - \lambda^4}\right)^2 \left(\ln \frac{m^2 - \sqrt{m^4 - \lambda^4}}{2\bar{\mu}^2} - \frac{5}{6}\right), \end{aligned} \quad (6.34)$$

são complexos conjugados. Onde utilizamos a relação $\ln(z) = \ln|z| + i \arg(z)$ com $-\pi < \arg(z) \leq \pi$.

[‡]Nenhuma confusão é esperada com relação a fonte LCO λ que já foi eliminada para se efetuar o cálculo da ação efetiva.

Antes de tentarmos resolver as equações de gap (6.39-6.40), vamos checar algumas propriedades da ação quântica (6.35) sob o grupo de renormalização.

6.2.3 Renormalization group

Nesta seção vamos checar a invariância da ação quântica efetiva a um laço (6.35) sob o grupo de renormalização. Para tal necessitamos de algumas dimensões anômalas. Primeiramente, definimos as dimensões anômalas dos novos parâmetros m^2 e λ , definidos em (6.37), de acordo com

$$\begin{aligned}\bar{\mu} \frac{\partial m^2}{\partial \bar{\mu}} &= \gamma_{m^2}(g^2) m^2, \\ \bar{\mu} \frac{\partial \lambda}{\partial \bar{\mu}} &= \gamma_\lambda(g^2) \lambda,\end{aligned}\tag{6.41}$$

Utilizando as relações (6.21) e a definição (6.37), é fácil deduzir que

$$\begin{aligned}\gamma_{m^2}(g^2) &= \left[\frac{\beta(g^2)}{2g^2} - \gamma_A(g^2) \right], \\ \gamma_\lambda(g^2) &= \frac{1}{4} \left[\frac{\beta(g^2)}{2g^2} + \gamma_A(g^2) \right].\end{aligned}\tag{6.42}$$

A primeira das (6.42) é a relação análoga da dimensão anômala do operador $A_\mu^a A_\mu^a$, dada em (3.50). Vemos que, notavelmente, as dimensões anômalas do operador $A_\mu^a A_\mu^a$ e de λ são diretamente proporcionais, a todas as ordens em teorias de perturbações.

A ação quântica (6.35) deve, portanto, obedecer a seguinte equação homogênea do grupo de renormalização

$$\left[\bar{\mu} \frac{\partial}{\partial \bar{\mu}} + \beta(g^2) \frac{\partial}{\partial g^2} + \gamma_\lambda(g^2) \lambda \frac{\partial}{\partial \lambda} + \gamma_{m^2}(g^2) m^2 \frac{\partial}{\partial m^2} \right] \Gamma^{(1)} = 0.\tag{6.43}$$

Assim, utilizando as relações de um laço da dimensão anômala do glúon e da função beta, dadas por (6.8), é trivial checar que

$$\bar{\mu} \frac{d}{d\bar{\mu}} \Gamma^{(1)} = 0,\tag{6.44}$$

confirmando a invariância sob o grupo de renormalização da ação (6.35).

6.2.4 Gap equations analysis

Agora temos todas as ferramentas para resolvermos as equações de gap (6.39-6.40) no esquema \overline{MS} . Contudo, é fácil mostrar que neste esquema não existe solução para $m^2 > 0$. Para tal vamos utilizar os valores explícitos de ζ_0 e ζ_1 , dados por (3.47), que podem ser encontrados em [64, 98, 5]. Seja agora a variável

$$t = \frac{\lambda^4}{m^4},\tag{6.45}$$

de forma que as (6.39-6.40) passam a ser escritas como

$$\begin{aligned}\frac{16\pi^2}{g^2 N} &= \frac{3}{8} \left(-2 \ln \frac{m^2}{2\bar{\mu}^2} + \frac{5}{3} + \frac{1}{\sqrt{1-t}} \ln \frac{t}{(1+\sqrt{1-t})^2} - \ln t \right), \\ -\frac{24}{13} \left(\frac{16\pi^2}{g^2 N} \right) + \frac{322}{39} &= 4 \ln \frac{m^2}{2\bar{\mu}^2} - \frac{4}{3} - \frac{2-t}{\sqrt{1-t}} \ln \frac{t}{(1+\sqrt{1-t})^2} + 2 \ln t.\end{aligned}\tag{6.46}$$

Assim, combinando as duas (6.46) para eliminarmos os logaritmos e, conseqüentemente, a dependência na escala $\bar{\mu}$, chegamos à condição

$$\frac{68}{39} \left(\frac{16\pi^2}{g^2 N} \right) + \frac{122}{39} = \frac{1}{2} \frac{t}{\sqrt{1-t}} \ln \frac{t}{(1 + \sqrt{1-t})^2}. \quad (6.47)$$

O lado esquerdo desta condição, assumindo um resultado consistente ($g^2 > 0$), é sempre positivo. Contudo, o lado direito de (6.47) é sempre negativo para $t > 0$. Portanto, não temos solução para $m^2 > 0$, independentemente da escala $\bar{\mu}$.

Podemos ainda assumir a possibilidade de haver uma solução para $m^2 < 0$. Para tal, desenhemos a condição de horizonte (6.47) como função de λ^4 , veja Fig. 6.1. Nesta figura a curva fina corresponde ao caso $m^2 < 0$, enquanto a curva grossa representa as soluções para $m^2 > 0$. Analizando esta figura, concluímos claramente que não existe solução para $m^2 > 0$, uma vez que a condição não atinge o zero. Este resultado geral está de acordo com o obtido anteriormente, de forma independente de $\bar{\mu}$. Contudo, vemos que existe uma única solução para o caso $m^2 < 0$.

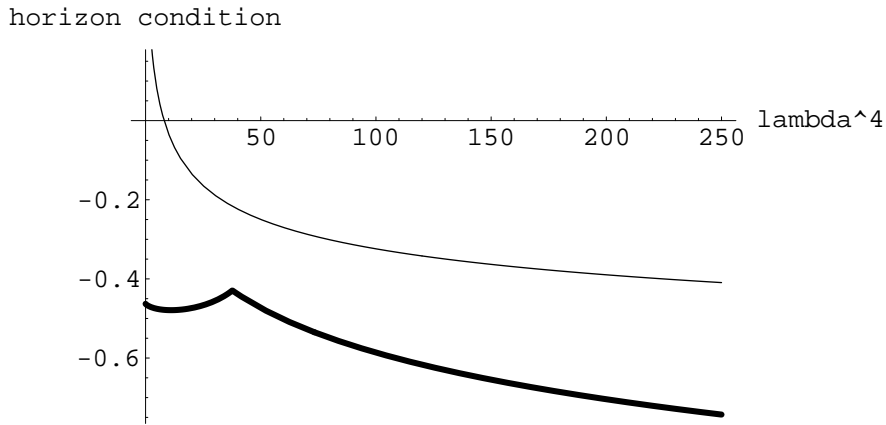


Figure 6.1: Condição de horizonte como função do parâmetro de Gribov em unidades de $\Lambda_{\overline{MS}}$.

Os valores correspondentes para o parâmetro de expansão, o parâmetro de Gribov e o condensado, bem como a energia do vácuo são, de fato,

$$\begin{aligned} \frac{g^2 N}{16\pi^2} &\approx 1.41, \\ \lambda^4 &\approx 8.063 \Lambda_{\overline{MS}}^4, \\ m^2 &\approx -0.950 \Lambda_{\overline{MS}}^2, \\ E_{\text{vac}} &\approx 0.047 \Lambda_{\overline{MS}}^4. \end{aligned} \quad (6.48)$$

Estes resultados não são, obviamente, satisfatórios pois o parâmetro de expansão não é pequeno o suficiente para dar sentido a uma série perturbativa. Ainda, a energia do vácuo permanece positiva, como no caso sem condensação discutido na seção anterior. Contudo, é a única solução possível no caso

do esquema de renormalização $\overline{\text{MS}}$. O próximo passo é tentar otimizar o esquema de renormalização de forma a eliminar a dependência dos resultados encontrados no esquema de renormalização escolhido, seja o esquema $\overline{\text{MS}}$ ou qualquer outro esquema.

6.2.5 Optimization of the renormalization scheme

No caso em que a condensação do operador $A_\mu^a A_\mu^a$ não é levada em consideração, mostramos que a energia do vácuo a um laço é sempre positiva, independentemente da escala e do esquema de renormalização. Contudo, no caso em que a condensação é estudada na presença do horizonte de Gribov, apenas um estudo no esquema $\overline{\text{MS}}$ foi efetuado. Vamos, portanto, tentar minimizar a dependência dos resultados no esquema de renormalização escolhido. Esse estudo é motivado pelo fato de que cálculos mais precisos (dois ou mais laços) estão fora da ambição desta tese, dada a complicação já presente nos cálculos a um laço aqui apresentados. Portanto, a alteração no esquema de renormalização permanecerá na aproximação de um laço. Assim, de alguma forma, num esquema de renormalização diferente do $\overline{\text{MS}}$, o parâmetro de expansão poderia apresentar um valor pequeno o suficiente para dar sentido a uma solução. Ou mesmo a energia do vácuo poderia vir a assumir um valor negativo. Contudo, tal otimização do esquema de renormalização consiste num longo cálculo técnico, o que não é interessante sob o ponto de vista físico. Desta forma, os detalhes técnicos do método podem ser encontrados em [11] ou no Apêndice[§] C. Aqui, vamos nos concentrar nos principais resultados obtidos após a otimização.

De acordo com o Apêndice C, o que, essencialmente, foi feito foi substituir as quantidades m^2 e λ^4 , na ação efetiva (6.35), por seus correspondentes invariantes de escala e de esquema de renormalização, ordem a ordem, \hat{m}^2 e $\hat{\lambda}^4$, respectivamente. A liberdade na escolha do esquema de renormalização residual pode ser reduzida a um parâmetro único, denotado por b_0 , relacionado à renormalização da constante de acoplamento. Desta forma, por construção, \hat{m}^2 e $\hat{\lambda}^4$ devem ser independentes de b_0 . Do mesmo modo, a energia do vácuo, sendo uma quantidade física, deve ser independente de b_0 . Este método torna possível fixar o parâmetro b_0 requerendo uma dependência mínima neste parâmetro.

Como primeiro exemplo escolhemos $b_0 = 0$, o que corresponde a utilizar a constante de acoplamento do esquema $\overline{\text{MS}}$. Desta forma, com a expansão otimizada, encontramos

$$\begin{aligned} y &\equiv \frac{N}{16\pi^2 x} \approx 0.340, \\ \hat{\lambda}^4 x^{-2b} &\approx 15.66 \Lambda_{\overline{\text{MS}}}^4, \\ \hat{m}^2 x^{-a} &\approx -1.40 \Lambda_{\overline{\text{MS}}}^2, \\ E_{\text{vac}} &\approx 0.11 \Lambda_{\overline{\text{MS}}}^4, \end{aligned} \tag{6.49}$$

Vemos que a constante de acoplamento y já é relativamente pequena, menor que 1, enquanto a energia do vácuo permanece positiva.

Agora, utilizando a quantidade $\Upsilon(b_0)$, como definida em (C.28), o valor ótimo para b_0 é dado por

[§]Este apêndice foi incorporado à tese pois possui definições e notações necessárias para se entender os resultados que se seguem, bem como, diferentemente de cálculos a um laço, é um método novo, que não está presente na literatura usual.

$b_0^* \approx 0.425$. Utilizando este valor, encontramos[¶],

$$\begin{aligned} y &\equiv \frac{N}{16\pi^2 x} \approx 0.047, \\ \widehat{\lambda}^4 x^{-2b} &\approx 2.07 \Lambda_{\overline{\text{MS}}}^4, \\ \widehat{m}^2 x^{-a} &\approx -0.23 \Lambda_{\overline{\text{MS}}}^2, \\ E_{\text{vac}} &\approx 0.019 \Lambda_{\overline{\text{MS}}}^4, \end{aligned} \tag{6.50}$$

Vemos que o parâmetro de expansão é satisfatoriamente pequeno neste caso enquanto que a energia do vácuo permanece positiva. A conclusão a que chegamos, portanto, é que não somos capazes de encontrar uma solução satisfatória com energia do vácuo negativa, e conseqüentemente, com condensado de glúon $\langle F_{\mu\nu}^a F_{\mu\nu}^a \rangle$ positivo. Como os cálculos foram feitos na aproximação de um laço, seria interessante que fossem efetuados cálculos a dois ou mais laços, para que uma resposta mais forte pudesse ser dada para o sinal de m^2 e E_{vac} . Da mesma forma, tais cálculos forneceriam valores numéricos mais confiáveis. Ainda, podemos argumentar sobre a possibilidade de a presença do horizonte colocar a teoria num nível altamente não-perturbativo, de forma que um algoritmo analítico realmente não perturbativo fosse necessário. Infelizmente tal conclusão não passa de especulação, uma vez que tal técnica infravermelha não está a nossa disposição.

Lembramos que no esquema de renormalização $\overline{\text{MS}}$, a um laço, a solução das equações do gap são, necessariamente, tais que $\langle A_\mu^a A_\mu^a \rangle > 0$. Por outro lado, sem a restrição à região de Gribov, o valor encontrado foi $\langle A_\mu^a A_\mu^a \rangle < 0$, utilizando a técnica LCO, [64, 98, 5]. Lembramos também que em [94, 158, 159, 95, 102], foi encontrado um valor positivo para $\langle A_\mu^a A_\mu^a \rangle$, utilizando a expansão em produto de operadores em combinação com o operador $\langle A_\mu^a A_\mu^a \rangle$. Contudo, quando o horizonte é levado em consideração, a massa dinâmica deixa de ser interpretado como uma massa efetiva, uma vez que os pólos do propagador do glúon passam a depender de uma mistura entre o parâmetro de Gribov e o condensado $\langle A_\mu^a A_\mu^a \rangle$. Tal combinação consiste num número que, possivelmente é complexo, o que torna inválida a interpretação dos pólos como massa efetiva e do glúon como uma partícula. Vamos expandir esta questão na próxima seção.

Observamos ainda que, no caso do modelo de Gribov-Zwanziger puro, o resultado de que a energia do vácuo é sempre positiva continua valendo, mesmo com a otimização do esquema de renormalização. Veja [11].

6.3 Discussion

Vamos discutir agora as possíveis conseqüências da existência de valores não nulos para o parâmetro de Gribov e do condensado $\langle A_\mu^a A_\mu^a \rangle$. Começemos com os propagadores da teoria.

6.3.1 Propagators

Se não consideramos o condensado $\langle A_\mu^a A_\mu^a \rangle$, recaímos no caso discutido no capítulo anterior e podemos considerar apenas a ação de Gribov-Zwanziger (5.27). Neste caso, o propagador do glúon, no nível árvore é dado pela expressão (5.17), como pode ser calculado através da aproximação de Gribov, [67]. Em particular, a presença do parâmetro de Gribov implica na nulidade do propagador do glúon a momento nulo.

[¶]A definição de todas as quantidades podem ser encontradas no Apêndice C.

Quando incluímos os efeitos da condensação do operador $A_\mu^a A_\mu^a$, o propagador do glúon se torna, no nível árvore,

$$D_{\mu\nu}^{ab}(q) = \delta^{ab} \frac{\mathcal{D}(q^2)}{q^2} \left(\delta_{\mu\nu} - \frac{q_\mu q_\nu}{q^2} \right) = \delta^{ab} \frac{q^2}{q^4 + m^2 q^2 + \frac{\lambda^4}{4}} \left(\delta_{\mu\nu} - \frac{q_\mu q_\nu}{q^2} \right). \quad (6.51)$$

Este tipo de propagador, é conhecido como propagador de Stingl, devido ao autor que utilizou este propagador pela primeira vez como um anzätz para resolver as equações de Schwinger-Dyson, veja [91] para mais detalhes.

Ainda, ressaltamos que comparações reais de $\mathcal{D}(p^2)$ com resultados obtidos com simulações numéricas na rede [75, 76, 78], está ainda fora de questão. Isso porque deveríamos ir além da aproximação do nível árvore, por exemplo, incluindo efeitos de polarização a ordens maiores e/ou tentando um aperfeiçoamento do tratamento via grupo de renormalização. Em geral essas correções também dependem do momento externo.

Com relação ao propagador dos campos fantasmas, estes podem ser calculados a um laço, utilizando-se o propagador do glúon na forma (5.17) ou (6.51) em conjunto com suas respectivas equações do gap (5.22) e a segunda das (6.33). Em ambos os casos, veja [67, 86, 87, 6, 8, 11], encontramos para o propagador dos campos fantasmas um comportamento infravermelho singular na forma

$$\frac{\delta^{ab}}{N^2 - 1} \langle c^a \bar{c}^b \rangle_{q \approx 0} \equiv \frac{1}{q^2} \mathcal{G}(q^2) \Big|_{p \approx 0} \approx \frac{1}{q^4}. \quad (6.52)$$

Desta expressão vemos que o propagador fantasma é mais singular que a predição perturbativa, devido a presença do horizonte. Em particular, esta propriedade está diretamente relacionada com o teorema de não renormalização do parâmetro de Gribov, (6.21), que diz que o termo puro em γ , proveniente do termo puro nas fontes, não se renormaliza. Essa propriedade garante este comportamento do propagador fantasma a mais ordens, veja [160, 135] para cálculos a dois laços. Esta propriedade do propagador dos campos fantasmas foram confirmadas também com cálculos numéricos em simulações na rede, veja [78].

Observamos ainda que, da mesma forma que o propagador do glúon, uma discussão mais detalhada, a mais laços, do propagador fantasma deve ser efetuada de forma a obtermos expressões para se comparar com outros resultados.

6.3.2 Coupling constant

É usual utilizar como uma definição não perturbativa da constante de acoplamento forte renormalizada α_R , [55, 78], a expressão

$$\alpha_R(q^2) = \alpha_R(\mu) \mathcal{D}(q^2, \mu) \mathcal{G}^2(q^2, \mu), \quad (6.53)$$

onde \mathcal{D} e \mathcal{G} são os fatores de forma do propagador do glúon e dos campos fantasmas, respectivamente. Esta definição é um tipo de extensão não perturbativa do resultado perturbativo (3.45). De acordo com os resultados obtidos através do estudo das equações de Schwinger-Dyson, [57, 58, 59, 60, 61, 62], tais fatores de forma devem satisfazer a seguinte lei de potências, no limite infravermelho,

$$\begin{aligned} \lim_{p \rightarrow 0} \mathcal{D}(p^2) &\propto (p^2)^\theta, \\ \lim_{p \rightarrow 0} \mathcal{G}(p^2) &\propto (p^2)^\omega, \end{aligned} \quad (6.54)$$

onde os expoentes infravermelhos θ e ω obedecem a seguinte regra de soma

$$\theta + 2\omega = 0. \quad (6.55)$$

Tal regra de soma sugere o aparecimento de um ponto fixo para a constante de acoplamento renormalizada, (6.53), como já sugerido por simulações na rede, [78, 79, 80]. No nosso caso, os resultados para os fatores de forma do glúon e dos campos fantasmas na aproximação a ordem zero, obedecem a regra de soma (6.55), com $\theta = 2$ e $\omega = -1$. Note que sem o parâmetro de Gribov, a regra (6.55) desaparece, bem como a evidência do ponto fixo para a constante renormalizada.

6.3.3 Positivity violation

É comum utilizar o propagador do glúon como indicador do confinamento das excitações gluônicas através da chamada *violação da positividade*, veja [150, 151] e referências contidas. O conceito de *positividade* é o que se segue.

O propagador do glúon Euclidiano, $D(q) \equiv \frac{\mathcal{D}(q^2)}{q^2}$ pode, sempre, ser escrito através da representação espectral

$$D(q) = \frac{\mathcal{D}(q)}{q^2} = \int_0^{+\infty} dM^2 \frac{\rho(M^2)}{q^2 + M^2}. \quad (6.56)$$

A densidade espectral $\rho(M^2)$ deve sempre ser positiva, de forma a possuir uma representação de Källén-Lehmann, permitindo assim, a interpretação de campos em termos de partículas estáveis. Pode-se ainda definir o *correlator temporal*, [151],

$$\mathcal{C}(t) = \int_0^{+\infty} dM \rho(M^2) e^{-Mt}, \quad (6.57)$$

Desta definição vemos que se $\mathcal{C}(t) > 0$, então, sempre, $\rho(M^2) > 0$. Contudo, se para algum t , $\mathcal{C}(t) < 0$ então $\rho(M^2)$ não pode ser sempre positivo. Podemos converter a expressão (6.57) para possuir argumento dependente do propagador do glúon (6.56),

$$\mathcal{C}(t) = \frac{1}{2\pi} \int_{-\infty}^{+\infty} e^{-ipt} D(p) dp. \quad (6.58)$$

Utilizando a expressão (6.51) do propagador do glúon, podemos analisar caso a caso da positividade do glúon:

- Se $\lambda = 0$, então $m^2 > 0$, e

$$\mathcal{C}(t) = \frac{e^{-mt}}{2m} > 0. \quad (6.59)$$

- Se $m^2 = 0$,

$$\mathcal{C}(t) = \frac{e^{-\frac{Lt}{2}}}{2L} \left(\cos \frac{Lt}{2} - \sin \frac{Lt}{2} \right), \quad (6.60)$$

que assume valores negativos para certos valores de t .

- Nos demais casos temos

$$\mathcal{C}(t) = \frac{1}{2} \left[\frac{\sqrt{\omega_1}}{\omega_1 - \omega_2} e^{-\sqrt{\omega_1}t} + \frac{\sqrt{\omega_2}}{\omega_2 - \omega_1} e^{-\sqrt{\omega_2}t} \right], \quad (6.61)$$

onde ω_1 e ω_2 são os pólos do propagador (6.51), com a convenção de possuir parte real positiva,

$$\omega_i = \frac{m^2 + (-1)^i \sqrt{m^4 - \lambda^4}}{2}, \quad i \in \{1, 2\}. \quad (6.62)$$

Não é difícil deduzir que a expressão (6.61) sempre pode vir a assumir valores negativos. Veja [11].

Concluimos que, quando a restrição à região de Gribov é feita, a função $\mathcal{C}(t)$ sempre exhibe violação de positividade, quando considerado o propagador do glúon ao nível árvore, com ou sem o condensado $\langle A_\mu^a A_\mu^a \rangle$.

Chapter 7

Linear covariant gauges

7.1 Motivation and introduction

Neste capítulo vamos discutir brevemente a generalização do tratamento das ambigüidades de Gribov para o caso dos calibres lineares covariantes (CLC). O principal estímulo desta análise é o fato de este estudo nunca ter sido efetuado anteriormente. Obviamente, existem estudos feitos nestes calibres, mas não diretamente tratando a questão das ambigüidades de Gribov. Em particular, chamamos atenção para trabalhos feitos numericamente na rede, [136, 137, 138], onde foi encontrada evidências de um propagador gluônico (transverso e longitudinal) suprimido no infravermelho. Também, existem estudos deste calibre utilizando-se as equações de Schwinger-Dyson, [161], onde foi encontrado um propagador do glúon também suprimido no limite de baixas energias, enquanto que o propagador fantasma apresenta o típico comportamento singular de Gribov, [67].

Ainda, os CLC são a generalização natural, mais simples, do calibre de Landau, o que torna este estudo, no mínimo, interessante. Ademais, uma visão global das ambigüidades de Gribov, independentemente do calibre escolhido ainda não está disponível. Somente recentemente, se iniciou tais estudos, em calibres que não o Landau ou Coulomb. Em particular, trabalhos foram desenvolvidos no MAG, [139, 140, 18], e nos CLC, [14]. Tal interesse da comunidade física pode ser visto como o próximo passo a uma compreensão completa da quantização das teorias de Yang-Mills e teorias de calibre em geral.

O calibre de Landau permite que a restrição à primeira região de Gribov seja efetuada devido ao fato de o operador de Faddeev-Popov ser hermitiano, possuindo assim, autovalores reais. Ao irmos para o caso mais geral em que consideramos os CLC esta propriedade é perdida, pois o glúon deixa de ser exclusivamente transverso. Ainda, ao contrário do calibre de Landau, nos CLC não se conhece um funcional cuja minimização defina os mesmos. Contudo, ainda podemos estabelecer propriedades das ambigüidades de Gribov e consequências físicas para a eliminação das cópias neste calibre, [14], incluindo ainda os efeitos da geração dinâmica de massa [4, 5]. Os efeitos físicos aparecem nos propagadores. O propagador do glúon se torna suprimido na região infravermelha, sendo que a componente transversa é suprimida devido à restrição de domínio do espaço funcional das configurações e reforçada pela presença da massa dinâmica enquanto a componente longitudinal é suprimida devido à massa dinâmica apenas. O propagador dos campos de Faddeev-Popov não apresenta singularidade do tipo $1/k^4$ pois não está associado ao funcional de restrição. Em contrapartida, uma função de Green com a singularidade $1/k^4$ é identificada.

Os detalhes deste capítulo podem ser encontrados em [14].

7.2 Identification of a restriction region

Como no caso de Landau, é possível determinar uma região no espaço das configurações que pode ser usada para eliminar um grande número de cópias de Gribov. Primeiramente vamos escrever a ação de Yang-Mills quantizada nos calibres lineares covariantes,

$$S_{CLC} = S_{YM} + \int d^4x \left(b^a \partial A^a + \frac{\alpha}{2} b^a b^a + \bar{c}^a \mathcal{M}^{ab} c^b \right), \quad (7.1)$$

cujo limite $\alpha \rightarrow 0$ recupera o calibre de Landau. Lembramos que o operador de Faddeev-Popov não é hermitiano neste caso. A integral de caminho de Faddeev-Popov, portanto, pode ser escrita como

$$Z = \int DADbD\bar{c}Dc \exp \{-S_{CLC}\}. \quad (7.2)$$

A condição de calibre é dada por

$$\partial_\mu A_\mu^a = -\alpha b^a, \quad (7.3)$$

que produz as mesmas equações de cópias que o calibre de Landau, (5.4-5.6), exceto pelo fato de \mathcal{M}^{ab} não ser hermitiano.

Vamos agora enunciar algumas propriedades das cópias de Gribov no caso dos CLC. Tais propriedades nos permitem identificar uma região relacionada à região de Gribov. Essa região pode ser utilizada para estabelecer um corte no domínio de integração da integral de caminho.

- Propriedade 1: Se a componente transversa A_μ^{aT} de uma dada configuração $A_\mu^a = (A_\mu^{aT} + A_\mu^{aL})$ pertence à região de Gribov C_0 , então o operador de Faddeev-Popov $\mathcal{M}^{ab}(A)$ não possui autovalores nulos, i.e., se

$$A_\mu^{aT} \in C_0 \Rightarrow \mathcal{M}^{ab} \neq 0. \quad (7.4)$$

A prova desta propriedade é feita assumindo-se o contrário, ou seja, supondo que exista um modo zero do operador de Faddeev-Popov se a componente transversa do campo de calibre pertencer à região de Gribov. Feito isso, não é difícil mostrar que, para calibres próximos ao de Landau*, $\alpha \ll 1$, essa suposição é impossível. Com esta propriedade podemos definir uma região, Ω , da seguinte forma

$$\Omega \equiv \{A_\mu^a \mid A_\mu^a = A_\mu^{aT} + A_\mu^{aL}, A_\mu^{aT} \in C_0\}, \quad (7.5)$$

ou, equivalentemente

$$\Omega \equiv \{A_\mu^a \mid A_\mu^a = A_\mu^{aT} + A_\mu^{aL}, \mathcal{M}^{abT} > 0\}. \quad (7.6)$$

onde,

$$\mathcal{M}^{abT} = -\partial_\mu (\delta^{ab} \partial_\mu - g f^{abc} A_\mu^{cT}). \quad (7.7)$$

Outra forma de escrever a propriedade 1 é, portanto,

$$A_\mu^{aT} \in C_0 \Rightarrow A_\mu^a \in \Omega. \quad (7.8)$$

Desta propriedade segue, trivialmente a seguinte.

*Tudo o que será feito daqui para frente nos CLC será na aproximação $\alpha \ll 1$.

- Propriedade 2: Se a componente transversa A_μ^{aT} de uma configuração A_μ^a pertence à região de Gribov C_0 , então o campo A_μ^a não possui cópias de Gribov infinitesimais.

A prova é imediatamente trivial, uma vez que se entende a propriedade anterior. Esta propriedade nos diz que a restrição à região Ω elimina todas as cópias que podem ser obtidas através de transformações infinitesimais.

- Propriedade 3: No limite α que vai a zero, a região Ω se reduz à região de Gribov C_0 .

$$\lim_{\alpha \rightarrow 0} \Omega = C_0 . \quad (7.9)$$

Esta propriedade é também imediata pois, no limite $\alpha \rightarrow 0$, a componente longitudinal de A_μ^a vai a zero. Desta forma podemos entender a região Ω como uma deformação da região de Gribov.

7.3 Implementation of the restriction

As propriedades discutidas na seção anterior sugerem e motivam uma restrição no domínio de integração considerando apenas o domínio em Ω , definido em (7.5-7.6). A integral de caminho se torna, portanto,

$$Z = \int DADbD\bar{c}Dc \exp \{-S_{CLC}\} \mathcal{V}(\Omega) . \quad (7.10)$$

onde, $\mathcal{V}(\Omega)$ é responsável pela restrição à região Ω . Como no caso de Landau utilizaremos a condição

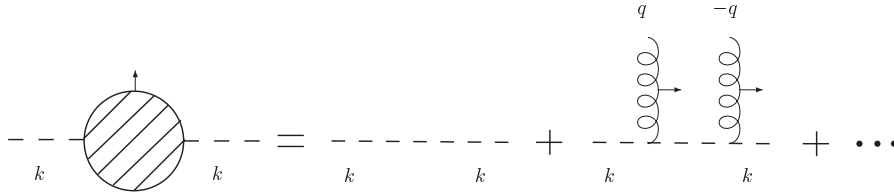


Figure 7.1: Propagador fantasma com contribuição de glúons transversais externos.

de ausência de pólos para caracterizar $\mathcal{V}(\Omega)$, [67]. Contudo, como a definição de Ω , (7.5-7.6), não depende do operador de Faddeev-Popov, devemos utilizar outra quantidade. Fortuitamente, a definição (7.5-7.6), depende apenas das configurações transversas, através do operador \mathcal{M}^{abT} , que claramente é hermitiano. Assim, repetimos a análise do propagador do ghost para o caso do operador $(\mathcal{M}^{abT})^{-1}$, representada na Fig. 7.1[†], obtendo assim, a condição de restrição

$$\frac{Ng^2}{4(N^2 - 1)} \int \frac{d^4k}{(2\pi)^4} \frac{A_\mu^{aT}(k)A_\mu^{aT}(-k)}{k^2} < 1 . \quad (7.11)$$

Esta condição implica no seguinte funcional de restrição

$$\mathcal{V}(C_0) = \exp \left\{ -Ng^2\gamma^4 \int \frac{d^4k}{(2\pi)^4} \frac{A_\mu^{aT}(k)A_\mu^{aT}(-k)}{k^2} + 4(N^2 - 1)\gamma^4 \right\} , \quad (7.12)$$

[†]A notação diagramática da decomposição do glúon em componentes transversal e longitudinal está sendo utilizada da seguinte forma: linhas de glúons com uma seta transversal à direção de propagação do glúon representam glúons transversais enquanto linhas de glúons com setas tangenciais à direção de propagação representam as componentes longitudinais do glúon.

onde o parâmetro de Gribov, novamente, é determinado através do requerimento de que a energia do vácuo dependa minimamente deste parâmetro. À primeira ordem, a equação do gap coincide com a equação do gap no calibre de Landau,

$$\frac{3}{4}Ng^2 \int \frac{d^4k}{(2\pi)^4} \frac{1}{k^4 + 2Ng^2\gamma^4} = 1. \quad (7.13)$$

Note que este é um resultado esperado uma vez que a condição de ausência de pólos leva em consideração apenas a contribuição transversa do operador de Faddeev-Popov.

7.4 Propagators

Um cálculo simples do propagador do glúon no nível árvore, com a integral de caminho (7.10), levando em consideração o funcional de restrição (7.12), nos leva a

$$D_{\mu\nu}^{ab}(k) = \delta^{ab} \left[\frac{k^2}{k^4 + 2Ng^2\gamma^4} \left(\delta_{\mu\nu} - \frac{k_\mu k_\nu}{k^2} \right) + \frac{\alpha}{k^2} \frac{k_\mu k_\nu}{k^2} \right]. \quad (7.14)$$

Primeiramente notamos que a componente transversa do propagador (7.14) é suprimida no limite infravermelho enquanto a componente longitudinal se mantém singular. Ainda, no limite $\alpha \rightarrow 0$, os resultados do calibre de Landau são recuperados, (5.17).

Com relação à quantidade $(\mathcal{M}^{abT})^{-1}$, esperamos que seja bastante singular na região infravermelha, devido ao efeito da restrição. De fato, um cálculo a um laço utilizando a integral de caminho (7.10), levando em consideração o funcional de restrição (7.12) e fazendo uso da equação do gap (7.13), é fácil mostrar que

$$\frac{1}{N^2 - 1} \left[(\mathcal{M}^T(k))^{-1} \right]^{aa} \Big|_{k \rightarrow 0} \propto \frac{1}{k^4}, \quad (7.15)$$

conforme esquematizado na Fig. 7.2. Evidenciando a presença de forças de longo alcance, necessárias para estabelecer o confinamento. Para ilustrarmos o fato de que a restrição não se relaciona com o

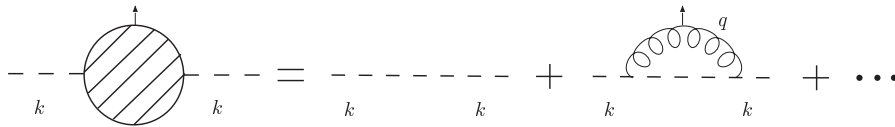


Figure 7.2: Propagador fantasma com contribuição de glúons transversais.

limite infravermelho do propagador dos campos fantasmas, podemos calcular o mesmo utilizando o esquema de renormalização \overline{MS} , representado na Fig. 7.3

$$\frac{1}{N^2 - 1} \mathcal{G}^{aa}(k) \Big|_{k \rightarrow 0} \propto \frac{1}{k^4} \frac{1}{\left(1 - \alpha \frac{2\gamma^2}{3\pi k^2} \log \frac{k^2}{\bar{\mu}^2} \right)}, \quad (7.16)$$

onde $\bar{\mu}$ é a massa de renormalização no esquema \overline{MS} . Note que o termo logarítmico vem de contribuições de configurações longitudinais, como é evidente pela presença de α . Portanto, não temos uma singularidade do tipo Gribov-Zwanziger no propagador dos campos fantasmas.

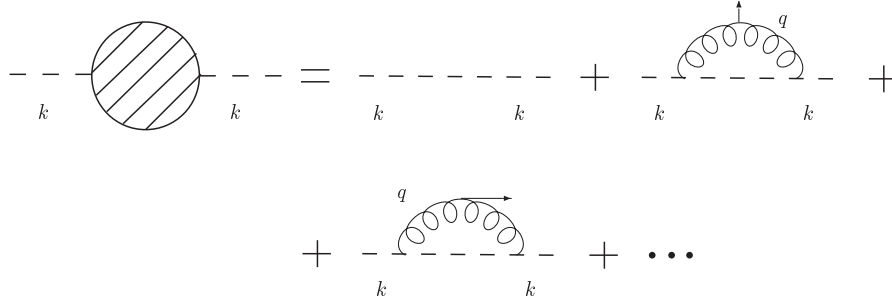


Figure 7.3: Propagador fantasma com contribuição de gluons transversais e longitudinais.

7.5 Inclusion of dynamical mass generation effects

De acordo com [5], a geração dinâmica de massa nos CLC é descrita através da ação

$$S = S_{CLC} + S_{\sigma} , \quad (7.17)$$

where S_{CLC} é dada por (7.1) e o termo S_{σ} em (7.17) contém o campo auxiliar de Hubbard-Stratonovich, σ , e é dado por

$$S_{\sigma} = \int d^4x \left[\frac{\sigma^2}{2g^2\zeta} + \frac{1}{2} \frac{\sigma}{g\zeta} A_{\mu}^a A_{\mu}^a + \frac{1}{8\zeta} (A_{\mu}^a A_{\mu}^a)^2 \right] . \quad (7.18)$$

A introdução do campo σ permite o estudo da condensação do operador $A_{\mu}^a A_{\mu}^a$, gerando massa para o glúon na forma

$$m^2 = \frac{\langle \sigma \rangle}{g\zeta} . \quad (7.19)$$

É importante ressaltar o fato de que a ação ($S_{YM} + S_{\sigma}$) é invariante de calibre, de acordo com as transformações

$$\begin{aligned} \delta A_{\mu}^a &= -D_{\mu}^{ab} \omega^b , \\ \delta \sigma &= g A_{\mu}^a \partial_{\mu} \omega^a . \end{aligned} \quad (7.20)$$

Desta forma, a ação (7.17), nos conduz a uma integral de caminho ainda contaminada por cópias de Gribov. Ainda, como as cópias de Gribov estão relacionadas apenas com a condição de calibre (7.3), o termo de massa não afeta as equações de cópias (5.4-5.6), assim como a condição de ausência de pólos (7.11). Esta análise nos leva, portanto, ao mesmo funcional de restrição (7.12) considerado para o caso não massivo. Portanto, nesta aproximação o problema das ambigüidades de Gribov comuta com a geração dinâmica de massa. A integral de caminho resultante é

$$Z = \int DADbD\bar{c}Dc \exp \{-S\} \mathcal{V}(\Omega) . \quad (7.21)$$

Contudo, a presença da massa dinâmica afeta a forma do propagador do glúon, que, é alterado para

$$D_{\mu\nu}^{ab}(k) = \delta^{ab} \left[\frac{k^2}{k^4 + m^2 k^2 + 2Ng^2 \gamma^4} \left(\delta_{\mu\nu} - \frac{k_{\mu} k_{\nu}}{k^2} \right) + \frac{\alpha}{k^2 + \alpha m^2} \frac{k_{\mu} k_{\nu}}{k^2} \right] . \quad (7.22)$$

Vemos que a componente transversa se mantém suprimida na região infravermelha, onde a massa reforça essa supressão. A componente longitudinal, que antes não apresentava supressão infravermelha (7.14), agora, devido à massa, se torna suprimida no limite de baixas energias. Note ainda que o parâmetro de Gribov continua sendo determinado por uma equação do gap, agora, na forma

$$\frac{3}{4}Ng^2 \int \frac{d^4q}{(2\pi)^4} \frac{1}{q^4 + m^2q^2 + 2Ng^2\gamma^4} = 1. \quad (7.23)$$

Esta equação é diferente da anterior, (7.13), devido à presença da massa. No entanto, é determinada da mesma forma, requerendo que a energia do vácuo seja mínima com relação ao parâmetro de Gribov. Na aproximação atual (um laço) o termo de massa já mostra sua influência nessa condição. Note ainda que esta expressão coincide com o caso de Landau com geração dinâmica de massa, [6, 8, 11], veja expressão (7.13). Por fim, temos a quantidade $(\mathcal{M}^T)^{-1}$, que permanece exibindo o típico comportamento singular de Gribov, (7.15). Esse comportamento não é afetado, portanto, pela presença da massa dinâmica.

7.6 Discussion

Nas teorias de Yang-Mills quantizadas nos calibres lineares covariantes, fomos capazes de identificar uma região no espaço funcional das configurações a qual é livre de cópias de Gribov infinitesimais. Tal região, denotada Ω , foi definida na expressão (7.5-7.6). Ainda, fomos capazes de identificar uma função de Green associada à fronteira de Ω que pode ser utilizada para implementar a região na integral de caminho (7.2). Não obstante, os efeitos de geração dinâmica de massa puderam ser levados em conta pois a ação efetiva que descreve a condensação do operador $A_\mu^\alpha A_\mu^\alpha$, (7.17), é, de fato, invariante de calibre. Implementando a restrição à região Ω na integral de caminho (7.21), que descreve as teorias de Yang-Mills nos CLC com geração dinâmica de massa, temos como efeito físico a modificação dos propagadores da teoria. Note que estes resultados são válidos apenas na aproximação de CLC próximos ao de Landau, $\alpha \ll 1$.

No caso do propagador do glúon (7.22), temos que ambas componentes, transversal e longitudinal, são suprimidas no limite infravermelho. A componente transversal exibe um comportamento tipo Stingl [91, ?], onde a supressão ocorre devido à presença do parâmetro de Gribov e é reforçada pela presença da massa. A componente longitudinal, por sua vez, também exibe supressão infravermelha, contudo, sua causa ocorre exclusivamente devido à massa. Este resultado está em acordo qualitativo com resultados obtidos através de simulações numéricas na rede [136, 137, 138], bem como resultados provenientes de soluções das equações de Schwinger-Dyson [161].

No caso do propagador dos campos fantasmas, o comportamento singular infravermelho $1/k^4$, presente no calibre de Landau, é perdido nos CLC. Esse efeito é compreensível uma vez que se entende que o operador de Faddeev-Popov não mais se relaciona com a região de Gribov neste caso. Ao invés do propagador dos campos de Faddeev-Popov, a função de Green singular, que evidencia a presença de forças de longo alcance foi definida em (7.7) e consiste no propagador dos campos fantasmas com contribuição a um laço apenas da componente transversa do glúon. Note que, até nosso conhecimento, não existem dados na rede sobre o propagador fantasma ou da função \mathcal{M}^T . A última, também está indisponível no caso das equações de Schwinger-Dyson. Contudo, no caso das equações de Schwinger-Dyson o propagador fantasma foi calculado utilizando-se um método de corte de vértices nus, [161]. Como resultado, foi encontrado um propagador singular tipo Gribov, $1/k^4$. Este resultado está em desacordo com o resultado aqui apresentado, (7.16). Mas, o resultado da Schwinger-Dyson, [161], consiste num *Ansatz* ousado pois o método de corte de vértices nus se mostra válido apenas no calibre de Landau, [55, 57, 58, 60, 61, 62], pois utiliza-se o teorema de não-renormalização do vértice glúon-fantasma-antifantasma, [124, 157], que só é estabelecido no calibre de Landau.

Assim, dois aspectos não-perturbativos das teoria de Yang-Mills foram estudados no caso dos CLC, a massa dinâmica devido a condensação do operador $A_\mu^a A_\mu^a$ e as ambigüidades de Gribov, relacionadas com a quantização das teorias de Yang-Mills. Contudo, muitos aspectos ainda merecem atenção. Primeiramente, lembramos que nossos resultados baseiam-se na aproximação $\alpha \ll 1$. Ainda, o método utilizado para se implementar a restrição consiste basicamente na aproximação de Gribov [67], e um aperfeiçoamento, como o feito por Zwanziger [86, 87] é necessário para que cálculos explícitos possam ser efetuados.

Part IV

FINAL

Chapter 8

Conclusions

Antes de adentrarmos nas conclusões desta tese, lembramos que a lista de resultados obtidos está apresentada de maneira sistemática no Capítulo 2.

8.1 Mass condensates conclusions

Estudamos simultaneamente a condensação dos operadores locais compostos de dimensão dois $A_\mu^a A_\mu^a$ e $f^{abc} \bar{c}^a c^b$ no calibre de Landau [16]. Esta análise estende a já existente para o caso do condensado de gluons $\langle A_\mu^a A_\mu^a \rangle$ [64, 81, 5] e do condensado Overhauser $\langle f^{abc} \bar{c}^b c^c \rangle$ [122, 90]. Exceto pela renormalizabilidade do método LCO, todos os resultados obtidos foram no caso do grupo $SU(2)$. Neste caso, o condensado Overhauser foi considerado na direção Abelian do espaço de cor, $\langle \varepsilon^{3bc} \bar{c}^a c^b \rangle$.

Utilizando a técnica LCO para construir a ação quântica efetiva a um laço, mostramos que ambos condensados são favorecidos dinamicamente conforme a diminuição da energia do vácuo. A renormalizabilidade da teoria resultante foi provada a todas as ordens em teoria de perturbações através da técnica de renormalização algébrica [48]. Além disso, tal ação efetiva obedece a uma equação homogênea do grupo de renormalização.

Efeitos devido a presença de condensados não triviais foram apresentadas. Em particular, analisando a condição de calibre (4.47) ao nível quântico, foi possível demonstrar que o propagador do glúon permanece transverso, a todas as ordens em teoria de perturbações. Mostramos também, através de uma análise via a identidade de Slavnov-Taylor (4.52), que, a um laço, o condensado Overhauser quebra a transversalidade da polarização do vácuo.

Ainda, o condensado $\langle A_\mu^a A_\mu^a \rangle$ gera uma massa efetiva para o glúon, no nível árvore, como é evidente da expressão (4.45). Da mesma forma, o propagador fantasma é afetado no nível árvore devido a presença do condensado $\langle \varepsilon^{3bc} \bar{c}^a c^b \rangle$, como caracterizado em (4.46). Ademais, determinando a correção de um laço à massa efetiva do glúon, encontramos que o condensado Overhauser induz à quebra da degenerescência entre as massas Abelian e não Abelian. A massa não Abelian se mostra maior que a massa Abelian. Este resultado pode ser interpretado como uma evidência analítica da dominância Abelian no calibre de Landau, veja (4.70-4.74).

Vale ressaltar que evidências da dominância Abelian no calibre de Landau foram encontradas através de simulações numéricas na rede [105, 106], onde foi identificado um efeito Meissner dual Abelian. Contudo, este último resultado foi invalidado no trabalho [162], de mesmos autores e outros. Por outro lado, em [163], foram encontradas evidências do condensado Overhauser, no caso $SU(2)$, na rede, através de um estudo do operador de Faddeev-Popov. Os dados foram ajustados de acordo com nossa

predição (4.46) e assumindo um pequeno valor para o condensado. O resultado encontrado para o propagador dos campos fantasmas foi na forma $\sim p^{-4}$, de acordo com nosso resultado analítico (4.46).

8.2 Gribov ambiguities conclusions

8.2.1 Condensates and the Gribov horizon

Com relação às ambigüidades de Gribov fizemos um estudo no caso geral do grupo $SU(N)$ da ação de Gribov-Zwanziger [86, 87]. Uma análise detalhada da condensação do operador $A_\mu^a A_\mu^a$ em conjunto com a restrição à região de Gribov foi exposta [6, 8, 11].

Antes de discutirmos a inclusão do operador $A_\mu^a A_\mu^a$ na ação de Gribov-Zwanziger, fizemos uma pequena discussão sobre a condição de horizonte a um e dois laços no caso puro de Gribov-Zwanziger. Como resultado, mostramos que a energia do vácuo, a um laço, é sempre positiva, independentemente da escala ou do esquema de renormalização. Tentativas de resultados explícitos diretamente no esquema de renormalização \overline{MS} fracassaram a um e dois laços. Ressaltamos que um valor positivo para a energia do vácuo implica num valor negativo para o condensado de gluons $\langle F_{\mu\nu}^a F_{\mu\nu}^a \rangle$, através da anomalia do traço.

Incluindo o operador $A_\mu^a A_\mu^a$ na ação de Gribov-Zwanziger através do formalismo LCO, fomos capazes de mostrar, a todas as ordens em teoria de perturbações, que o modelo permanece renormalizável. A ação efetiva correspondente, construída com a técnica LCO [64], a um laço no esquema \overline{MS} , obedece a uma equação homogênea do grupo de renormalização. Mostramos formalmente que as equações acopladas, definindo o horizonte e o condensado $\langle A_\mu^a A_\mu^a \rangle$, não possuem solução para $\langle A_\mu^a A_\mu^a \rangle < 0$. Não obstante, para $\langle A_\mu^a A_\mu^a \rangle > 0$, apenas uma solução é possível. Contudo, um valor explícito consistente não foi encontrado.

Numa tentativa de otimizar os resultados, fizemos uma redução na dependência no esquema de renormalização. Desta forma, fomos capazes de definir um esquema de renormalização aprimorado, dependendo apenas da escala de renormalização $\bar{\mu}$ e do parâmetro b_0 , associado à renormalização da constante de acoplamento g . Ainda, definimos as quantidades \hat{m} (associada ao condensado $\langle A_\mu^a A_\mu^a \rangle$) e $\hat{\lambda}$ (associado ao parâmetro de Gribov), as quais são independentes de escala e do esquema de renormalização ordem a ordem. Resolvendo as equações de gap numericamente, não fomos capazes de encontrar uma solução com energia de vácuo negativa. Contudo, soluções consistentes puderam ser extraídas no caso limite em que recaímos no esquema \overline{MS} bem como no caso em que a dependência no esquema é mínima.

Este resultado indica que cálculos a ordens maiores devem ser efetuados para uma conclusão sobre a energia do vácuo. Contudo, isto está fora da ambição do trabalho aqui apresentado. Ademais, o presente resultado pode ser uma indicação de que a restrição à região de Gribov lança a teoria na região infravermelha profunda, e a teoria perturbativa ou o grupo de renormalização nada podem fazer neste caso. Necessitaríamos de um esquema de cálculo realmente não perturbativo.

Os parâmetros de massa \hat{m} e $\hat{\lambda}$ são de natureza não perturbativa e aparecem nos propagadores do glúon e dos campos de Faddeev-Popov. Mesmo sem estimativas numéricas explícitas, fomos capazes de prover uma análise qualitativa sobre as consequências físicas da presença destes parâmetros. Em primeiro lugar, chamamos a atenção para o caso do condensado $\langle A_\mu^a A_\mu^a \rangle$ sem a presença do horizonte. Neste caso, a massa dinâmica encontrada é positiva, $m^2 > 0$. Quando incluímos o horizonte, a massa se mostra negativa $m^2 < 0$. Aparentemente isto seria um problema relacionado a presença de táquions na teoria. Contudo, devemos lembrar que os pólos do propagador são afetados também pelo parâmetro de Gribov, como exposto em (6.51). Desta forma, os pólos se mostram complexos, indicando, não a presença de táquions, mas sim que o glúon não faz parte do espectro físico da teoria, como deve ser

para objetos com carga de cor. Esta hipótese se confirma quando entendemos que o propagador do glúon (6.51) viola o princípio de positividade.

Com relação ao propagador dos campos fantasmas, a um laço, levando em conta a condição de horizonte, este se mostra singular no limite infravermelho na forma $\sim k^{-4}$. Esta propriedade pode ser interpretada como o surgimento de forças de longo alcance dentro da teoria, necessárias para o confinamento. Note ainda que, estes resultados estão de acordo com os resultados encontrados na rede [163, 164], assim como os resultados provenientes das equações de Schwinger-Dyson [63].

Devemos chamar a atenção para a importância que os condensados fantasmas têm nesta tese, sendo fundamentais para a dominância Abeliãna no calibre de Landau, bem como para estabilizar o vácuo da QCD. Desta forma um estudo mais completo considerando o condensado de gluons e condensados fantasmas com a ação de Gribov-Zwanziger pode vir a fornecer informações mais precisas sobre o vácuo da QCD e os pólos dos propagadores. Vale ressaltar que, uma análise qualitativa desta proposta levaria a quebra de degenerescência das massas Abeliãna e não Abeliãna, contudo, uma vez que os pólos se tornam complexos, não sabemos como a dominância Abeliãna se apresentaria neste contexto. Ao menos, longe do horizonte, $\gamma = 0$, esta análise foi feita em detalhes nesta tese.

8.2.2 Gribov ambiguities in other gauges

As ambigüidades de Gribov possuem um bom entendimento no calibre de Landau e conseqüentemente, devido a semelhança técnica, no calibre de Coulomb. Em outros calibres pouco foi desenvolvido. Desta forma, apresentamos o primeiro trabalho analítico sobre as ambigüidades de Gribov nos calibres lineares covariantes para pequenos valores de α . Ressaltamos que além destes calibres, trabalhos foram feitos apenas no calibre máximo Abeliãno [139, 140, 15, 20, 23, 25]. Contudo, nesta tese nos atemos ao calibre de Landau e sua generalização mais simples, os calibres lineares covariantes.

Como no calibre de Landau, a componente transversa do propagador do glúon apresenta supressão infravermelha. Além disso, a componente longitudinal se mostra imutável na aproximação de Gribov. Contudo, na presença do condensado $\langle A_\mu^a A_\mu^a \rangle$, este tem o efeito de suprimir a componente longitudinal, de acordo com a expressão (7.22). Vemos que no caso do setor transverso existe a violação do princípio da positividade, o que não ocorre no setor longitudinal. Contudo, perturbativamente o setor longitudinal se cancela, e esperamos que o mesmo ocorra não perturbativamente. Estes resultados estão em acordo qualitativo com o simulações na rede [136, 137, 138] e com análises feitas através das equações de Schwinger-Dyson [161].

Com relação ao propagador fantasma, encontramos que, ao invés do propagador fantasma, a função de Green que apresenta comportamento singular infravermelho é dada por $\left[(\mathcal{M}^T(k))^{-1} \right]^{aa} \propto k^{-4}$, definido em (7.15). Lembramos que esta quantidade só cor-responde ao propagador dos campos fantasmas no caso limite $\alpha = 0$.

Apesar de tudo, muitos aspectos dos calibres lineares covariantes ainda merecem ser investigados. Uma lista parcial seria: 1) A existência de um funcional minimizante caracterizando a condição dos calibres lineares covariantes. Tal funcional poderia ser muito útil para investigar as cópias de Gribov não infinitesimais; 2) Como os propagadores se comportam para o caso de α geral; 3) Seria possível encontrar uma ação tipo Gribov-Zwanziger, local e renormalizável? Tal ação possibilitaria uma investigação sobre as correções quânticas nestes calibres.

8.3 Final Remarks

Nesta tese encontramos evidências da geração dinâmica de massa devido a condensação de operadores de massa, evidências da dominância Abeliãna no calibre de Landau, evidências do confinamento e um

entendimento das ambigüidades de Gribov, generalizando-as a outros calibres. Além de evidências podemos dizer que confirmamos a complexidade do setor infravermelho da QCD, assim como a necessidade do tratamento completo das ambigüidades de Gribov. Em especial, um método de cálculo totalmente não perturbativo parece ser necessário para um entendimento completo desta faceta da Natureza. Isso mostra que esta investigação está longe de ter chegado ao fim e muito trabalho ainda precisa ser feito.

Esperamos, portanto, que esta tese inspire mais trabalhos sobre o comportamento infravermelho das teorias de Yang-Mills, em particular sobre a QCD, assim como nós estaremos nos dedicando à continuidade desta pesquisa.

Part V

APPENDICES

Appendix A

Conventions

Este apêndice é dedicado a estabelecer as notações e convenções utilizadas nesta tese. Vamos seguir um modelo evolutivo ao invés de simplesmente enumerar as notações e convenções utilizadas, tentando assim, deixar este apêndice mais amigável para leitura.

A simetria de calibre das teorias de Yang-Mills é descrita por um grupo de Lie compacto semi-simples cujos elementos são matrizes unitárias de determinante positivo, o chamado grupo $SU(N)$,

$$SU(N) = \{U(x) \mid U(x)^\dagger U(x) = 1, \det U(x) = +1\} . \quad (\text{A.1})$$

Sejam λ^a os geradores do grupo. Tais geradores, obviamente, obedecem à álgebra de um grupo de Lie

$$[\lambda^a, \lambda^b] = f^{abc} \lambda^c , \quad (\text{A.2})$$

onde f^{abc} , um objeto totalmente antissimétrico, representa as constantes de estrutura do grupo. Os geradores são escolhidos antihermiteanos, $\lambda^a = -\lambda^{a\dagger}$, com condição de normalização dada por $\text{tr}(\lambda^a \lambda^b) = \delta^{ab}$. Note que $a \in \{1, 2, \dots, N^2 - 1\}$.

A ação de Yang-Mills em um espaço-tempo Euclideano quadridimensional é

$$S_{YM} = \frac{1}{4} \int d^4x F_{\mu\nu}^a F_{\mu\nu}^a , \quad (\text{A.3})$$

onde o tensor intensidade de campo é dado por

$$F_{\mu\nu}^a = \partial_\mu A_\nu^a - \partial_\nu A_\mu^a + g f^{abc} A_\mu^b A_\nu^c , \quad (\text{A.4})$$

e g é a constante de acoplamento. A conexão A_μ^a representa o campo de gluons. A ação (A.3) é invariante sob transformações de calibre locais com relação ao grupo $SU(N)$ na forma

$$A_\mu^U = A_\mu + U^\dagger D_\mu U , \quad (\text{A.5})$$

onde a derivada covariante é definida por

$$D_\mu U = \partial_\mu U + g[A_\mu, U] , \quad (\text{A.6})$$

e a conexão expandida na álgebra é dada por $A_\mu = A_\mu^a \lambda^a$. Para transformações de calibre infinitesimais podemos expandir os elementos do grupo de acordo com

$$U(x) = \exp[\omega(x)] = \exp[\omega^a(x) \lambda^a] \approx 1 + \omega + O(\omega^2) . \quad (\text{A.7})$$

Assim, as transformações infinitesimais são descritas por (A.5)

$$\delta A_\mu^a = D_\mu^{ab} \omega^b, \quad (\text{A.8})$$

de forma que

$$\delta S_{YM} = 0. \quad (\text{A.9})$$

A derivada covariante na representação adjunta em (A.8) se define como

$$D_\mu^{ab} = \delta^{ab} \partial_\mu - g f^{abc} A_\mu^c. \quad (\text{A.10})$$

Estaremos sempre utilizando a representação adjunta ao longo desta tese.

Appendix B

Tools

Este apêndice é dedicado às principais técnicas utilizadas neste trabalho. As técnicas serão apresentadas brevemente. Como mencionado antes, não é o objetivo deste apêndice ou desta tese rever os princípios da Teoria Quântica de Campos e da Teoria de Renormalização, para tal existe uma vasta literatura disponível, por exemplo, [30] e [165], respectivamente.

Começaremos com o princípio geral da ação quântica [49, 50, 51, 52, 53], fundamental para uma teoria quântica de campos. Após isso, revisaremos a quantização pelo método de BRST [46, 47] seguida de um resumo sucinto da teoria de renormalização algébrica [48]. Então estaremos aptos a discutir os principais pontos do grupo de renormalização [54]. Por fim, abordaremos a técnica de operadores compostos locais (técnica LCO) [64].

B.1 Quantum action principle

Antes de desenvolvermos o método de quantização BRST da ação (A.3) e estudarmos as simetrias da teoria no formalismo funcional (Identidades de Ward) vamos discutir o chamado princípio de ação quântica [49, 50, 51, 52, 53].

A simetria de calibre gozada pela ação de Yang-Mills (A.3) produz uma ambigüidade. Qualquer valor esperado a ser calculado com essa ação irá contar cada configuração do campo de calibre infinitas vezes devido ao fato de que cada campo está relacionado a infinitos outros através das transformações de calibre (A.5). Para resolver este problema devemos fixar o calibre, ou seja, introduzir um vínculo para filtrar os graus de liberdade espúrios existentes devido à simetria de calibre. Faremos isso em detalhe na próxima seção, por hora vamos assumir que saibamos a ação com o calibre fixado, digamos, Σ , onde esta ação seria composta pela ação de Yang-Mills mais um termo que descreva a fixação de calibre e as demais propriedades necessárias,

$$\Sigma = S_{YM} + S_{fc} . \quad (\text{B.1})$$

A integral de caminho, ou gerador funcional das funções de Green seria

$$Z[j, J] = \int D\phi \exp \left(-\Sigma - \int d^4x j_\mu^a A_\mu^a - \int d^4x J^A \mathcal{O}^A \right) . \quad (\text{B.2})$$

Nesta expressão $D\phi$ é a medida quântica da integral de caminho e j_μ^a e J^A são campos clássicos, ou fontes externas, chamadas fontes de Schwinger. O índice A é um multi-índice geral. O objeto \mathcal{O}^A é

um operador composto local. O gerador funcional conexo se define por

$$Z[j, J] = e^{-W[j, J]} . \quad (\text{B.3})$$

E a ação quântica, ou funcional de vértice é a transformada de Legendre de $W[j, J]$,

$$\Gamma[A, J] = W[j, J] - \int d^4x j_\mu^a A_\mu^a . \quad (\text{B.4})$$

Note que a condição de controrno assumida é tal que o valor esperado do vácuo é das variáveis de campo são nulas

$$\left. \frac{\delta \Gamma}{\delta A_\mu^a} \right|_{A_\mu^a=0} = 0 . \quad (\text{B.5})$$

É sabido que o funcional gerador Z obedece à equação renormalizada, veja por exemplo [30, 32, 31],

$$j_\mu^a Z + \Delta_\mu^a \cdot Z = 0 , \quad (\text{B.6})$$

onde a inserção* Δ_μ^a é um operador composto local cuja contribuição clássica coincide com as equações de movimento clássicas. A equação (B.6) para a ação quântica fica como

$$\frac{\delta \Gamma}{\delta A_\mu^a} - \Delta_\mu^a \cdot \Gamma = 0 , \quad (\text{B.8})$$

A derivação da expressão (B.8) pode ser repetida para o funcional gerador das funções de vértice com a inserção \mathcal{O}^A ,

$$\frac{\delta \Gamma}{\delta J^A} = \mathcal{O}^A \cdot \Gamma . \quad (\text{B.9})$$

Assim, seguindo os passos anteriores encontramos

$$\frac{\delta \Gamma}{\delta J^A} \frac{\delta \Gamma}{\delta A_\mu^a} - \Delta_\mu^{aA} \cdot \Gamma = 0 , \quad (\text{B.10})$$

onde Δ_μ^{aA} é um operador local composto. A expressão (B.10) nada mais é que o princípio de ação quântica (PAQ) na representação do funcional de vértice.

Não é muito difícil entender o conteúdo físico do PAQ (B.10). De fato, para nossos fins, o PAQ diz que uma variação não linear do campo A_μ^a dá origem a uma inserção de um operador local composto. E como este operador não é um campo fundamental, este deve ser acoplado a uma fonte externa J^A . Assim, a expressão (B.9) define o valor esperado de \mathcal{O}^A , contudo, não temos um contorno para \mathcal{O}^A como temos para A_μ^a descrito pela expressão (B.5). Por tanto, operadores locais compostos devem estar acoplados a uma fonte externa pois não sabemos como estes se comportam sob correções quânticas. Essas fontes são introduzidas para controlar estes operadores. Para operadores fundamentais, como são os campos fundamentais da teoria, não há necessidade de se inserir uma fonte pois temos a condição (B.5) para controlá-los.

*A notação de inserção é na forma

$$\Delta_\mu^a \cdot Z = \int D\phi \Delta_\mu^a \exp \left(-\Sigma - \int d^4x j_\mu^a A_\mu^a \right) . \quad (\text{B.7})$$

campos / fontes	A	c	\bar{c}	b	Ω	L
dimensão	1	0	2	2	3	4
número fantasma	0	1	-1	0	-1	-2

Table B.1: Dimensão e número fantasma dos campos e fontes.

B.2 BRST quantization

B.2.1 gauge fixing

Como mencionado na seção anterior, devemos nos livrar dos graus de liberdade não físicos da ação de Yang-Mills (A.3). Para tal, devemos introduzir um vínculo na teoria. Um método eficiente e elegante de se introduzir um vínculo à uma ação invariante de calibre é o chamado método de quantização BRST [46, 47]. Vamos rever este método para o caso das teorias de Yang-Mills.

Para cada gerador do grupo de simetria a ser quebrada, λ^a , introduz-se um campo fantasma de Grassmann c^a obedecendo a uma equação isomórfica à equação de estrutura de Maurer-Cartan [166],

$$s c^a = \frac{g}{2} f^{abc} c^b c^c, \quad (\text{B.11})$$

sendo esta a transformação BRST para o campo fantasma. O campo fantasma nada mais é que os conhecidos campos fermiônicos de Faddeev-Popov [43]. Para o glúon, a transformação de BRST ocorre como

$$s A_\mu^a = -D_\mu^{ab} c^b. \quad (\text{B.12})$$

Note que esta transformação é isomórfica à uma transformação de calibre infinitesimal (A.8). O vínculo de calibre covariante, digamos,

$$\partial_\mu A_\mu^a = f^a, \quad (\text{B.13})$$

é introduzido juntamente com um dubleto BRST

$$\begin{aligned} s \bar{c}^a &= b^a, \\ s b^a &= 0, \end{aligned} \quad (\text{B.14})$$

o qual é inofensivo ao conteúdo físico da teoria [48]. Na expressão (B.13), f^a pode depender dos campos c , \bar{c} and b . Ainda, de forma a ser possível descrever a simetria BRST como uma equação funcional, de acordo com o PAQ, introduzimos também fontes invariantes de BRST, Ω_μ^a e L^a , para controlar as transformações BRST não lineares, (B.11) e (B.12). Uma simples análise dimensional sobre os campos e o operador s nos permite definir[†] a dimensão ultravioleta dos campos e fontes de acordo com a tabela[‡] B.1. Assim, a ação covariante mais geral possível apropriada para uma teoria quântica consistente é dada por

$$\Sigma = S_{YM} + S_{gf} + S_{ext}, \quad (\text{B.15})$$

[†]Note que existe uma liberdade na escolha das dimensões ultravioletas dos campos de Faddeev-Popov e do operador BRST. Esta liberdade vem do fato de que as transformações BRST fornecem duas relações independentes entre as dimensões destes campos e do operador s , portanto, temos um sistema indefinido de equações. Esta questão será importante para a definição dos condensados fantasmas discutidos na segunda parte desta tese. Voltaremos a discutir esta questão no estudos dos condensados fantasmas.

[‡]Lembramos que, em d dimensões, a constante de acoplamento possui dimensão ultravioleta dada por $[g] = 2 - \frac{d}{2}$, implicando na condição de renormalizabilidade $2 \leq d \leq 4$.

onde,

$$\begin{aligned} S_{gf} &= s \int d^4x \bar{c}^a \left(\partial_\mu A_\mu^a + \frac{\alpha}{2} b^a + \frac{\beta}{2} g f^{abc} \bar{c}^b c^c \right) \\ &= \int d^4x \left[b^a \left(\partial_\mu A_\mu^a + \frac{\alpha}{2} b^a + \beta g f^{abc} \bar{c}^b c^c \right) + \bar{c}^a \partial_\mu D_\mu^{ab} c^b + \frac{\beta}{4} g^2 f^{abc} f^{cde} \bar{c}^a \bar{c}^b c^d c^e \right], \end{aligned} \quad (\text{B.16})$$

e

$$\begin{aligned} S_{ext} &= s \int d^4x \left(-\Omega_\mu^a A_\mu^a + L^a c^a \right) \\ &= \int d^4x \left(-\Omega_\mu^a D_\mu^{ab} c^b + \frac{g}{2} f^{abc} L^a c^b c^c \right). \end{aligned} \quad (\text{B.17})$$

Note que a ação (B.15) possui todos os termos possíveis de dimensão ultravioleta quatro que respeitem a simetria global de cor.

Duas observações devem ser feitas. Primeiro, é trivial ver que s é um operador nilpotente, $s^2 = 0$, portanto, a ação (B.15) é BRST invariante, $s\Sigma = 0$. Segundo, a introdução dos parâmetros de calibre α e β depende da escolha do calibre a ser fixado (B.13) e, em alguns casos estes termos são necessários para fins de renormalização.

Geometricamente, este método pode ser entendido da seguinte forma: A ação de Yang-Mills (A.3) descreve a dinâmica da conexão, A_μ^a , definida no fibrado principal de grupo de simetria $SU(N)$ imerso numa variedade Euclideana de quatro dimensões. Contudo, a geometria existente neste espaço topológico é maior. Podemos definir neste espaço as uma-formas de Maurer-Cartan c^a , a derivada exterior na órbita de calibre s , e dubletos para definirmos uma seção no fibrado principal. Assim, partindo desta geometria completa podemos derivar a ação de Yang-Mills como foi feito acima, utilizando apenas argumentos geométricos. Fisicamente, os campos fantasmas aparecem de forma a garantir a unitariedade da matriz S , eliminando os graus de liberdade espúrios da teoria.

Obviamente, como já foi mencionado e será amplamente explorado, a quantização BRST não é completamente eficiente devido à existência das cópias de Gribov [67]. Contudo, nada mais falaremos sobre este assunto neste apêndice, uma vez que a terceira parte desta tese é devotada a este tema.

B.2.2 Ward identities

Um ponto importante para se estabelecer a renormalizabilidade de uma teoria é saber as simetrias nela existentes. Assim, vamos escrever a simetria BRST e as demais simetrias na forma de uma equação funcional compativelmente com o PAQ. No caso da simetria BRST, a equação funcional é a chamada identidade de Slavnov-Taylor

$$\mathcal{S}(\Sigma) = \int d^4x \left(\frac{\delta \Sigma}{\delta \Omega_\mu^a} \frac{\delta \Sigma}{\delta A_\mu^a} + \frac{\delta \Sigma}{\delta L^a} \frac{\delta \Sigma}{\delta c^a} + b^a \frac{\delta \Sigma}{\delta \bar{c}^a} \right) = 0. \quad (\text{B.18})$$

Além disso, dependendo do calibre escolhido, outras simetrias podem surgir. Tais simetrias podem envolver os campos fantasmas e demais objetos que não o campo de calibre. Essas simetrias darão lugar a outras identidades, as chamadas identidades de Ward,

$$\mathcal{W}^{\mathcal{A}}(\Sigma) = \Delta_{cl}^{\mathcal{A}}, \quad (\text{B.19})$$

onde \mathcal{A} é um multi-índice geral e $\Delta_{cl}^{\mathcal{A}}$ uma possível quebra clássica, linear nos campos. É um conhecido resultado que esta quebra não evolui ao nível quântico [48] devido à condição (B.5). Por este motivo,

podemos utilizar identidades linearmente quebradas como simetrias válidas. Ainda, a simetria discreta de Faddeev-Popov surge naturalmente na quantização BRST,

$$Q \Sigma = 0, \quad (\text{B.20})$$

onde Q é um operador discreto cujas transformações não nulas são

$$\begin{aligned} c^a &\rightarrow c^a, \\ \bar{c}^a &\rightarrow -\bar{c}^a, \\ \Omega_\mu^a &\rightarrow -\Omega_\mu^a, \\ L^a &\rightarrow -2L^a. \end{aligned} \quad (\text{B.21})$$

Esta simetria define um novo número quântico, o chamado número fantasma. Estes números estão tabelados na tabela B.1 juntamente com as dimensões ultravioletas dos campos e fontes.

B.3 Algebraic renormalization

Com a ação completa (B.15) e as identidades de Ward (B.18-B.20) podemos dar início ao estudo da estabilidade da ação (B.15) sob correções radiativas. Para tal, a renormalização algébrica [48] é a teoria apropriada para se trabalhar. O primeiro passo é a procura por anomalias, ou seja, checar a validade das identidades de Ward no nível quântico. Em seguida, utilizando as identidades de Ward, determina-se o contratermo mais geral possível. E finalmente, testa-se a estabilidade da ação sob correções quânticas. Uma vez estabelecida a renormalizabilidade de uma teoria podemos definir o grupo de renormalização, último assunto antes de adentrarmos na seção seguinte, a técnica LCO.

B.3.1 Anomalies

Provar a validade das identidades (B.18-B.19) ao nível quântico equivale a mostrar que não existem anomalias na teoria, *i.e.* se uma simetria é perdida conforme aparecem as correções quânticas então dizemos que existe uma anomalia associada a esta simetria. O método geral de verificar se uma simetria da ação clássica sobrevive ao processo de quantização é escrever uma possível quebra, de ordem n em ϵ , para a identidade de Ward associada a esta simetria. Assume-se que a identidade é válida até ordem $n - 1$ em ϵ . Desta forma,

$$\mathcal{W}^A(\Gamma) = \Delta_{cl}^A + \epsilon^n \Delta^A + O(\epsilon^{n+1}), \quad (\text{B.22})$$

onde, (B.22) engloba também a identidade de Slavnov-Taylor (B.18). A quantidade Γ representa a ação quântica,

$$\Gamma = \Sigma + \epsilon \Sigma^{(1)} + \epsilon^2 \Sigma^{(2)} + \epsilon^3 \Sigma^{(3)} + \dots = \Sigma + \Sigma^c \quad (\text{B.23})$$

Ainda, ϵ é o parâmetro de expansão, considerado pequeno. Substituindo a expressão (B.23) em (B.22) chegamos a

$$\mathcal{W}_\Gamma^A \Sigma^c = \epsilon^n \Delta^A, \quad (\text{B.24})$$

onde fizemos uso da identidade clássica (B.19), portanto, mostrando que a quebra vem das correções quânticas. O novo operador \mathcal{W}_Γ^A é um operador linear associado a \mathcal{W}^A , chamado operador linearizado da simetria[§] \mathcal{W}^A . No caso de \mathcal{W}^A ser linear, o operador linearizado coincide com \mathcal{W}^A .

[§]Veremos um exemplo explícito na próxima seção para o caso do operador de Slavnov-Taylor.

Voltemos a expressão (B.22). Suponhamos então que a quebra Δ^A possa ser escrita como

$$\Delta^A = \mathcal{W}_{\Sigma}^A \tilde{\Delta}, \quad (\text{B.25})$$

Neste caso, redefinindo a ação quântica como

$$\Gamma \rightarrow \Gamma - \epsilon^n \tilde{\Delta}, \quad (\text{B.26})$$

e aplicando o operador \mathcal{W}^A na nova ação (B.26), temos

$$\mathcal{W}^A(\Gamma - \epsilon^n \tilde{\Delta}) = \mathcal{W}^A(\Gamma) - \epsilon^n \Delta^A + O(\epsilon^{n+1}) = \Delta_{cl}^A + O(\epsilon^{n+1}), \quad (\text{B.27})$$

onde (B.22) foi utilizada. Assim, se $\tilde{\Delta}$ pode ser absorvida em Γ como um contratérmo, ordem a ordem em teoria de perturbações, então não existe anomalia da simetria em questão. A demonstração a ordem n implica na validade a todas as ordens, por recursão. O método de demonstração em si é totalmente análogo ao que abordaremos no caso da estabilidade da ação discutida a seguir. De agora em diante assumiremos que não existem anomalias.

B.3.2 Counterterm and quantum stability

Nos resta ainda provar a estabilidade da ação (B.15) com relação a correções quânticas. Assim, sem anomalias, consideramos a ação quântica corrigida a todas as ordens (B.23). Então, impomos as identidades (B.18-B.20) à ação quântica (B.23),

$$\begin{aligned} \mathcal{S}(\Gamma) &= 0, \\ \mathcal{W}^A(\Gamma) &= \Delta_{cl}^A, \\ \mathcal{Q}\Gamma &= 0. \end{aligned} \quad (\text{B.28})$$

Fazendo uso das identidades (B.18-B.20) em (B.28) chegamos, ordem a ordem, a

$$\begin{aligned} \mathcal{B}_{\Gamma^{(n-1)}} \Sigma^{(n)} &= 0, \\ \mathcal{W}_{\Gamma^{(n-1)}}^A \Sigma^{(n)} &= 0, \\ \mathcal{Q}\Sigma^{(n)} &= 0, \end{aligned} \quad (\text{B.29})$$

onde, $\mathcal{B}_{\Gamma^{(n-1)}}$ é o operador linearizado de Slavnov-Taylor de ordem $(n-1)$,

$$\mathcal{B}_{\Gamma^{(n-1)}} = \int d^4x \left(\frac{\delta \Gamma^{(n-1)}}{\delta \Omega_{\mu}^a} \frac{\delta}{\delta A_{\mu}^a} + \frac{\delta \Gamma^{(n-1)}}{\delta A_{\mu}^a} \frac{\delta}{\delta \Omega_{\mu}^a} + \frac{\delta \Gamma^{(n-1)}}{\delta L^a} \frac{\delta}{\delta c^a} + \frac{\delta \Gamma^{(n-1)}}{\delta c^a} \frac{\delta}{\delta L^a} + b^a \frac{\delta}{\delta \bar{c}^a} \right). \quad (\text{B.30})$$

Note que as expressões (B.29) valem a partir da primeira ordem, pois a ordem zero temos as já estabelecidas identidades clássicas (B.18-B.20). O operador $\mathcal{W}_{\Gamma^{(n-1)}}^A$ é a versão linearizada de $\mathcal{W}^A(\cdot)$, da mesma forma que (B.30). E, $\Gamma^{(n-1)}$ é a ação quântica (B.23) truncada na ordem $\epsilon^{(n)}$

$$\Gamma^{(n)} = \Sigma + \epsilon \Sigma^{(1)} + \epsilon^2 \Sigma^{(2)} + \dots + \epsilon^{(n-1)} \Sigma^{(n-1)} + O(\epsilon^n). \quad (\text{B.31})$$

É fácil ver que a imposição das identidades (B.28), valendo ordem a ordem, pode ser feita de maneira recursiva, *i.e.* provando a primeira ordem, a prova valerá a todas as ordens por indução. Portanto, basta impormos

$$\begin{aligned} \mathcal{B}_{\Sigma} \Sigma^{(1)} &= 0, \\ \mathcal{W}_{\Sigma}^A \Sigma^{(1)} &= 0, \\ \mathcal{Q}\Sigma^{(1)} &= 0. \end{aligned} \quad (\text{B.32})$$

Resolver a primeira das (B.32) é um problema de cohomologia [48]. E a solução é dada por uma parte trivial e uma parte não trivial,

$$\Sigma^{(1)} = \Delta_0 + \mathcal{B}_\Sigma \Delta^{-1} . \quad (\text{B.33})$$

onde Δ_0 é a parte não trivial da cohomologia, com dimensão ultravioleta quatro e número fantasma nulo,

$$\begin{aligned} \mathcal{B}_\Sigma \Delta_0 &= 0 , \\ \Delta_0 &\neq \mathcal{B}_\Sigma(\cdot) . \end{aligned} \quad (\text{B.34})$$

É sabido que dubletos BRST não pertencem a parte não trivial da cohomologia [48]. Desta forma, $\Delta_0 = \Delta_0(A, c, \Omega, L)$. Contudo, é fácil mostrar que a cohomologia não trivial não carrega dependência nas fontes externas, implicando em $\Delta_0 = \Delta_0(A, c)$. Ainda, devido a simetria discreta de Faddeev-Popov, não há espaço para termos dependentes nos campos de Faddeev-Popov. Logo,

$$\Delta_0 = \Delta_0(A) . \quad (\text{B.35})$$

A simples aplicação da condição (B.34) nos leva a

$$\Delta_0 = a_0 S_{YM} . \quad (\text{B.36})$$

Falta ainda encontrar Δ^{-1} , o objeto mais geral, polinomial nos campos e fontes, com dimensão ultravioleta igual a quatro e número fantasma unitário negativo. Assim,

$$\Delta^{-1} = \int d^4x \left(a_1 \partial_\mu \bar{c}^a A_\mu^a + a_2 L^a c^a + a_3 \frac{\alpha}{2} \bar{c}^a b^a + a_4 \frac{\beta}{2} f^{abc} \bar{c}^a \bar{c}^b c^c + a_5 \Omega^{a\mu} A_\mu^a \right) , \quad (\text{B.37})$$

onde a_i são, assim como a_0 , parâmetros independentes. Ademais, a segunda das condições (B.32) devem ser utilizadas, promovendo possíveis cancelamentos e vínculos entre estes parâmetros independentes.

Após determinarmos o contratermo mais geral, ainda devemos checar a estabilidade da ação (B.15). Isso é feito redefinindo multiplicativamente os campos, parâmetros e fontes,

$$\begin{aligned} \Phi_0 &= Z_\Phi^{1/2} \Phi , \\ \mathcal{J}_0 &= Z_\mathcal{J} \mathcal{J} , \\ \xi_0 &= Z_\xi \xi , \end{aligned} \quad (\text{B.38})$$

onde,

$$\begin{aligned} \Phi &\in \{A, b, c, \bar{c}\} , \\ \mathcal{J} &\in \{\Omega, L\} , \\ \xi &\in \{g, \alpha, \beta\} , \end{aligned} \quad (\text{B.39})$$

e então reabsorver o contratermo na ação clássica na forma

$$\Gamma^{(1)} = \Sigma(\Phi_0, \mathcal{J}_0, \xi_0) = \Sigma(\Phi, \mathcal{J}, \xi) + \epsilon \Sigma^{(1)}(\Phi, \mathcal{J}, \xi) . \quad (\text{B.40})$$

A validade de (B.40) a primeira ordem implica na validade da mesma a todas as ordens. Se isso for possível, então a ação quantizada no calibre escolhido é dita multiplicamente renormalizável pelo menos a todas as ordens na teoria de perturbações.

B.3.3 Renormalization group

Vamos relembrar os principais pontos referentes ao grupo de renormalização (GR). Como este é um assunto bem conhecido, vamos diretamente ao grupo de renormalização e sua interpretação física, evitando o tratamento via a equação de Callan-Symanzik. Para uma discussão mais detalhada sugerimos a literatura existente sobre o assunto [48, 165, 167].

Uma teoria renormalizável consiste numa teoria onde seja possível filtrar consistentemente as divergências ultravioletas nela existentes. Os contra termos são ajustados de forma a eliminar tais divergências. Contudo, qualquer parte finita que estes contra termos possuam é aceitável. Cada forma de escolher o contra termo consiste num esquema de renormalização diferente. Uma mudança no esquema de renormalização é compensada por uma mudança na parte finita do contra termo. Desta forma a teoria permanece inalterada enquanto a parametrização utilizada depende do esquema de renormalização empregado. Sucintamente, o conteúdo físico de uma teoria renormalizável é invariante sob as transformações entre parametrizações. Tal invariância caracteriza o chamado grupo de renormalização. Uma forma de caracterizar tal liberdade é através da introdução da massa de renormalização μ . O que significa que podemos descrever a invariância sob o GR através de uma equação diferencial, a equação do grupo de renormalização (EGR).

Para estudarmos a invariância de uma quantidade física sob a mudança da parametrização da teoria basta fazermos uso do gerador de tal variação,

$$d(\mu) = \mu \frac{d}{d\mu} . \quad (\text{B.41})$$

Pensemos numa quantidade de uma teoria, digamos, Q . Podemos estudar a resposta de Q a uma mudança na parametrização da teoria de acordo com

$$d(\mu)Q = \Delta \cdot Q , \quad (\text{B.42})$$

onde Δ , de acordo com o PAQ, representa uma inserção em Q . Ainda, obviamente, os campos e demais parâmetros (constantes de acoplamentos, campos, parâmetros de calibre, massas...) de uma teoria podem vir a depender (dependendo do esquema de renormalização utilizado) da massa de renormalização μ . Desta forma, a variação em μ se expande e obtemos a chamada equação do grupo de renormalização

$$\left(\mu \frac{\partial}{\partial \mu} + \beta \frac{\partial}{\partial g^2} - \gamma_m m^2 \frac{\partial}{\partial m^2} - \gamma_\Phi \frac{\partial}{\partial \Phi} - \gamma_\alpha \frac{\partial}{\partial \alpha} \right) Q = \Delta \cdot Q , \quad (\text{B.43})$$

onde Φ representa os campos da teoria, α os parâmetros de calibre, g as constantes de acoplamento e m as massas. As quantidades γ_Φ , β e γ_α e γ_m representam suas respectivas renormalizações,

$$\begin{aligned} \beta &= \mu \frac{\partial g^2}{\partial \mu} , \\ \gamma_\Phi &= -\mu \frac{\partial \Phi}{\partial \mu} , \\ \gamma_m &= -\frac{\mu}{m^2} \frac{\partial m^2}{\partial \mu} , \\ \gamma_\alpha &= -\mu \frac{\partial \alpha}{\partial \mu} . \end{aligned} \quad (\text{B.44})$$

A função beta nos diz como a constante de acoplamento varia com a mudança de escala enquanto as dimensões anômalas γ_Φ , γ_α e γ_m nos informam como as amplitudes de campo, parâmetros de calibre e

operador / fontes	\mathcal{O}	λ	J
dimensão	2	2	2
número fantasma	q	$-q - 1$	$-q$

Table B.2: Dimensão e número fantasma do operador e fontes LCO.

massas, respectivamente, respondem à mudança de escala. Por sua vez, a EGR (B.43) descreve como uma quantidade responde a uma mudança de escala de renormalização.

No caso em que Q define uma quantidade física, digamos $Q = \Gamma$, teremos a chamada invariância sob as EGR, ou seja, o conteúdo físico de uma teoria deve permanecer inalterado se alteramos o esquema de renormalização. A compensação vem de mudanças simultâneas dos parâmetros da teoria. É claro que quantidades físicas não devem depender dos campos, portanto,

$$\left(\mu \frac{\partial}{\partial \mu} + \beta \frac{\partial}{\partial g^2} - \gamma_m m^2 \frac{\partial}{\partial m^2} - \gamma_\alpha \frac{\partial}{\partial \alpha} \right) \Gamma = 0. \quad (\text{B.45})$$

B.4 Local composite operator technique

Nesta seção veremos como introduzir operadores locais compostos na ação, de maneira consistente com o PAQ e a simetria BRST e ainda de forma a respeitar o GR. Na seção onde estudamos o princípio de ação quântica, seção B.1, vimos como um operador local composto deve ser introduzido de maneira a respeitar o PAQ, contudo, nada foi dito sobre a simetria BRST. Por simplicidade e objetividade, vamos nos restringir ao calibre de Landau.

O objetivo da técnica de operadores compostos locais (Técnica LCO[¶]) é calcular o potencial efetivo associado a um operador^{||} e, juntamente com o GR, procurar por mínimos não triviais desses potenciais. Infelizmente, apenas operadores de dimensão ultravioleta dois permitem cálculos reais, pois apenas estes operadores podem ser associados a campos auxiliares através da transformação de Hubbard-Stratonovich. Por outro lado, tais operadores podem vir a gerar uma massa dinâmica para outros campos, em particular o campo de calibre. Começamos então analisando o método geral de incluir operadores de dimensão dois em uma ação BRST invariante.

B.4.1 Dimension two operators

Seja \mathcal{O}^A um operador de dimensão ultravioleta dois e número fantasma q . O índice A é um multi-índice geral. Seja também Σ uma ação invariante sob transformações de BRST gerais, onde s é o operador de BRST. De acordo com o PAQ devemos introduzir uma fonte J^A acoplada ao operador. Para que esta fonte pertença a cohomologia trivial de BRST, introduzimo-la como um dubleto BRST,

$$\begin{aligned} s\lambda^A &= J^A \\ sJ^A &= 0. \end{aligned} \quad (\text{B.46})$$

Os números quânticos do operador e das fontes estão disponíveis na tabela B.2. A ação, levando em

[¶]Do inglês: *Local composite operator technique*

^{||}A menos que o contrário seja dito, nos referiremos sempre a um operador local composto simplesmente por operador.

conta o operador \mathcal{O}^A , é definida por

$$\begin{aligned}\Sigma_{LCO} &= \Sigma + s \int d^4x \left(\lambda^A \mathcal{O}^A - f(q) \frac{\zeta}{2} \lambda^A J^A \right), \\ &= \Sigma + \int d^4x \left[J^A \mathcal{O}^A + (-1)^{q+1} \lambda^A s \mathcal{O}^A - f(q) \frac{\zeta}{2} J^A J^A \right].\end{aligned}\quad (\text{B.47})$$

O termo quadrático na fonte J^A é permitido por contagem de potência. Como este termo só aparece para o caso em que $q = 0$, introduzimos a função $f(q)$ definida por

$$f(q) = \lim_{\epsilon \rightarrow 0} \int_{-\epsilon}^{\epsilon} dz \delta(z - q). \quad (\text{B.48})$$

Desta forma, ζ , chamado parâmetro LCO, é introduzido para absorver as divergências associadas às funções de Green $\langle \mathcal{O}^A(x) \mathcal{O}^B(y) \rangle$. Note ainda que, no caso em que considere-mos mais de um operador, introduzimos mais dubletos. Estas fontes podem se misturar e gerar mais termos quadráticos nas fontes. Aqui, por simplicidade, consideraremos apenas um dubleto.

A ação (B.47) deve ser renormalizável, portanto, o método de renormalização algébrica deve ser aplicado. Vamos assumir, portanto, que a ação LCO (B.47) seja renormalizável. Uma importante relação que resulta deste método diz respeito a renormalização do operador composto \mathcal{O}^A ,

$$Z_J = Z_{\mathcal{O}}, \quad (\text{B.49})$$

que será de extrema importância na análise do potencial efetivo via grupo de renormalização, mais adiante.

B.4.2 Hubbard-Stratonovich fields

O problema que surge agora é o termo quadrático na fonte LCO. Como o objetivo é calcular o potencial efetivo associado ao operador \mathcal{O}^A devemos eliminar o termo quadrático nas fontes de forma a podermos aplicar os métodos usuais da TQC. Este termo só ocorre para o caso em que $q = 0$, o que acarreta em $f(q) = 1$. Como os outros casos não possuem este problema, vamos considerar o caso $q = 0$. Consideremos então a integral de caminho, com $\lambda^A = 0$,

$$Z[J] = \int D\phi \exp \left\{ -\Sigma - \int d^4x \left[J^A \mathcal{O}^A - \frac{\zeta}{2} J^A J^A \right] \right\}. \quad (\text{B.50})$$

As quantidades em Z são as quantidades já renormalizadas, de acordo com (B.38), mas, por simplicidade, vamos manter a notação não renormalizada. A eliminação do termo quadrático em J^A é feita através dos campos de Hubbard-Stratonovich. Estes campos são introduzidos através da unidade escrita na forma

$$1 = \mathcal{N} \int D\sigma \exp \left\{ -\frac{1}{2\zeta} \int d^4x \left(\frac{\sigma^A}{g} + \mathcal{O}^A - \zeta J^A \right) \left(\frac{\sigma^A}{g} + \mathcal{O}^A - \zeta J^A \right) \right\}, \quad (\text{B.51})$$

Onde σ^A são os campos de Hubbard-Stratonovich e \mathcal{N} o fator de normalização apropriado. Inserindo a unidade (B.51) na integral de caminho (B.50) chegamos a, após normalização,

$$Z[J] = \int D\sigma \exp \left\{ -\Sigma - \int d^4x \left[\frac{\sigma^A \sigma^A}{2g^2 \zeta} + \frac{\sigma^A \mathcal{O}^A}{g \zeta} + \frac{\mathcal{O}^A \mathcal{O}^A}{2\zeta} - \frac{J^A \sigma^A}{g} \right] \right\}. \quad (\text{B.52})$$

Não temos mais o termo quadrático na fonte LCO. Note que a identificação entre o operador \mathcal{O}^A e o campo σ^A é imediata

$$\langle \mathcal{O}^A \rangle = -\frac{1}{g} \langle \sigma^A \rangle . \quad (\text{B.53})$$

Uma vez que o termo quadrático foi eliminado podemos tomar $J^A = 0$ e calcular o potencial efetivo para o campo σ^A . Contudo, algumas considerações ainda devem ser feitas a cerca do grupo de renormalização.

B.4.3 Renormalization group

Para entender como o termo LCO se comporta perante o grupo de renormalização pensemos numa quantidade física, por praticidade, consideremos a ação quântica Γ . De acordo com [64], não é difícil deduzir então que

$$\left[\mu \frac{\partial}{\partial \mu} + \beta(g^2) \frac{\partial}{\partial g^2} - \gamma_{\mathcal{O}}(g^2) \int d^4x J^A \frac{\delta}{\delta J^A} + \gamma_{\zeta}(g^2, \zeta) \frac{\partial}{\partial \zeta} \right] \Gamma = 0 , \quad (\text{B.54})$$

onde a função beta foi definida em (B.44) e as demais dimensões anômalas são definidas como

$$\begin{aligned} \gamma_{\mathcal{O}} &= \mu \frac{\partial}{\partial \mu} \log Z_J , \\ \gamma_{\zeta} &= \mu \frac{\partial}{\partial \mu} \zeta . \end{aligned} \quad (\text{B.55})$$

Em particular, sem perda de generalidade, podemos definir ζ como função apenas de g de forma que uma solução particular de ζ seja na forma de uma série de Laurent

$$\zeta = \frac{\zeta_0}{g^2} + \zeta_1 + g^2 \zeta_2 + g^4 \zeta_3 + \dots . \quad (\text{B.56})$$

Esta escolha implica que ζ obedeça a uma EGR independente. Portanto, Γ obedece a uma equação mais simplificada,

$$\left[\mu \frac{\partial}{\partial \mu} + \beta(g^2) \frac{\partial}{\partial g^2} - \gamma_{\mathcal{O}}(g^2) \int d^4x J^A \frac{\delta}{\delta J^A} \right] \Gamma = 0 , \quad (\text{B.57})$$

Note ainda que, para conhecermos a contribuição de ordem n para ζ necessitamos conhecer os demais parâmetros a ordem $n + 1$.

B.4.4 Effective action and condensates

Por fim, uma vez que temos como calcular os parâmetros da teoria através do grupo de renormalização, podemos calcular a ação efetiva. Tal cálculo é efetuado a partir da definição

$$e^{-\Gamma} = Z[\sigma_*] , \quad (\text{B.58})$$

onde a dependência em σ aparece devido ao fato de o cálculo ser feito a σ constante, ou seja, em configurações estáveis dos campos de Hubbard-Stratonovich. Tal definição é possível considerando as

flutuações em torno de configurações estáveis, $\sigma = \sigma_* + \tilde{\sigma}$. Desta forma, procuramos soluções estáveis da ação efetiva de acordo com

$$\frac{\partial \Gamma}{\partial \sigma_*} = 0. \quad (\text{B.59})$$

Uma solução não nula para σ_* indica um valor de espera não trivial para \mathcal{O} , o que indica a condensação deste operador. Obviamente, tal solução deve obedecer a algumas exigências, como, por exemplo, possuir um parâmetro de expansão pequeno o suficiente para dar sentido a uma série perturbativa.

O resultado físico que se colhe da condensação é que o termo $\frac{\sigma^A \mathcal{O}^A}{g\zeta}$ em (B.52) pode vir a alterar os propagadores da teoria, por exemplo, se $\mathcal{O} = A^2$, teremos um termo de massa para o glúon.

Appendix C

Optimization of the renormalization scheme

Neste apêndice discutiremos o processo de otimização do esquema de renormalização e dependência na escala aplicado ao caso da ação quântica a um laço da teoria de Gribov-Zwanziger na presença do operador $A_\mu^a A_\mu^a$, apresentado no capítulo 6. Os detalhes podem ser encontrados em [11].

C.1 Preliminaries

Vimos que, na ação de Gribov-Zwanziger na presença do operador $A_\mu^a A_\mu^a$, existem apenas três fatores de renormalização a serem fixados, estes são Z_g , Z_A e Z_ζ . Aparentemente, necessitamos de três condições de renormalização para fixar um esquema de renormalização particular. Contudo, de acordo com [11], analisando a ação *bare* associada a expressão (6.22), não é difícil ver que vale a relação

$$Z_\zeta \zeta = \overline{\mu}^\epsilon \zeta_o Z_J^2. \quad (\text{C.1})$$

Como ζ_o é uma quantidade independente da escala e do esquema de renormalização e como ζ sempre aparece, na ação, na combinação $Z_\zeta \zeta$, segue que apenas Z_g e Z_A são relevantes para a ação efetiva, pois Z_J sempre pode ser expresso em termos destes dois fatores. Desta forma, necessitamos apenas de duas condições de renormalização para fixar o esquema.

Mudaremos do esquema de renormalização $\overline{\text{MS}}$ para outro esquema não massivo através das seguintes transformações*

$$\begin{aligned} \overline{g}^2 &= g^2 (1 + b_0 g^2 + b_1 g^4 + \dots), \\ \overline{\lambda} &= \lambda (1 + c_0 g^2 + c_1 g^4 + \dots), \\ \overline{m}^2 &= m^2 (1 + d_0 g^2 + d_1 g^4 + \dots), \end{aligned} \quad (\text{C.2})$$

onde b_i , c_i e d_i são parâmetros que caracterizam o novo esquema. Note que, considerando as relações (6.42), entre as dimensões anômalas do parâmetro de Gribov e do condensado podemos facilmente deduzir que

$$\gamma_\lambda(g^2) = \frac{1}{4} \left[\frac{\beta(g^2)}{g^2} - \gamma_{m^2}(g^2) \right], \quad (\text{C.3})$$

*Quantidades com uma barra se referem ao esquema $\overline{\text{MS}}$.

implicando numa relação, válida a todas as ordens em teoria de perturbações, entre os coeficientes b_i , c_i e d_i . De acordo com [11], esta relação é dada por

$$c_0 = \frac{1}{4}(b_0 - d_0), \quad (\text{C.4})$$

onde foi utilizada a parametrização

$$\begin{aligned} \beta(g^2) &= -2(\beta_0 g^4 + \beta_1 g^6 + \dots), \\ \gamma_{m^2}(g^2) &= \gamma_0 g^2 + \gamma_1 g^4 + \dots, \\ \gamma_\lambda(g^2) &= \lambda_0 g^2 + \lambda_1 g^4 + \dots, \end{aligned} \quad (\text{C.5})$$

Agora, efetuando as transformações (C.2) na ação efetiva $\overline{\text{MS}}$, (6.35), encontramos

$$\begin{aligned} \Gamma^{(1)} &= -\frac{(N^2 - 1)\lambda^4}{2g^2 N} (1 + 4c_0 g^2 - b_0 g^2) + \frac{\zeta_0 m^4}{2g^2} \left(1 - \frac{\zeta_1}{\zeta_0} g^2 + 2d_0 g^2 - b_0 g^2\right) \\ &+ \frac{3(N^2 - 1)}{256\pi^2} \left[\left(m^2 + \sqrt{m^4 - \lambda^4}\right)^2 \left(\ln \frac{m^2 + \sqrt{m^4 - \lambda^4}}{2\mu^2} - \frac{5}{6}\right) \right. \\ &\left. + \left(m^2 - \sqrt{m^4 - \lambda^4}\right)^2 \left(\ln \frac{m^2 - \sqrt{m^4 - \lambda^4}}{2\mu^2} - \frac{5}{6}\right) + \lambda^4 \right], \end{aligned} \quad (\text{C.6})$$

enquanto as equações de gap se tornam

$$\begin{aligned} \frac{\partial \Gamma}{\partial \lambda} &= -\frac{2(N^2 - 1)}{g^2 N} \lambda^3 (1 + 4c_0 g^2 - b_0 g^2) + \frac{3(N^2 - 1)\lambda^3}{256\pi^2} \left[\frac{20}{3} \right. \\ &- 4 \frac{(m^2 + \sqrt{m^4 - \lambda^4})}{\sqrt{m^4 - \lambda^4}} \ln \frac{m^2 + \sqrt{m^4 - \lambda^4}}{2\mu^2} \\ &\left. + 4 \frac{(m^2 - \sqrt{m^4 - \lambda^4})}{\sqrt{m^4 - \lambda^4}} \ln \frac{m^2 - \sqrt{m^4 - \lambda^4}}{2\mu^2} \right] = 0, \end{aligned} \quad (\text{C.7})$$

e

$$\begin{aligned} \frac{\partial \Gamma}{\partial m^2} &= \frac{\zeta_0 m^2}{g^2} \left(1 - \frac{\zeta_1}{\zeta_0} g^2 + 2d_0 g^2 - b_0 g^2\right) \\ &+ \frac{3(N^2 - 1)}{256\pi^2} \left[2 \left(m^2 + \sqrt{m^4 - \lambda^4}\right) \left(1 + \frac{m^2}{\sqrt{m^4 - \lambda^4}}\right) \ln \frac{m^2 + \sqrt{m^4 - \lambda^4}}{2\mu^2} \right. \\ &\left. + 2 \left(m^2 - \sqrt{m^4 - \lambda^4}\right) \left(1 - \frac{m^2}{\sqrt{m^4 - \lambda^4}}\right) \ln \frac{m^2 - \sqrt{m^4 - \lambda^4}}{2\mu^2} - \frac{8}{3} m^2 \right] = 0. \end{aligned} \quad (\text{C.8})$$

Podemos utilizar as equações de gap (C.7-C.8) juntamente com a relação (C.4), semi-larmente como foi feito para se encontrar a relação (6.47), encontrando

$$\frac{68}{39} \left(\frac{16\pi^2}{g^2 N}\right) + \frac{122}{39} + \frac{16\pi^2}{N} \left(\frac{12}{13} b_0 - \frac{176}{39} d_0\right) = \frac{1}{2} \frac{t}{\sqrt{1-t}} \ln \frac{t}{(1 + \sqrt{1-t})^2}. \quad (\text{C.9})$$

Desta expressão fica evidente que uma solução com $m^2 > 0$ pode existir, dependendo dos valores dos parâmetros d_0 (renormalização da massa) e b_0 (renormalização da constante de acoplamento). Desta forma, para minimizar a liberdade existente na escolha destes parâmetros vamos realizar uma otimização na dependência do esquema de renormalização, como ilustrado em [168, 169].

C.2 Optimization of the renormalization scheme

Consideramos uma quantidade ϱ que corre de acordo com

$$\bar{\mu} \frac{d\varrho}{d\bar{\mu}} = \gamma_\varrho(g^2)\varrho, \quad (\text{C.10})$$

onde

$$\gamma_\varrho(g^2) = \gamma_{\varrho,0}g^2 + \gamma_{\varrho,1}g^4 + \dots. \quad (\text{C.11})$$

Podemos associar a ϱ uma quantidade $\hat{\varrho}$ que não depende da escolha do esquema de renormalização e é independente da escala. Tal quantidade é definida como

$$\hat{\varrho} = \mathcal{F}_\varrho(g^2)\varrho, \quad (\text{C.12})$$

com

$$\bar{\mu} \frac{d}{d\bar{\mu}} \mathcal{F}_\varrho(g^2) = -\gamma_\varrho(g^2)\mathcal{F}_\varrho(g^2). \quad (\text{C.13})$$

Desta forma $\hat{\varrho}$ não dependerá da escala $\bar{\mu}$. É fácil checar ainda que $\hat{\varrho}$ é invariante sob transformações do tipo (C.2), [168, 169]. A equação (C.13) pode ser resolvida com a ajuda da relação

$$\bar{\mu} \frac{d}{d\bar{\mu}} \mathcal{F}_\varrho(g^2) \equiv \beta(g^2) \frac{d}{dg^2} \mathcal{F}_\varrho(g^2). \quad (\text{C.14})$$

De forma que a equação (C.13) pode ser resolvida numa série em g^2 ,

$$\mathcal{F}_\varrho(g^2) = (g^2)^{\frac{\gamma_{\varrho,0}}{2\beta_0}} \left[1 + \frac{1}{2} \left(\frac{\gamma_{\varrho,1}}{\beta_0} - \frac{\beta_1\gamma_{\varrho,0}}{\beta_0^2} \right) g^2 + \dots \right]. \quad (\text{C.15})$$

Vamos agora substituir as variáveis \overline{MS} , \overline{m}^2 e $\overline{\lambda}$, por seus correspondentes independentes de escala e do esquema de renormalização, \hat{m}^2 e $\hat{\lambda}$, na ação efetiva (6.35). Invertendo a relação (C.15), temos

$$\overline{m}^2 = (\overline{g}^2)^{-\frac{\gamma_0}{2\beta_0}} \left[1 - \frac{1}{2} \left(\frac{\overline{\gamma}_1}{\beta_0} - \frac{\beta_1\overline{\gamma}_0}{\beta_0^2} \right) \overline{g}^2 + \dots \right] \hat{m}^2, \quad (\text{C.16})$$

$$\overline{\lambda} = (\overline{g}^2)^{-\frac{\lambda_0}{2\beta_0}} \left[1 - \frac{1}{2} \left(\frac{\overline{\lambda}_1}{\beta_0} - \frac{\beta_1\overline{\lambda}_0}{\beta_0^2} \right) \overline{g}^2 + \dots \right] \hat{\lambda}. \quad (\text{C.17})$$

Substituindo (C.17) e (C.2) na ação efetiva (6.35) chegamos a[†]

$$\begin{aligned}
\Gamma^{(1)} &= -\frac{(N^2-1)}{2N}(g^2)^{2b}\widehat{\lambda}^4\left(\frac{1}{g^2}+B-b_0+2bb_0\right) \\
&+ \frac{\zeta_0}{2}\widehat{m}^4(g^2)^{2a}\left(\frac{1}{g^2}+A-b_0+2ab_0-\frac{\zeta_1}{\zeta_0}\right)+\frac{3(N^2-1)}{256\pi^2}\times \\
&\left[\left(\widehat{m}^2(g^2)^a+\sqrt{\widehat{m}^4(g^2)^{2a}-\widehat{\lambda}^4(g^2)^{2b}}\right)^2\left(\ln\frac{\widehat{m}^2(g^2)^a+\sqrt{\widehat{m}^4(g^2)^{2a}-\widehat{\lambda}^4(g^2)^{2b}}}{2\bar{\mu}^2}-\frac{5}{6}\right)\right. \\
&+ \left.\left(\widehat{m}^2(g^2)^a-\sqrt{\widehat{m}^4(g^2)^{2a}-\widehat{\lambda}^4(g^2)^{2b}}\right)^2\left(\ln\frac{\widehat{m}^2(g^2)^a-\sqrt{\widehat{m}^4(g^2)^{2a}-\widehat{\lambda}^4(g^2)^{2b}}}{2\bar{\mu}^2}-\frac{5}{6}\right)\right. \\
&+ \left.\widehat{\lambda}^4(g^2)^{2b}\right]. \tag{C.20}
\end{aligned}$$

Portanto, construímos uma ação dependente apenas das quantidades independentes da escala e do esquema de renormalização $\widehat{\lambda}$ e \widehat{m}^2 e da constante de acoplamento $g^2(\bar{\mu})$. A liberdade no esquema de renormalização reside agora no parâmetro b_0 , e na escala $\bar{\mu}$. O último passo é eliminar a dependência na escala. Para tal, ao invés de utilizarmos uma expansão em g^2 , fazemos uma expansão em potências inversas da quantidade

$$x \equiv \beta_0 \ln \frac{\bar{\mu}^2}{\Lambda^2}, \tag{C.21}$$

veja [168, 169]. A constante de acoplamento g^2 pode ser substituída por x uma vez que g^2 é determinado explicitamente por[‡]

$$g^2 = \frac{1}{x} \left(1 - \frac{\beta_1}{\beta_0} \frac{\ln \frac{x}{\beta_0}}{x} + \dots \right). \tag{C.23}$$

[†]Onde utilizamos a notação mais simplificada

$$a = -\frac{\gamma_0}{2\beta_0}, \quad b = -\frac{\lambda_0}{\beta_0}, \tag{C.18}$$

$$A = -\left(\frac{\bar{\gamma}_1}{\beta_0} - \frac{\beta_1\gamma_0}{\beta_0^2}\right), \quad B = -2\left(\frac{\bar{\lambda}_1}{\beta_0} - \frac{\beta_1\lambda_0}{\beta_0^2}\right), \tag{C.19}$$

[‡]A relação entre a escala Λ e $\Lambda_{\overline{\text{MS}}}$ é dada, de acordo com [170], por

$$\Lambda = e^{-\frac{b_0}{2\beta_0}} \Lambda_{\overline{\text{MS}}}. \tag{C.22}$$

Com isso, chegamos, finalmente a,

$$\begin{aligned}
\Gamma^{(1)} = & -\frac{(N^2-1)}{2N}x^{-2b}\widehat{\lambda}^4 \left(x + B + (1-2b) \left(\frac{\beta_1}{\beta_0} \ln \frac{x}{\beta_0} - b_0 \right) \right) \\
& + \frac{\zeta_0}{2}\widehat{m}^4x^{-2a} \left(x + A - \frac{\zeta_1}{\zeta_0} + (1-2a) \left(\frac{\beta_1}{\beta_0} \ln \frac{x}{\beta_0} - b_0 \right) \right) + \frac{3(N^2-1)}{256\pi^2} \times \\
& \left[\left(\widehat{m}^2x^{-a} + \sqrt{\widehat{m}^4x^{-2a} - \widehat{\lambda}^4x^{-2b}} \right)^2 \left(\ln \frac{\widehat{m}^2x^{-a} + \sqrt{\widehat{m}^4x^{-2a} - \widehat{\lambda}^4x^{-2b}}}{2\bar{\mu}^2} - \frac{5}{6} \right) \right. \\
& \left. + \left(\widehat{m}^2x^{-a} - \sqrt{\widehat{m}^4x^{-2a} - \widehat{\lambda}^4x^{-2b}} \right)^2 \left(\ln \frac{\widehat{m}^2x^{-a} - \sqrt{\widehat{m}^4x^{-2a} - \widehat{\lambda}^4x^{-2b}}}{2\bar{\mu}^2} - \frac{5}{6} \right) + \widehat{\lambda}^4x^{-2b} \right], \tag{C.24}
\end{aligned}$$

Observamos que esta expressão é válida até a ordem $(\frac{1}{x})^0$. As equações de gap resultantes são agora dadas por

$$\frac{1}{\widehat{\lambda}^3} \frac{\partial \Gamma}{\partial \widehat{\lambda}} = 0, \tag{C.25}$$

$$\frac{1}{\widehat{m}^2} \frac{\partial \Gamma}{\partial \widehat{m}^2} = 0. \tag{C.26}$$

Em princípio resolveríamos as equações de gap (C.25-C.26) para duas quantidades \widehat{m}_* e $\widehat{\lambda}_*$, como funções de $\bar{\mu}$ e b_0 . Contudo, por construção, \widehat{m} e $\widehat{\lambda}$ são independentes da escala e do esquema de renormalização, ordem a ordem. Desta forma temos um método interessante de fixar estes parâmetros, escolhendo as soluções $\widehat{m}_*(\bar{\mu}, b_0)$ e $\widehat{\lambda}_*(\bar{\mu}, b_0)$ de forma a dependerem minimamente de b_0 e $\bar{\mu}$. Para facilitar os cálculos escolhemos a seguinte escala[§]

$$\bar{\mu}^2 = \left| \frac{\widehat{m}^2x^{-a} + \sqrt{\widehat{m}^4x^{-2a} - \widehat{\lambda}^4x^{-2b}}}{2} \right|, \tag{C.27}$$

de modo que agora, temos apenas a liberdade no esquema de renormalização através do parâmetro b_0 , que ainda resta a ser fixado. De fato, fixamos b_0 de forma que $\widehat{\lambda}_*$, \widehat{m}_* e E_{vac} dependam, ao mesmo tempo, minimamente de b_0 . Esta condição é atingida requerendo que a função

$$\Upsilon(b_0) \equiv \left| \frac{\partial \widehat{\lambda}_*^4}{\partial b_0} \right| + \left| \frac{\partial \widehat{m}_*^4}{\partial b_0} \right| + \left| \frac{\partial E_{\text{vac}}}{\partial b_0} \right|, \tag{C.28}$$

dependa minimamente de b_0 . Mesmo que não consigamos a condição ideal, $\Upsilon = 0$, podemos nos satisfazer com a condição mais fraca de que Υ seja o menor possível, analogamente ao *princípio de mínima percepção*[¶] à la Stevenson [171].

Colocamos os gráficos de \widehat{m}^2 e $\widehat{\lambda}^4$ como função de b_0 na Fig. C.1 enquanto que E_{vac} e o parâmetro de expansão $y \equiv \frac{N}{16\pi^2x}$ na Fig. C.2.

[§]Graças a independência na escala das quantidades $\widehat{}$. Ainda, observamos que o outro logaritmo $\ln \frac{\widehat{m}^2x^{-a} - \sqrt{\widehat{m}^4x^{-2a} - \widehat{\lambda}^4x^{-2b}}}{2\bar{\mu}^2}$, é inofensivo pois sempre aparece na combinação $u \ln u$. Assim, se o argumento do logaritmo for pequeno, este nunca será grande, devido ao limite $u \ln u|_{u \approx 0} \approx 0$.

[¶]Do inglês: *principle of minimal sensitivity*.

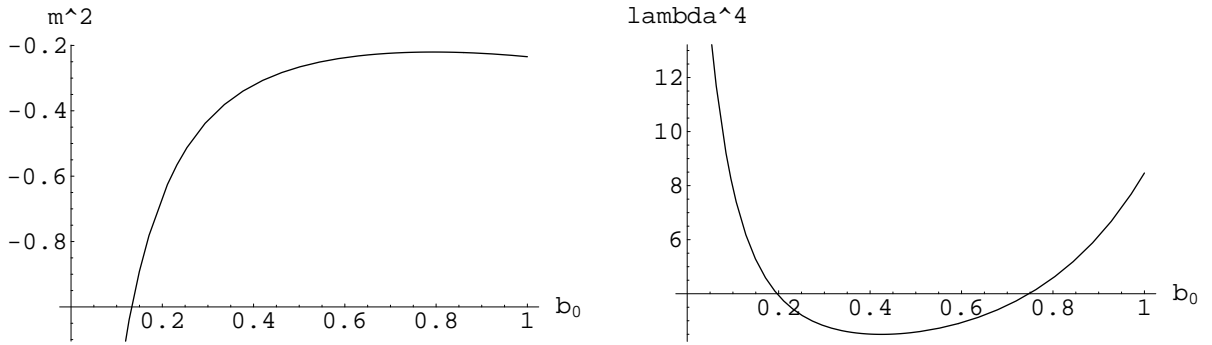


Figure C.1: Quantidades \hat{m}^2 e $\hat{\lambda}^4$ como funções de b_0 , em unidades de $\Lambda_{\overline{MS}}$.

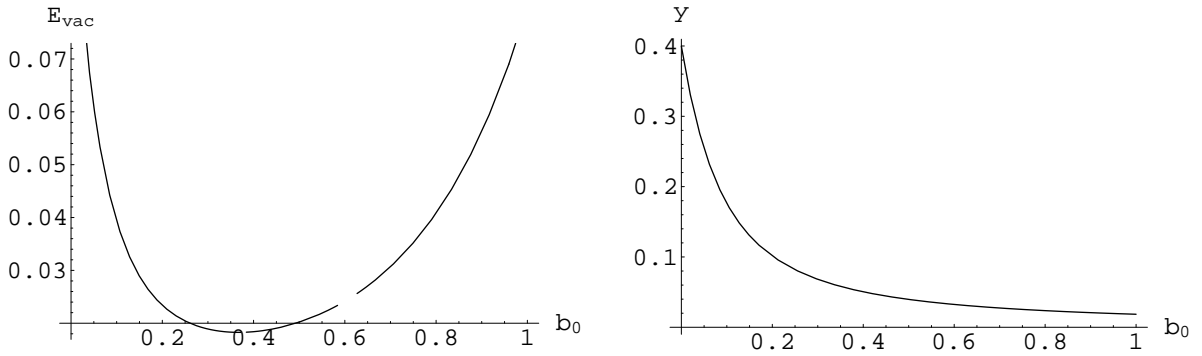


Figure C.2: Energia do vácuo E_{vac} e o parâmetro de expansão γ como funções de b_0 , em unidades de $\Lambda_{\overline{MS}}$.

C.3 Numerical results

Para começarmos com os cálculos explícitos necessitamos de alguns fatores numéricos. De [125], temos que

$$\beta_1 = \frac{34}{3} \left(\frac{N}{16\pi^2} \right)^2, \quad \gamma_0 = -\frac{3}{2} \frac{N}{16\pi^2}, \quad \gamma_1 = -\frac{95}{24} \left(\frac{N}{16\pi^2} \right)^2, \quad (C.29)$$

e, da relação (C.3),

$$\lambda_0 = -\frac{35}{24} \frac{N}{16\pi^2}, \quad \lambda_1 = -\frac{449}{96} \left(\frac{N}{16\pi^2} \right)^2. \quad (C.30)$$

Pouparemos o leitor das técnicas e truques algébricos utilizados para resolver as equações de gap (C.25-C.26), os detalhes podem ser encontrados em [11]. Lembramos ainda que as equações de gap foram resolvidas numericamente, com a ajuda dos *softwares* Maple V e Mathematica. Apenas observamos que o caso em que a constante de acoplamento coincide com aquela utilizada no esquema \overline{MS} , dada pela escolha $b_0 = 0$, fornece os resultados listados em (6.49). Quando resolvemos a condição de mínimo para a função Υ , em (C.28), encontramos para o valor ótimo $b_0^* \approx 0.425$. Neste caso as soluções estão em (6.50).

Bibliography

- [1] N. C. Ribeiro, R. F. Sobreiro, and S. P. Sorella. Bosonization and duality aspects in superfluids and superconductors. *Phys. Lett. A*, 317, 2003.
- [2] D. Dudal *et al.* The anomalous dimension of the gluon-ghost mass operator in Yang-Mills theory. *Phys. Lett. B*, 569, 2003.
- [3] D. Dudal *et al.* Vacuum condensates and dynamical mass generation in Euclidean Yang-Mills theories. *Wako, Color confinement and hadrons in quantum chromodynamics*, 2003.
- [4] D. Dudal, H. Verschelde, V. E. R. Lemes, M. S. Sarandy, R. F. Sobreiro, S. P. Sorella, and J. A. Gracey. Renormalizability of the local composite operator \mathcal{A}_μ^2 in linear covariant gauges. *Phys. Lett. B*, 574, 2003.
- [5] D. Dudal, H. Verschelde, J. A. Gracey, V. E. R. Lemes, M. S. Sarandy, R. F. Sobreiro, and S. P. Sorella. Dynamical gluon mass generation from $\langle \mathcal{A}_\mu^2 \rangle$ in linear covariant gauges. *JHEP*, 0401(044), 2004.
- [6] R. F. Sobreiro, S. P. Sorella, D. Dudal, and H. Verschelde. Gribov horizon in the presence of dynamical mass generation in Euclidean Yang-Mills theories in the Landau gauge. *Phys. Lett. B*, 590, 2004.
- [7] D. Dudal, J. A. Gracey, V. E. R. Lemes, M. S. Sarandy, R. F. Sobreiro, S. P. Sorella, and H. Verschelde. An analytic study of the off-diagonal mass generation for Yang-Mills theories in the maximal Abelian gauge. *Phys. Rev. D*, 70(114038), 2004.
- [8] R. F. Sobreiro, S. P. Sorella, D. Dudal, and H. Verschelde. Remarks on the Gribov horizon and dynamical mass generation in Euclidean Yang-Mills theories. *AIP Conf. Proc.*, 739, 2005.
- [9] D. Dudal, J. A. Gracey, V. E. R. Lemes, R. F. Sobreiro, S. P. Sorella, and H. Verschelde. Renormalization properties of the mass operator $\mathcal{A}_\mu^a \mathcal{A}_\mu^a$ in three dimensional Yang-Mills theories in the Landau gauge. *Annals Phys.*, 317, 2005.
- [10] D. Dudal, J. A. Gracey, V. E. R. Lemes, M. S. Sarandy, R. F. Sobreiro, S. P. Sorella, and H. Verschelde. Off-diagonal mass generation for Yang-Mills theories in the maximal Abelian gauge. *Palestra apresentada no 25th Brazilian Meeting of Particle Physics and Fields, Caxambu, Minas Gerais, Brazil*, 2004.
- [11] D. Dudal, R. F. Sobreiro, S. P. Sorella, and H. Verschelde. Gribov parameter and the dimension two gluon condensate in Euclidean Yang-Mills theories in the Landau gauge. *Phys. Rev. D*, 72(014016), 2005.

- [12] R. F. Sobreiro and S. P. Sorella. Introduction to the Gribov ambiguities in Euclidean Yang-Mills theories,. *Lectures given at 13th Jorge Andre Swieca Summer School on Particle and Fields, Campos do Jordao, Brazil, 9-22 Jan 2005*, [arXiv:hep-th/0504095], 2005.
- [13] D. Dudal, J. A. Gracey, V. E. R. Lemes, R. F. Sobreiro, S. P. Sorella, R. Thibes, and H. Verschelde. Remarks on a class of renormalizable interpolating gauges. *JHEP*, 0507(059), 2005.
- [14] R. F. Sobreiro and S. P. Sorella. A study of the Gribov copies in linear covariant gauges in Euclidean Yang-Mills theories. *JHEP*, 0506(054), 2005.
- [15] M. A. L. Capri, V. E. R. Lemes, R. F. Sobreiro, S. P. Sorella, and R. Thibes. The influence of the Gribov copies on the gluon and ghost propagators in Euclidean Yang-Mills theory in the maximal Abelian gauge. *Phys. Rev. D*, 72(085021), 2005.
- [16] M. A. L. Capri, D. Dudal, J. A. Gracey, V. E. R. Lemes, R. F. Sobreiro, S. P. Sorella, and H. Verschelde. A combined study of the gluon and ghost condensates $\langle \mathcal{A}_\mu^a \mathcal{A}_\mu^a \rangle$ and $f^{abc} \bar{c}^b c^c$ in Euclidean SU(2) Yang-Mills theory in the Landau gauge. *Phys. Rev. D*, 73(014001), 2006.
- [17] M. A. L. Capri, D. Dudal, J. A. Gracey, V. E. R. Lemes, R. F. Sobreiro, S. P. Sorella, and H. Verschelde. A study of the gauge invariant, nonlocal mass operator $\text{tr} \int d^4x \mathcal{F}_{\mu\nu} (\mathcal{D}^2)^{-1} \mathcal{F}_{\mu\nu}$ in Yang-Mills theories. *Phys. Rev. D*, 72(105016), 2005.
- [18] M. A. L. Capri, R. F. Sobreiro, and S. P. Sorella. Interpolating among the Landau, Coulomb and maximal Abelian gauges. *Phys. Rev. D*, 73(041701), 2006.
- [19] R. E. Browne *et al.* Renormalization group aspects of the local composite operator method. *J. Phys. A*, 39(7889), 2006.
- [20] M. A. L. Capri *et al.* The infrared behavior of the gluon and ghost propagators in SU(2) Yang-Mills theory in the maximal Abelian gauge. *Palestra apresentada na 1a Latin American Workshop on High Energy Phenomenology, Porto Alegre, Brazil*, 2005.
- [21] M. A. L. Capri, D. Dudal, J. A. Gracey, V. E. R. Lemes, R. F. Sobreiro, S. P. Sorella, and H. Verschelde. Quantum properties of a non-Abelian gauge invariant action with a mass parameter. *Phys. Rev. D*, 74(045008), 2006.
- [22] M. A. L. Capri, R. F. Sobreiro, S. P. Sorella, and R. Thibes. Renormalizability of a generalized gauge fixing interpolating among the Coulomb, Landau and maximal Abelian gauges. *A ser publicado em Annals Phys.*, 2007.
- [23] D. Dudal *et al.* Gribov ambiguities in the maximal Abelian gauge. *A ser publicado nos proceedings de Infrared QCD in Rio: Propagators, Condensates and Topological Effects (IRQCD 2006), Rio de Janeiro, Brasil*, 2007.
- [24] D. Dudal *et al.* A local non-Abelian gauge invariant action stemming from the nonlocal operator $\mathcal{F}1/\mathcal{D}^2\mathcal{F}$. *A ser publicado nos proceedings de Infrared QCD in Rio: Propagators, Condensates and Topological Effects (IRQCD 2006), Rio de Janeiro, Brasil*, 2007.
- [25] M. A. L. Capri, V. E. R. Lemes, R. F. Sobreiro, S. P. Sorella, and R. Thibes. A study of the maximal Abelian gauge in SU(2) Euclidean Yang-Mills theory in the presence of the Gribov horizon. *Phys. Rev. D*, 74(105007), 2006.
- [26] S. P. Sorella *et al.* Infrared behavior of the gluon and ghost propagators in Yang-Mills theories. *Palestra apresentada em 5th International Conference on Mathematical Methods in Physics (IC 2006), Rio de Janeiro, Brasil*, 2006.

- [27] D. Dudal, M. A. L. Capri, J. A. Gracey, V. E. R. Lemes, R. F. Sobreiro, S. P. Sorella, and H. Verschelde. Dimension two gluon condensates in a variety of gauges and a gauge invariant Yang-Mills action with a mass. *Palestra apresentada em 13th International Conference In QCD (QCD 06), Montpellier, França, 2006.*
- [28] V. E. R. Lemes, R. F. Sobreiro, and S. P. Sorella. Renormalizability of the dimension two gluon operator \mathcal{A}^2 in a class of nonlinear covariant gauges. *Submetido ao Jour. Phys. A, 2006.*
- [29] D. Dudal, J. A. Gracey, R. F. Sobreiro, S. P. Sorella, and H. Verschelde. UV finiteness of 3D Yang-Mills theories with a regulating mass in the Landau gauge. *Submetido ao Phys. Lett. B, 2007.*
- [30] C. Itzykson and J. B. Zuber. *Quantum Field Theory*. Mcgraw-hill 705 P.(International Series In Pure and Applied Physics), New York, USA, 1st edition, 1980.
- [31] M. E. Peskin and D. V. Schroeder. *An Introduction to Quantum Field Theory*. Addison-Wesley, USA, 1st edition, 1995.
- [32] L. H. Ryder. *Quantum Field Theory*. Cambridge, UK, 1st edition, 1985.
- [33] S. Weinberg. *The Quantum Theory of Fields vi, vii, viii*. Cambridge, UK, 1st edition, 1995.
- [34] N. C. Yang and R. L. Mills. Conservation of isotopic spin and isotopic gauge invariance. *Phys. Rev.*, 96, 1954.
- [35] G. 't Hooft. *50 Years of Yang-Mills Theory*. EUA, 1st edition, 2005.
- [36] R. P. Feynman. Space-time approach to quantum electrodynamics. *Phys. Rev.*, 76, 1949.
- [37] R. P. Feynman. Mathematical formulation of the quantum theory of electromagnetic interaction. *Phys. Rev.*, 80, 1950.
- [38] R. A. Bertlmann. *Anomalies in Quantum Field Theory*. Oxford University Press, EUA, 1st edition, 1996.
- [39] S. Weinberg. A model of leptons. *Phys. Rev. Lett.*, 19(1264), 1967.
- [40] S. L. Glashow, J. Iliopoulos, and L. Maiani. Weak interactions with lepton - hadron symmetry. *Phys. Rev. D*, 2(1285), 1970.
- [41] D. J. Gross and F. Wilczek. *Phys. Rev. Lett.*, 30(1343), 1973.
- [42] H. D. Politzer. *Phys. Rev. Lett.*, 30(1346), 1973.
- [43] L. D. Faddeev and V. N. Popov. Feynman diagrams for the Yang-Mills field. *Phys. Lett. B*, 25, 1967.
- [44] R. F. Streater and A. S. Wightman. *Spin Statistics and All That*. Addison-Wesley, USA, 1st edition, 1989.
- [45] T. Kugo and I. Ojima. Local covariant operator formalism of non-Abelian gauge theories and quark confinement problem. *Suppl. Prog. Theor. Phys.*, 66, 1979.
- [46] C. Becchi, A. Rouet, and R. Stora. Renormalization of gauge theories. *Annals Phys.*, 98, 1976.
- [47] I. V. Tyutin. Gauge invariance in field theory and statistical Physics in operator formalism. *Lebedev Institute preprint (Unpublished)*, 75-39, 1975.

- [48] O. Piguet and S. P. Sorella. *Algebraic Renormalization*. Springer-Verlag, Lect. Notes Phys. **M28**, Austria, 1st edition, 1995.
- [49] J. S. Schwinger. The theory of quantized fields. I. *Phys. Rev.*, 82(914), 1951.
- [50] J. H. Lowenstein. Normal product quantization of currents in Lagrangian field theory. *Phys. Rev. D*, 4(2281), 1971.
- [51] J. H. Lowenstein. Differential vertex operations in Lagrangian field theory. *Commun. Math. Phys.*, 24, 1971.
- [52] Y. M. Lam. Perturbation Lagrangian theory for scalar fields: Ward-Takahasi identity and current algebra. *Phys. Rev. D*, 6(2145), 1972.
- [53] T. E. Clark and J. H. Lowenstein. Generalization of Zimmermann's normal - product identity. *Nucl. Phys. B*, 113, 1976.
- [54] K. G. Wilson. Confinement of quarks. *Phys. Rev. D*, 10(2445), 1974.
- [55] L. von Smekal, R. Alkofer, and A. Hauck. The infrared behavior of gluon and ghost propagators in Landau gauge QCD. *Phys. Rev. Lett.*, 79, 1997.
- [56] L. von Smekal, A. Hauck, and R. Alkofer. A solution to coupled Dyson-Schwinger equations for gluons and ghosts in Landau gauge. *Annals Phys.*, 1, [Erratum-ibid. **269** (1998) 182], 1998.
- [57] D. Atkinson and J. C. R. Bloch. Running coupling in non-perturbative QCD. I: Bare vertices and y-max approximation. *Phys. Rev. D*, 58(094036), 1998.
- [58] D. Atkinson and J. C. R. Bloch. QCD in the infrared with exact angular integrations. *Mod. Phys. Lett. A*, 13, 1998.
- [59] R. Alkofer and L. von Smekal. The infrared behavior of QCD Green's functions: Confinement, dynamical symmetry breaking, and hadrons as relativistic bound states. *Phys. Rept.*, 353, 2001.
- [60] P. Watson and R. Alkofer. Verifying the Kugo-Ojima confinement criterion in Landau gauge QCD. *Phys. Rev. Lett.*, 86, 2001.
- [61] D. Zwanziger. Non-perturbative Landau gauge and infrared critical exponents in QCD. *Phys. Rev. D*, 65(094039), 2002.
- [62] C. Lerche and L. von Smekal. On the infrared exponent for gluon and ghost propagation in Landau gauge QCD. *Phys. Rev. D*, 65(125006), 2002.
- [63] C. S. Fischer. Infrared properties of QCD from Dyson-Schwinger equations. *J. Phys. G*, 32(R253), 2006.
- [64] H. Verschelde, K. Knecht, K. Van Acoleyen, and M. Vanderkelen. The non-perturbative ground-state of QCD and the local composite operator A_μ^2 . *Phys. Lett. B*, 516, 2001.
- [65] M. A. Shifman, A. I. Vainshtein, and V. I. Zakharov. QCD and resonance Physics. Sum rules. *Nucl. Phys. B*, 147, 1979.
- [66] H. Boschi-Filho and N. R. F. Braga. Ads/CFT correspondence and strong interactions. *Palestra apresentada no 5th International Conference on Mathematical Methods in Physics, Rio de Janeiro, Brasil*, ([arXiv:hep-th/0610135]), 2006.

- [67] V. N. Gribov. Quantization of non-Abelian gauge theories. *Nucl. Phys. B*, 139, 1978.
- [68] Y. Nambu. *Phys. Rev. D*, 10(4262), 1974.
- [69] G. 't Hooft. *High Energy Physics EPS Int. Conference, Palermo*, ed. A. Zichichi, 1975.
- [70] S. Mandelstam. *Phys. Rep.*, 23, 1976.
- [71] G. 't Hooft. Topology of the gauge condition and new confinement phases in nonabelian gauge theories. *Nucl. Phys. B*, 190, 1981.
- [72] I. M. Singer. Some remarks on the Gribov ambiguity. *Commun. Math. Phys.*, 60, 1978.
- [73] A. Maas. On the spectrum of the Faddeev-Popov operator in topological background fields. *arXiv:hep-th/0511307*, 2005.
- [74] A. Cucchieri. Infrared behavior of the gluon propagator in lattice Landau gauge: The three-dimensional case. *Phys. Rev. D*, 60(034508), 1999.
- [75] D. R. Bonnet, P. O. Bowman, D. B. Leinweber, A. G. Williams, and J. M. Zanotti. Infinite volume and continuum limits of the Landau-gauge gluon propagator. *Phys. Rev. D*, 64(034501), 2001.
- [76] K. Langfeld, H. Reinhardt, and J. Gattnar. Gluon propagators and quark confinement. *Nucl. Phys. B*, 621, 2002.
- [77] A. Cucchieri, T. Mendes, and A. R. Taurines. SU(2) Landau gluon propagator on a 140^{**3} lattice. *Phys. Rev. D*, 67(091502), 2003.
- [78] J. C. R. Bloch, A. Cucchieri, K. Langfeld, and T. Mendes. Propagators and running coupling from SU(2) lattice gauge theory. *Nucl. Phys. B*, 687, 2004.
- [79] S. Furui and H. Nakajima. Infrared features of the Landau gauge Qcd. *Phys. Rev. D*, 69(074505), 2004.
- [80] S. Furui and H. Nakajima. What the Gribov copy tells about confinement and the theory of dynamical chiral symmetry breaking. *Phys. Rev. D*, 70(094504), 2004.
- [81] D. Dudal, H. Verschelde, and S. P. Sorella. The anomalous dimension of the composite operator \mathcal{A}^2 in the Landau gauge. *Phys. Lett. B*, 555, 2003.
- [82] Z. F. Ezawa and A. Iwazaki. Abelian dominance and quark confinement in Yang-Mills theories. *Phys. Rev. D*, 25(2681), 1982.
- [83] T. Suzuki and I. Yotsuyanagi. Evidence for Abelian dominance in quark confinement. *Phys. Rev. D*, 42(4257), 1990.
- [84] T. Suzuki, S. Hioki, S. Kitahara, S. Kiura, Y. Matsubara, O. Miyamura, and S. Ohno. Abelian dominance in SU(2) color confinement. *Nucl. Phys. Proc. Suppl.*, 26, 1992.
- [85] S. Hioki, S. Kitahara, S. Kiura, Y. Matsubara, O. Miyamura, S. Ohno, and T. Suzuki. Abelian dominance in SU(2) color confinement. *Phys. Lett. B*, Erratum-ibid. B 272, 1991.
- [86] D. Zwanziger. Local and renormalizable action from the Gribov horizon. *Nucl. Phys. B*, 323, 1989.

- [87] D. Zwanziger. Renormalizability of the critical limit of lattice gauge theory by BRS invariance. *Nucl. Phys. B*, 399, 1993.
- [88] N. Maggiore and M. Schaden. Landau gauge within the Gribov horizon. *Phys. Rev. D*, 50(6616), 1994.
- [89] D. Dudal and H. Verschelde. On ghost condensation, mass generation and Abelian dominance in the maximal Abelian gauge. *J. Phys. A*, 36(8507), 2003.
- [90] D. Dudal, H. Verschelde, V. E. R. Lemes, M. S. Sarandy, S. P. Sorella, M. Picariello, A. Vicini, and J. A. Gracey. More on ghost condensation in Yang-Mills theory: BCS versus Overhauser effect and the breakdown of the Nakanishi-Ojima annex $sl(2, \mathbb{R})$ symmetry. *JHEP*, 0306(003), 2003.
- [91] M. Stingl. A study of the Gribov copies in linear covariant gauges in Euclidean Yang-Mills theories. *Phys. Rev. D*, 34(3863), 1986.
- [92] F. V. Gubarev and V. I. Zakharov. On the emerging phenomenology of $\langle \mathcal{A}_\mu^2(\min) \rangle$. *Phys. Lett. B*, 501, 2001.
- [93] F. V. Gubarev, L. Stodolsky, and V. I. Zakharov. On the significance of the quantity \mathcal{A}^2 . *Phys. Rev. Lett.*, 86, 2001.
- [94] P. Boucaud, A. Le Yaouanc, J. P. Leroy, J. Micheli, O. Pene, and J. Rodriguez-Quintero. Testing Landau gauge OPE on the lattice with a condensate. *Phys. Rev. D*, 63(114003), 2001.
- [95] P. Boucaud, F. de Soto, J. P. Leroy, A. Le Yaouanc, J. Micheli, H. Moutarde, O. Pene, and J. Rodriguez-Quintero. Artefacts and $\langle \mathcal{A}_\mu^2 \rangle$ power corrections: Revisiting the MOM $\mathcal{Z}_\psi(p^2)$ and $\mathcal{Z}(\mathcal{V})$. *hep-lat/0504017*.
- [96] K. I. Kondo. Vacuum condensate of mass dimension 2 as the origin of mass gap and quark confinement. *Phys. Lett. B*, 514, 2001.
- [97] K. Knecht and H. Verschelde. A new start for local composite operators. *Phys. Rev. D*, 64(085006), 2001.
- [98] R. E. Browne and J. A. Gracey. Two loop effective potential for in the Landau gauge in quantum chromodynamics. *JHEP*, 0311(029), 2003.
- [99] D. Dudal, H. Verschelde, R. E. Browne, and J. A. Gracey. A determination of and the non-perturbative vacuum energy of Yang-Mills theory in the Landau gauge. *Phys. Lett. B*, 562, 2003.
- [100] R. E. Browne and J. A. Gracey. One loop MS-bar gluon pole mass from the LCO formalism. *Phys. Lett. B*, 597, 2004.
- [101] J. A. Gracey. Two loop MS-bar gluon pole mass from the LCO formalism. *Eur. Phys. J. C*, 39, 2005.
- [102] S. Furui and H. Nakajima. Infrared features of KS fermion and Wilson fermion in lattice Landau gauge Qcd. *hep-lat/0503029*.
- [103] F. V. Gubarev and S. M. Morozov. $\langle \mathcal{A}_\mu^2 \rangle$ condensate, Bianchi identities and chromomagnetic fields degeneracy in SU(2) YM theory. *Phys. Rev. D*, 71(114514), 2005.

- [104] A. A. Slavnov. Noncommutative gauge theories and gauge invariance of dimension two condensate in Yang-Mills theory. *Phys. Lett. B*, 608, 2005.
- [105] T. Suzuki, K. Ishiguro, Y. Mori, and T. Sekido. The dual Meissner effect and magnetic displacement currents. *Phys. Rev. Lett.*, 94(132001), 2005.
- [106] T. Suzuki, K. Ishiguro, Y. Mori, and T. Sekido. The dual meissner effect in SU(2) Landau gauge. *AIP Conf. Proc.*, 756, 2005.
- [107] M. Schaden. Mass generation in continuum SU(2) gauge theory in covariant Abelian gauges. [*hep-th/9909011*], 1999.
- [108] K. I. Kondo and T. Shinohara. Abelian dominance in low-energy gluodynamics due to dynamical mass generation. *Phys. Lett. B*, 491, 2000.
- [109] M. Schaden. SU(2) gauge theory in covariant (maximal) Abelian gauges. [*hep-th/0003030*], 2000.
- [110] M. Schaden. Mass generation, ghost condensation and broken symmetry: SU(2) in covariant Abelian gauges. [*hep-th/0108034*], 2001.
- [111] J. S. Schwinger. Ghost condensation in nonlinear gauges: Euclidean space, Minkowski space, and high temperature. *Phys. Rev. D*, 67(045002), 2003.
- [112] R. P. Feynman and M. Gell-Mann. Theory of the Fermi interaction. *Phys. Rev.*, 109, 1958.
- [113] H. Ruegg and M. Ruiz-Altaba. The Stueckelberg field. *Int. J. Mod. Phys. A*, 19(3265), 2004.
- [114] Semenov-Tyan-Shanskii and V.A. Franke. *Zapiski Nauchnykh Seminarov Leningradskogo Otdeleniya Matematicheskogo Instituta im. V.A. Steklov AN SSSR translation: New York: Plenum Press 1986*, 120, 1982.
- [115] D. Zwanziger. Quantization of gauge fields, classical gauge invariance and gluon confinement. *Nucl. Phys. B*, 345, 1990.
- [116] G. Dell'Antonio and D. Zwanziger. Ellipsoidal bound on the Gribov horizon contradicts the perturbative renormalization group. *Nucl. Phys. B*, 326, 1989.
- [117] G. Dell'Antonio and D. Zwanziger. Every gauge orbit passes inside the Gribov horizon. *Commun. Math. Phys.*, 138, 1991.
- [118] P. van Baal. More (thoughts on) Gribov copies. *Nucl. Phys. B*, 369, 1992.
- [119] M. Lavelle and D. McMullan. Constituent quarks from QCD. *Phys. Rept.*, 279, 1997.
- [120] M. Esole. The non-local massive Yang-Mills action as a gauged sigma model. [*arXiv:hep-th/0407069*], 2004.
- [121] R. Jackiw and S. Y. Pi. Seeking an even-parity mass term for 3-D gauge theory. *Phys. Lett. B*, 403, 1997.
- [122] V. E. R. Lemes, M. S. Sarandy, and S. P. Sorella. Ghost condensates in Yang-Mills theories in the Landau gauge. *Annals Phys.*, 308, 2003.
- [123] N. Nakanishi and I. Ojima. Superalgebras of nonabelian gauge theories in the manifestly covariant canonical formalism. *Z. Phys. C*, 6(155 [Erratum-ibid. C **8**, 94 (1981)]), 1980.

- [124] A. Blasi, O. Piguet, and S. P. Sorella. Landau gauge and finiteness. *Nucl. Phys. B*, 356, 1991.
- [125] J. A. Gracey. Three loop $\overline{\text{MS}}$ renormalization of the Curci-Ferrari model and the dimension two BRST invariant composite operator in QCD. *Phys. Lett. B*, 552, 2003.
- [126] K. Amemiya and H. Suganuma. Effective mass generation of off-diagonal gluons as the origin of infrared Abelian dominance in the maximally Abelian gauge in QCD. *Phys. Rev. D*, 60(114509), 1999.
- [127] V. G. Bornyakov, M. N. Chernodub, F. V. Gubarev, S. M. Morozov, and M. I. Polikarpov. Abelian dominance and gluon propagators in the maximally Abelian gauge of SU(2) lattice gauge theory. *Phys. Lett. B*, 559, 2003.
- [128] M. Nakahara. *Geometry, Topology and Physics*. Adam Hilger, Bristol, 1st edition, 1990.
- [129] C. Nash and S. Sen. *Geometry and Topology for Physicists*. Academic Press, London, 1st edition, 1983.
- [130] D. Zwanziger. Nonperturbative modification of the Faddeev-Popov formula. *Phys. Lett. B*, 114, 1982.
- [131] D. Zwanziger. Nonperturbative modification of the Faddeev-Popov formula and banishment of the naive vacuum. *Nucl. Phys. B*, 209, 1982.
- [132] D. Zwanziger. Action from the Gribov horizon. *Nucl. Phys. B*, 321, 1989.
- [133] D. Zwanziger. No confinement without Coulomb confinement. *Phys. Rev. Lett.*, 90(102001), 2003.
- [134] J. A. Gracey. Two loop correction to the Gribov mass gap equation in Landau gauge QCD. *Phys. Lett. B*, 632, 2006.
- [135] J. A. Gracey. One loop gluon form factor and freezing of $\alpha(s)$ in the Gribov-Zwanziger qcd lagrangian. *JHEP*, 0605(052), 2006.
- [136] L. Giusti. Lattice gauge-fixing for generic covariant gauges. *Nucl. Phys. B*, 498, 1997.
- [137] L. Giusti, M. L. Paciello, S. Petrarca, and B. Taglienti. Lattice gauge fixing for parameter dependent covariant gauges. *Phys. Rev. D*, 63(014501), 2001.
- [138] L. Giusti, M. L. Paciello, S. Petrarca, C. Rebbi, and B. Taglienti. Results on the gluon propagator in lattice covariant gauges. *Nucl. Phys. Proc. Suppl.*, 94, 2001.
- [139] M. Quandt and H. Reinhardt. *Int. J. Mod. Phys. A*, 13, 1998.
- [140] F. Bruckmann, T. Heinzl, A. Wipf, and T. Tok. Instantons and Gribov copies in the maximally Abelian gauge. *Nucl. Phys. B*, 584, 2000.
- [141] A. S. Kronfeld, G. Schierholz, and U. J. Wiese. Topology and dynamics of the confinement mechanism. *Nucl. Phys. B*, 293, 1987.
- [142] A. S. Kronfeld, M. L. Laursen, G. Schierholz, and U. J. Wiese. Monopole condensation and color confinement. *Phys. Lett. B*, 198, 1987.
- [143] D. Zwanziger. Equation of state of gluon plasma from fundamental modular region. *Phys. Rev. Lett.*, 94(182301), 2005.

- [144] D. Zwanziger. Equation of state of gluon plasma from Gribov region. *PoS LAT2005*, 191, 2006.
- [145] A. D. Linde. Infrared problem in thermodynamics of the Yang-Mills gas. *Phys. Lett. B*, 96, 1980.
- [146] D. J. Gross, R. D. Pisarski, and L. G. Yaffe. QCD and instantons at finite temperature. *Rev. Mod. Phys.*, 53, 1981.
- [147] R. P. Feynman. The qualitative behavior of Yang-Mills theory in (2+1)-dimensions. *Nucl. Phys. B*, 188, 1981.
- [148] F. S. Henyey. Gribov ambiguity without topological charge. *Phys. Rev. D*, 20(1460), 1979.
- [149] D. Zwanziger. Non-perturbative Faddeev-Popov formula and infrared limit of QCD. *Phys. Rev. D*, 69(016002), 2004.
- [150] R. Alkofer, W. Detmold, C. S. Fischer, and P. Maris. Analytic properties of the Landau gauge gluon and quark propagators. *Phys. Rev. D*, 70(014014), 2004.
- [151] T. Mendes A. Cucchieri and A. R. Taurines. Positivity violation for the lattice Landau gluon propagator. *Phys. Rev. D*, 71(051902), 2005.
- [152] D. Zwanziger. Equation of state of gluon plasma from local action. *A ser publicado nos proceedings de Infrared QCD in Rio: Propagators, Condensates and Topological Effects (IRQCD 2006), Rio de Janeiro, Brasil, 2007.*
- [153] A. Di Giacomo, M. D'Elia, H. Panagopoulos, and E. Meggiolaro. [*hep-lat/9808056*], 1998.
- [154] T. van Ritbergen, J. A. M. Vermaseren, and S. A. Larin. *Phys. Lett. B*, 400, 1997.
- [155] M. Czakon. Slavnov transformations and supersymmetry. *Nucl. Phys. B*, 710, 2005.
- [156] K. G. Chetyrkin. *Nucl. Phys. B*, 710, 2005.
- [157] A. Cucchieri, T. Mendes, and A. Mihara. Numerical study of the ghost-gluon vertex in Landau gauge. *JHEP*, 0412(012), 2004.
- [158] P. Boucaud, A. Le Yaouanc, J. P. Leroy, J. Micheli, O. Pene, and J. Rodriguez-Quintero. Consistent OPE description of gluon two point and three point Green function? *Phys. Lett. B*, 493, 2000.
- [159] E. Ruiz Arriola, P. O. Bowman, and W. Broniowski. Landau-gauge condensates from the quark propagator on the lattice. *Phys. Rev. D*, 70(097505), 2004.
- [160] J. A. Gracey. Three loop $\overline{\text{MS}}$ renormalization of QCD in the maximal Abelian gauge. *JHEP*, 0504(012), 2005.
- [161] R. Alkofer, C. S. Fischer, H. Reinhardt, and L. von Smekal. On the infrared behaviour of gluons and ghosts in ghost-antighost symmetric gauges. *Phys. Rev. D*, 68(045003), 2003.
- [162] M. N. Chernodub *et al.* Vacuum type of SU(2) gluodynamics in maximally Abelian and Landau gauges. *Phys. Rev. D*, 72(074505), 2005.
- [163] A. Cucchieri, T. Mendes, and A. Mihara. Ghost condensation on the lattice. *Phys. Rev. D*, 72(094505), 2005.

-
- [164] A. Cucchieri and T. Mendes. Propagators, running coupling and condensates in lattice QCD. *Palestra apresentada na 1a Latin American Workshop on High Energy Phenomenology, Porto Alegre, Brazil*, 2005.
- [165] J. Collins. *Renormalization*. Cambridge University Press, Grã-Bretanha, 1st edition, 1984.
- [166] H. Reinhardt and C. Feuchter. On the Yang-Mills wave functional in Coulomb gauge. *Phys. Rev. D*, 71(105002), 2005.
- [167] J. Zinn-Justin. *Quantum Field theory and Critical Phenomena*. Oxford University Press, USA, 4th edition, 2002.
- [168] K. Van Acoleyen and H. Verschelde. *Phys. Rev. D*, 65(085006), 2002.
- [169] D. Dudal and H. Verschelde. *Phys. Rev. D*, 67(025011), 2002.
- [170] W. Celmaster and R. J. Gonsalves. *Phys. Rev. D*, 20(1420), 1979.
- [171] P. M. Stevenson. *Phys. Rev. D*, 23(2916), 1981.